



KANDIDÁTSKÁ DISERTAČNÍ PRÁCE :

" Podmínky tepelných pochodů při kálení v případě podélného nuceného obtékání válce olejem "

Č A S T I.

( Přílohy k této práci jsou obsaženy v části II ).

UNIVERZITNÍ KNIHOVNA  
TECHNICKÉ UNIVERZITY V LIBERCI

Autorské právo se řídí směrnicemi MŠK pro státní závěrečné zkoušky č. j. 31 727/62-III/2 ze dne 13. července 1962-Věstník MŠK XIII, seč. 24 za číslo 31.8.1962 § 19 autorského zákona č. 115/53 Sb.



3146114467

WYSOKÁ ŠKOLA STROJNÍ A TEXTILNÍ  
Ustřední knihovna  
LIBEREC 1, STUDENTSKÁ 5

u 31 S + SAM. PRYL.

Aspirant : Ing. Václav Hynčica  
Školitel : Prof.Ing. Dr Karel Sýkora  
Pracoviště : Vysoká škola strojní a textilní Liberec,  
katedra technické mechaniky,  
ústav termomechaniky .

Datum odevzdání práce : červen 1966

Stran textu : 123 tabulky : 3  
obrázky : 54 fotografie : 2

<u>O b s a h</u>	Strana
Předmluva . . . . .	3
Úvod . . . . .	5
Použitá označení . . . . .	7
1. Obecný rozbor řešeného problému . . . . .	9
1.1. Vliv kalící lázně na tepelné pochody při klení . . . . .	11
1.2. Vliv tepelně-fysikálních vlastností materiálu na tepelné pochody při klení . . . . .	17
1.3. Řešení teplotního pole kleného vzorku . . . . .	18
1.4. Stručný přehled literatury . . . . .	20
1.5. Kritika současného stavu znalostí s studiem tepelných pochodů při klení . . . . .	25
1.6. Cíl kandidátské práce . . . . .	28
2. Výběr zkušebních vzorků. Rozsah provedení experimentu. Zkušební zařízení . . . . .	29
2.1. Výběr zkušebních vzorků . . . . .	29
2.2. Rozsah provedení experimentu . . . . .	32
2.3. Zkušební zařízení . . . . .	32
3. Technika měření základních veličin . . . . .	34
3.1. Technika měření časové závislosti teplot vzorků při jejich ochlazování . . . . .	35
3.1.1. Technika měření časové závislosti povrchové teploty vzorků při jejich ochlazování . . . . .	35
3.1.2. Technika měření časové závislosti teploty uvnitř vzorků při jejich ochlazování . . . . .	46
3.2. Technika měření parametrů kalící lázně a kalící teploty vzorků . . . . .	47
4. Zhodnocení výsledků měření . . . . .	48
4.1. Vliv rychlosti proudění kalící lázně na rychlosť ochlazování vzorků . . . . .	57

strana

4.2. Vliv teploty olejové kálicí lázně na rychlosť ochlazování vzorku . . . . .	81
5. Zobecnění výsledků měření a možnosti jejich praktického použití . . . . .	88
5.1. Řešení tepelného pole neomezeného válce při nestacionárním sdílení tepla metodou vhodnou pro inženýrskou praxi . . . . .	89
5.2. Metoda určení křivky varu na základě naměřeného časového průběhu povrchové teploty vzorku při nestacionárním sdílení tepla při jeho ochlazení . . . . .	95
5.3. Praktické použití zobecnění výsledků měření . . . . .	105
Závěr . . . . .	118
Literatura . . . . .	121

Předmět uva

Předložená práce je výsledkem řešení dvou výzkumných úkolů:

- 1) " Výzkum podmínek kálení do horkého oleje ", řešeného ve spolupráci s n.p. LIAZ Rýnovice a
- 2) fakultního vědecko-výzkumného úkolu : " Stanovení optimálních podmínek pro kálení strojních součástí válcového tvaru horkým olejem při nuceném obtékání podél kálené součástky ", řešeného autorem na ústavu termomechaniky ( VŠST ).

Oba úkoly byly řešeny současně, přičemž první úkol byl zaměřen více na praktické použití výsledků již v provozovaném zařízení L 5 /, kdežto druhý úkol byl orientován na otázky, vedoucí ke zobecnění výsledků měření a tím i širšímu použití v praxi.

Tato skutečnost měla i některé výhody, neboť na jedné straně díky svým možnostem mohl podnik velmi rychle a operativně zajistit potřebný materiál, olejovou lázeň apod. a na druhé straně základní pracoviště, VŠST, mohlo v rámci řešení vědecko-výzkumného úkolu lépe a rychle zajistit potřebu měřící techniky ( termočlánkový drát, zajištovaný dovozem z NSR, záznamový fotografický papír pro osciloskop, zajištovaný dovozem z NDR apod. ).

Výzkumné práce byly provedeny v období 1963 až 1966 a vzhledem k tomu, že byly časově velmi náročné, jejich realisace v rámci externí aspirantury byla možná jen díky plnému pochopení spolupracovníků.

Zde patří můj dík v prvé řadě vedoucímu katedry a školiteli prof. Ing. Dr Karlu Sýkorovi, který mne jednak často vypomohl cennými radami a jednak se velmi přičinil o včasné řešení úkolu částečným uvolněním jak řešitele, tak některých jiných pomocných pracovníků ústavu od běžných povinností.

Z n.p. LIAZ Rýnovice patří můj dík technikovi Janu Jakešovi, peacovníku podnikové metalurgie, za plnou podporu a pochopení

při vyřizování mých požadavků, souvisejících s řešením úkolu.

Dále pak touto cestou vyslovují poděkování pracovníkům ústavu a všem spolupracovníkům, u nichž jsem se setkal nejen s plným pochopením při různých konsultacích apod., ale kteří často se přímo podíleli na pracech spojených s řešením úkolu. Dnes si také nedovedeme představit řešení obsáhlého a pracného úkolu bez spoluúčasti širokého pracovního kolektivu.

V červnu 1966

*Hynčic a.s.*

## Úvod

Jednotlivá průmyslová odvětví kladou velmi rozmanité požadavky na vlastnosti používaných materiálů, mezi nimiž má zvlášťní význam ocel. Vlastnosti ocele můžeme široce měnit nejenom jejím chemickým složením při výrobě, ale také jejím tepelným zpracováním.

Jedním ze způsobů tepelného zpracování ocelí je jejich kalení které je charakterisováno prudkým ochlazením ze zcela určité počáteční teploty, přičemž vzniká nová struktura materiálu s vlastnostmi odlišnými od vlastností výchozího materiálu.

Podkladem tepelného zpracování ocelí jsou jejich krystalisační změny, jež jsou závislé na rychlosti ochlazování z vysokých teplot v tuhém stavu. To znamená, že strukturální přeměny při kalení jsou v úzké souvislosti s tepelnými pochody, probíhajícími na rozhraní mezi kalicí lázní a kaleným materiálem. Proto existuje úzká souvislost mezi rozvojem poznatků z oblasti sdílení tepla a poznatků z oblasti tepelného zpracování ocelí, včetně kalení.

Experimentální sledování tepelných pochodů při kalení klade značné nároky na techniku měření včetně přístrojového vybavení, v důsledku rychlých teplotních změn a kombinace způsobů nestacionárního sdílení tepla vedením, prouděním a někdy i sáláním a při použití kapalné kalicí lázně s bodem varu nižším než je kalicí teplota, vyskytuje se sdílení tepla při změně skupenství, to jest při varu.

Doposud neexistuje ucelené obecná teorie tepelných pochodů při kalení v různých lázních a také až na malé vyjimky, kalení zůstává v jistém smyslu "umění" .

Tradiční způsoby kalení do klidové lázně neskytají možnost ovládnutí procesu kalení natolik, aby se dal regulovat chladící úchinek kalicí lázně v širokém rozmezí, tak jak by bylo žádoucí s ohledem na požadovanou kvalitu kalených dílů různých nejen

svým tvarem, ale také chemickým složením. Z těchto důvodů jsou hledány nové způsoby procesu kalení. U těchto se využívá závislosti tepelných pochodů na teplotě lázně, na jejím pohybu od chaotického víření, či promíchávání [22], [10] až k uspořádanému nucenému proudění [1], [5], za účelem dosažení požadovaných rychlostí ochlazování a tím i kvality kalených dílů.

Jednou z možností ovládnutí procesu kalení je zařízení pro kalení do horkého oleje průtočným principem navržené pracovníky ústavu termomechaniky VŠST Liberec pod vedením prof. Ing. Dr. Karla Sýkory a uvedené do provozu v n.p. LIAZ Rýnovice [5].

Kalící lázeň v tomto zařízení omývá podélným nuceným proudem kalené díly převážně válcového tvaru. Dostupné literaturní údaje neobsahují řešení tepelných pochodů při kalení těles válcového tvaru pro případ jejich nuceného podélného obtékání, což bylo důvodem k volbě tématu kandidátské práce.

Volba nuceného podélného obtékání tělesa válcového tvaru je jednoznačně dána tím, že po obvodu tělesa zůstávají podmínky rozdílení tepla ( a tím i kvalita vzorku po jeho obvodu po zkalení ) ve všech bodech stejné, čehož nemůže být docíleno při příčném obtékání.

Úkolem kandidátské práce je sledovat tepelné pochody při kalení proudícím olejem samostatného válce uloženého ve svislé kalící vaně s ohledem na objasnění vlivu teploty a rychlosti obtékání lázně. Zkoumání vlivu teploty kalící lázně a rychlosti jejího proudění na výslednou strukturu kalených vzorků různých materiálů není předmětem této kandidátské práce.

Použitá označení

$A_c$	$\text{[}^{\circ}\text{C}\text{]}$	kritická teplota strukturální přeměny
$M_s$	$\text{[}^{\circ}\text{C}\text{]}$	teplota počátku tvoření martensitu
$t$	$\text{[}^{\circ}\text{C}\text{]}$	teplota
$t_p$	$\text{[}^{\circ}\text{C}\text{]}$	teplota povrchu
$t_l$	$\text{[}^{\circ}\text{C}\text{]}$	teplota lázně
$t_0$	$\text{[}^{\circ}\text{C}\text{]}$	počáteční teplota
$\mathcal{Y} = \frac{t - t_l}{t_0 - t_l}$		parametrické teplotní kriterium
$\Delta t$	$\text{[deg]}$	rozdíl teplot
$\tau$	$\text{[s]}$	čas
$g$	$\text{[m/s}^2\text{]}$	zrychlení zemské tíže
$r$	$\text{[m]}$	vzdálenost po poloměru od osy válce do uvažovaného bodu
$R$	$\text{[m]}$	poloměr
$d, D$	$\text{[mm]}, \text{[m]}$	průměr
$d_{ekv}$	$\text{[mm]}, \text{[m]}$	ekvivalentní hydraulický průměr
$l$	$\text{[m]}$	délka, charakteristický rozměr
$o$	$\text{[m]}$	obvod
$U$	$\text{[m]}$	smočený obvod
$F$	$\text{[m}^2\text{]}$	volný průřez, teplosměnné plocha
$V_c = \frac{dt}{d\tau}$	$\text{[deg/s]}$	rychlosť ochlazování
$W_l$	$\text{[m/s]}$	rychlosť proudění kalicí lázně
$G$	$\text{[kg]}$	hmota
$\rho$	$\text{[kg/m}^3\text{]}$	měrná hmota
$Q$	$\text{[kcal/h]}$	hodinové tepelné množství

$q$	$\text{[kcal/m}^2\text{h]}$	tepelný tok
$c$	$\text{[kcal/kg deg]}$	měrné teplo ( specifické teplo )
$\nu$	$\text{[m}^2/\text{s}]$	kinematická viskozita
$\lambda$	$\text{[kcal/m h deg]}$	součinitel vedení tepla
$a$	$\text{[m}^2/\text{s}]$	součinitel teplotové vodivosti
$\beta$	$\text{[1/deg]}$	isochorický součinitel tlakové rozpínavosti
$\alpha$	$\text{[kcal/m}^2\text{ h deg]}$	součinitel přestupu tepla
$N_u = \frac{\alpha \cdot l}{\lambda}$		Nusseltovo číslo
$R_e = \frac{W \cdot L}{\nu}$		Reynoldsovo číslo
$P_r = \frac{\nu}{a}$		Prandtlovo číslo
$G_r = \frac{l^3 g \beta \Delta t}{\nu^2}$		Grashoffovo číslo
$F_o = \frac{a \cdot l}{l^2}$		Fourierovo číslo
$B_i = \frac{\alpha \cdot l}{\lambda}$		Biotovo číslo

### 1. Obecný rozbor řešeného problému

Kalením oceli označujeme rychlé ochlazení oceli ohřáté na teplotu nad hodnotu  $A_1$  ( kritická teplota strukturální přeměny ), čímž se potlačí normální překrystalisace a struktura je převedena do stavu více méně nestabilního, přičemž se vyznačuje velkou tvrdostí spojenou s křehkostí.

Rozhodujícím činitelem při kalení ocelí je rychlosť ochlazování kaleného předmětu ( je to změna teploty v uvažovaném místě za jednotku času ).

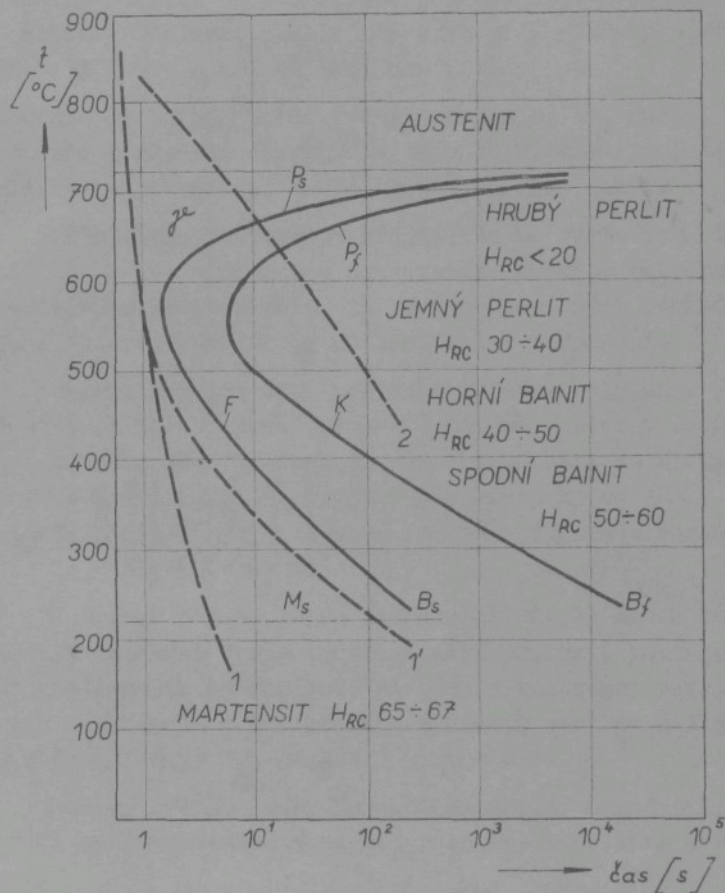
Schopnost materiálu k dosažení velké tvrdosti po zakalení se nazývá kalitelností a schopnost materiálu ztvrdnout při kalení do určité hloubky se nazývá prokalitelností.

Na kalitelnost i prokalitelnost daného materiálu se může usuzovat z jeho diagramu isotermických přeměn - zkráceně diagram IRA ( také transformační diagramy, S křivky spod. ), které prvně sestavili Davenport a Bain. Tyto diagramy vyjadřují závislost času potřebného pro započetí a dokončení isotermického rozpadu austenitu na teplotě.

Příklad diagramu isotermických přeměn je pro eutektoidní ocel na obr. 1.

Křivky F a K v obr. 1 se asymptoticky blíží teplotě  $A_1$ , což znamená, že při této teplotě nemůže dojít k rozpadu austenitu vůbec. Má-li dojít k rozpadu, musí být rovnováha tohoto stavu narušena snížením teploty. Dále je patrné, že při teplotě kolem  $550^{\circ}\text{C}$  započne přeměna zhruba již v 1 vteřině a skončí po několika málo vteřinách. Toto je nejcitlivější bod z hlediska vedení procesu kalení. Pod touto teplotou se překrystalisacní časy opět prodlužují.

Úplné přeměny austenitu na martensit ( v těchto úvahách se nebírá na zřetel existence zbytkového austenitu ), což také znamená největší tvrdost kaleného vzorku, lze dosáhnout v přípe-



Obr.1 - diagram isotermických přeměn eutektoidní oceli  
( 0,8 % C, 0,76 % Mn ). Podle Bricks a Phillipsa.

dě, bude-li rychlosť ochlazování odpovídat průběhu 1, respektive 1' - obr. 1. ( Kalení dle průběhu 1' je obyčejně žádánější, neboť v důsledku pomalejší probíhající přeměny austenitu na martensit budou menší vnitřní knutí ).

Bude-li průběh ochlazování napravo od 1, respektive 1', např. při ochlazení vzorku dle průběhu 2, získáme pouze měkkou perlitickou strukturu, tekže vzorek zkalen nebyl.

Z uvedeného rozboru je zřejmé, že na výsledné struktury docílenou kelením je možno usuzovat z časového průběhu teploty v uvažovaném místě vzorku, tj. z těch tepelných pochodů při kelení, které daný časový průběh teplot podmiňuje.

Schematicky lze tuto myšlenku vyjádřit dle obr. 2, který představuje transformaci známých průběhů teplot v průřezu vzorku do diagramu isotermického, respektive anisotermického rozpadu austenitu ( zkráceně značeno IRA, respektive ARA ). ( Diagram ARA odpovídá plynulému ochlazování vzorku z teploty počáteční do teploty lázně ).

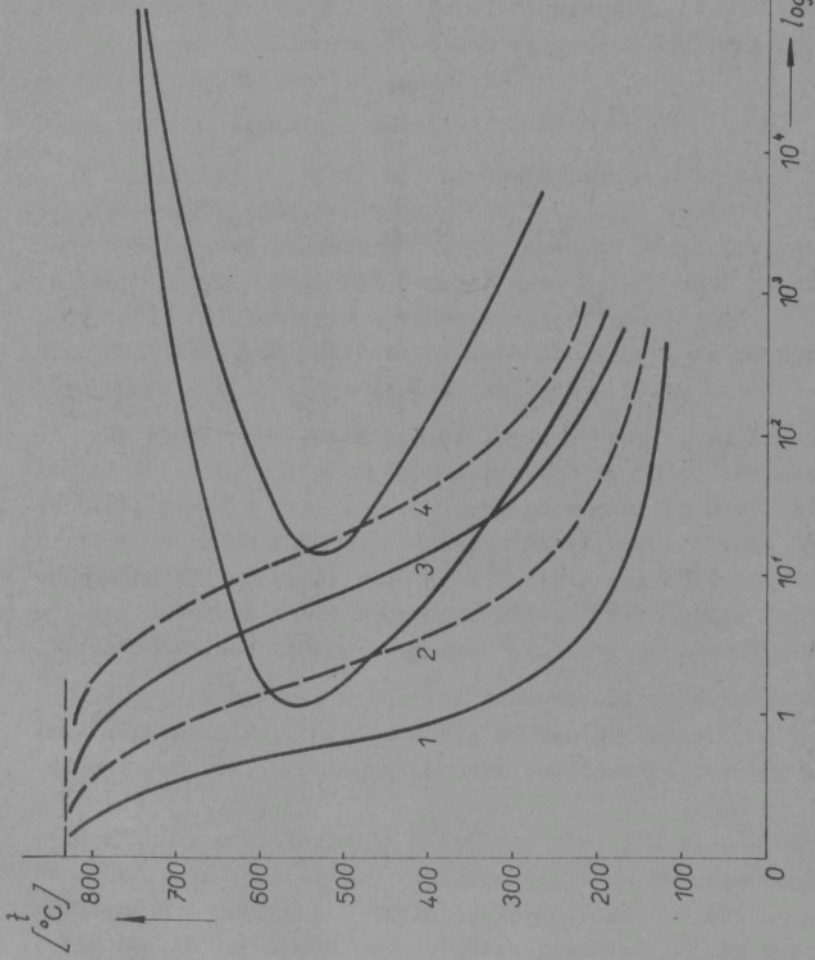
Z obrázku plyne, že na povrchu ( křivka 1 ) keleného vzorku může být dosaženo úplné martensitické přeměny, zatímco v ostatních uvažovaných bodech bude struktura obsahovat perlit a martensit ( křivka 2 a 3 - přičemž množství perlitu u 3 je větší něž u 2 - ), nebo jen perlit ( křivka 4 ).

Způsoby určení časového průběhu teplot v jednotlivých místech průřezu vzorku jsou rozpracovány v dalších kapitolách práce.

Na dosažení žádaného průběhu ochlazování má značný vliv nejen kalicí lázeň a její teplota a cirkulace, ale také tepelně fyzikální vlastnosti keleného materiálu.

#### 1.1 Vliv kalicí lázně na tepelné pochody při kelení

Již bylo řečeno, že rozhodujícím činitelem při kelení ocelí je rychlosť ochlazování keleného předmětu. Rychlosť



Obr. 2 - Schéma transformace získaných průběhu teplot ve vzorku do diagramu izotermického nebo anisotermického rozpudu astenitu. 1 - průběh povrchové teploty, 2 - průběh teploty vzorku ve vzdálenosti  $a$  mm ( $b > a$ ), 3 - průběh teploty vzorku ve vzdálenosti  $b$  mm ( $b > a$ ), 4 - průběh teploty v jádře vzorku.

ochlazování je v případě kelení ocele závislá hlavně na schopnosti kalicí lázně odvádět teplo z keleného předmětu.

Zásadní rozdíl ve vlastnostech kalicí lázně spočívá v tom, zda během ochlazování keleného předmětu dochází ne jeho povrchu ke změně skupenství kalicí lázně, či nikoliv. Podle toho způsob ochlazování keleného předmětu dělíme na dve případy :

A. beze změny skupenství lázně a

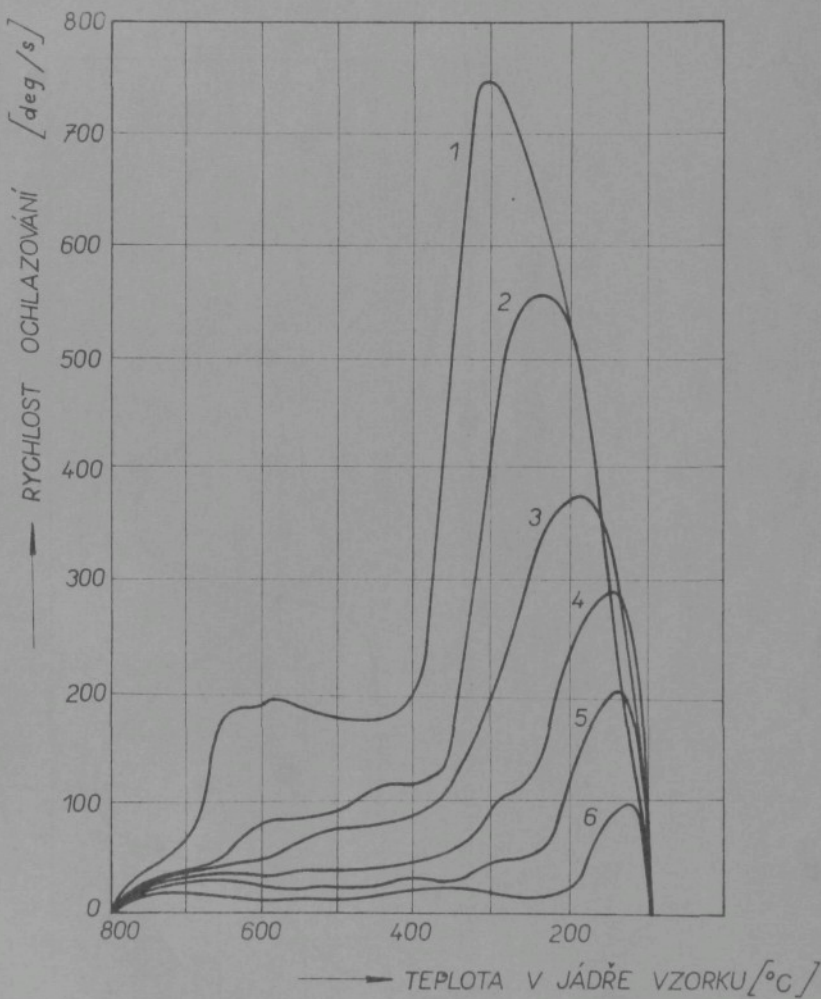
B. se změnou skupenství lázně.

Do skupiny A patří kalicí lázně plynné a lázně s bodem varu za daných podmínek vyšším než je kalicí teplota, tj. případy ochlazování na vzduchu, v rozteavených kovech, v rozteavených solích, stykem s kovovými deskami tzv. kelení mezi kemeny ( sdílení tepla při kontaktu - vedení ) a případně jiné. V těchto případech rychlosť ochlazování keleného vzorku se mění téměř rovnoměrně ( s poklesem teploty keleného vzorku klesá ).

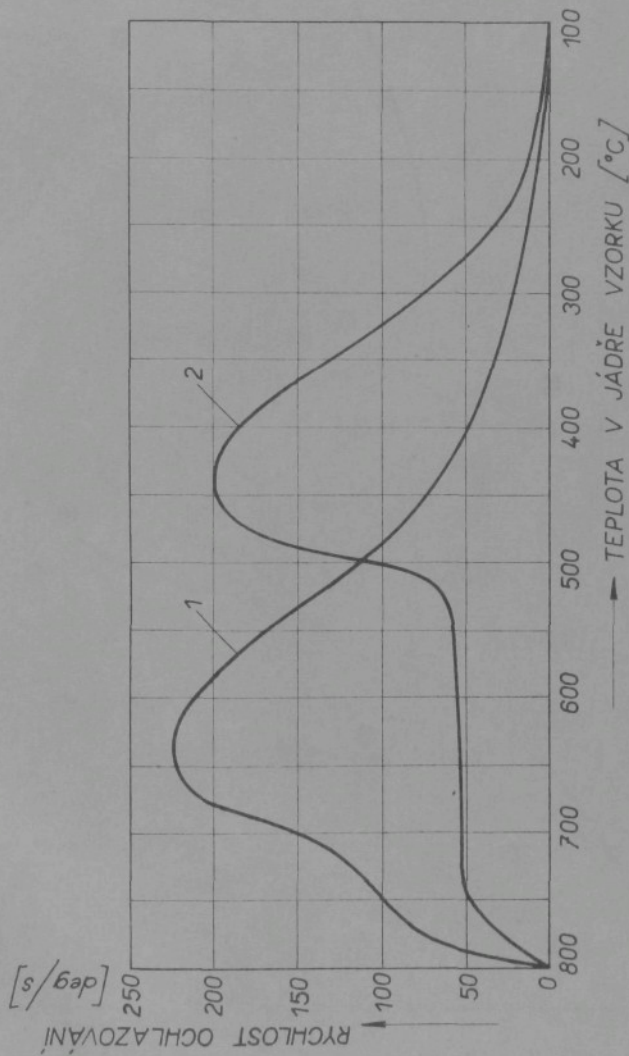
Do skupiny B patří kalicí lázně s bodem varu nižším než je kalicí teplota, tj. případy ochlazování ve vodě, roztoků solí ve vodě, louhů a kyselin, ochlazování v olejích apod. Při kelení v těchto lázních rychlosť ochlazování keleného vzorku zaznamenává značné výkyvy v závislosti na teplotě vzorku ( obr. 3 a obr. 4 přičemž dosahuje ostře vyznačené maximální hodnoty, jež je několikrát větší než střední hodnota rychlosťi ochlazování ).

Výkyvy v hodnotě rychlosťi ochlazování jsou způsobeny vznikem, ulpíváním a po určité době, po vzniku dostatečně velkých vztlakových sil, oddělením parního polštáře od povrchu keleného vzorku.

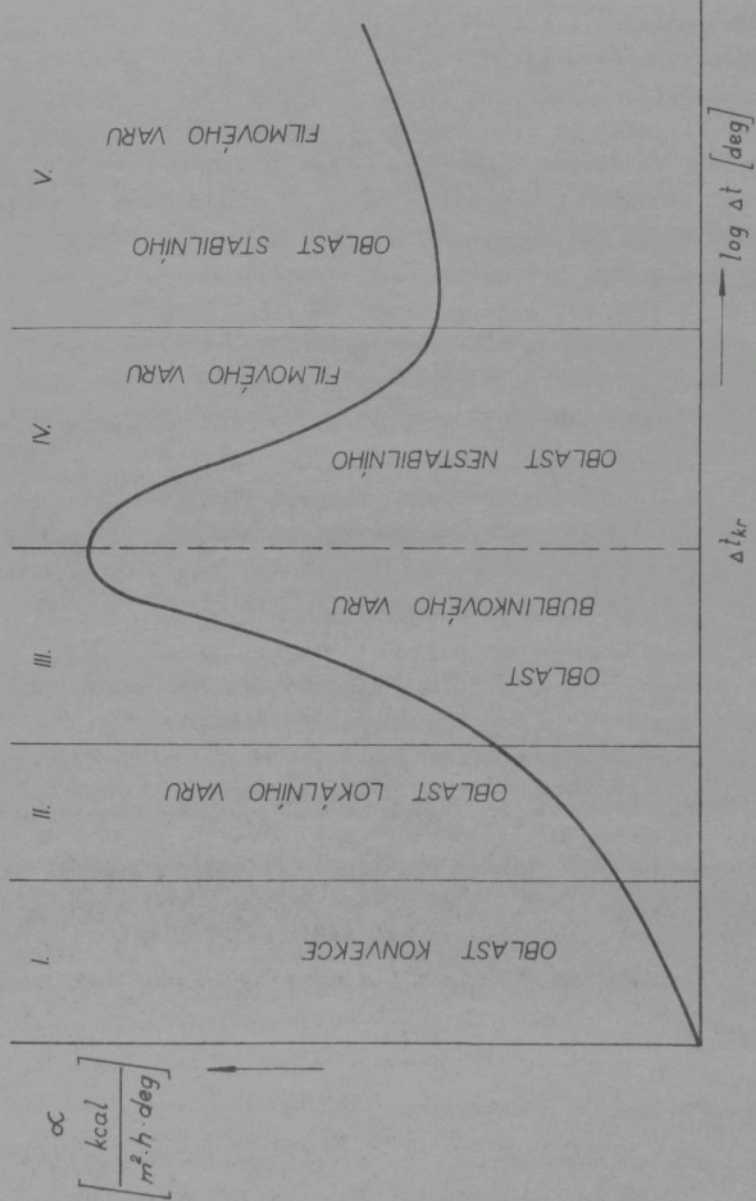
Průběhy ochlazovacích křivek na obr. 3 a obr. 4 úzce souvisejí se závislostí součinitele přestupu tepla na rozdílu teplot mezi ochlazovaným povrchem a teplotou lázně, tzv. " křivky varu ". ( Viz obr. 5 ). Podle nejnovějších poznatků křivku varu dělíme na 5 oblastí, které odpovídají určitému způsobu varu kapalinou v závislosti na rozdílu teplot mezi topeným povrchem a kapalinou. Při malých hodnotách  $\Delta t$  ( také malém tepelném zatížení topené



Obr. 3 - rychlosť ochlazovania stříbrného vzorku tvaru koule  
Ø 20 mm ve vodě o různé teplotě : 1 - 20 °C  
2 - 40 °C, 3 - 50 °C, 4 - 60 °C, 5 - 80 °C, 6 -  
- 98,6 °C.



Obr. 4 - změna ochlazovací výkonnosti oleje : 1 - těžký olej válcový 52, 2 - průmyslový olej 20, při teplotě 100 °C (dle ZQ).



Obr. 5 - schematické znázornění křivky varu kapalin.

plochy ) nedochází k varu kapaliny. Teplo se sdílí do kapaliny konvekcí ( oblast I ) . Při vzniku  $\Delta t$  , kapalina začne vřít v místech tomu nejpříznivějších ( místa určité dránosti apod. ) ( oblast II ) až přejde v bublinkový var ( nukleární var ) na celé ploše ( oblast III ). Zvyšuje-li se dále  $\Delta t$  , bublinky se budou spojovat ve větší polštáře ( oblast IV ) až nakonec vytvoří souvislý parní film ( oblast V ). Součinitel přestupu tepla dosahuje ostře vyznačeného maxima při zcela určitém rozdílu teplot ( kritický rozdíl teplot ) a tomu odpovídajícím tepelném zatížení topné plochy ( kritické tepelné zatížení ). Poloha maximální hodnoty součinitele přestupu tepla v uvedených souřadnicích je závislá na fyzikálních vlastnostech kapaliny a na podmínkách ( tlak, teplota, rychlosť proudění ), při kterých probíhá var.

Při varu vody v celém objemu za atmosferického tlaku docílí se maximální hodnoty součinitele přestupu tepla při teplotě topné plochy 123 až 127 °C (  $\Delta t_{kr} = 23$  až 27 deg ), zatímco u varu olejů při teplotě topné plochy 450 až 650 °C.

Pro většinu případů kelení je nejvhodnější mírné ochlazování při teplotách nad  $A_1$  , rychlé mezi  $A_1$  a  $M_s$  a pomalé v oblasti martensitické přeměny - pod  $M_s$  . Těmto požadavkům více vyhovují oleje než voda, neboť v oblastech vysokých teplot hodnota součinitele přestupu tepla je nízká ( existence souvislého parního polštáře ) a v oblastech mezi  $A_1$  a  $M_s$  oleje mají maximum součinitele přestupu tepla. V oblasti martensitické přeměny hodnota součinitele přestupu tepla olejů je opět malá, zvláště zvýší-li se ještě jejich teplota.

Podrobněji je hodnocení kalici lázně a jejího vlivu na rychlosť ochlazování probráno v [ 6 ], [ 20 ].

#### 1.2 Vliv tepelně-fyzikálních vlastností materiálu na tepelné pochody při kelení

Při zkoumání tepelných pochodů při kelení sice vycházíme

z vlastností kalcíí lázně, které ovlivňují tepelné poměry v mezní vrstvě, avšak hlavním cílem je sledování teplotního pole uvnitř kaleného vzorku, na které mají vliv jeho tepelně-fysikální vlastnosti.

Mezi tyto vlastnosti patří v prvé řadě součinitel vedení tepla ( $\lambda$ ) a specifické teplo (c). Jak specifické teplo, tak součinitel vedení tepla jsou pro daný materiál funkci teploty. Hodnoty specifického tepla se pro všechny oceli pohybují v rozmezí 0,1 až 0,17 kcal/kg deg pro teplotní interval 100 až 1200 °C [2], [25], [26]. Pro konkrétní materiál se uvedené rozmezí hodnot značně zmenšuje, takže pro běžné technické výpočty změnu specifického tepla s teplotou není nutno uvažovat. Poněkud jiná je situace u součinitele vedení tepla, který je jednak značně závislý na chemickém složení materiálu a jednak na teplotě, takže pro veliké teplotní rozdíly, k nimž dochází při kalení je žádoucí uvažovat jeho změnu s teplotou. Podrobně jsou hodnoty součinitele vedení tepla ocelí v [2].

Z uvedených charakteristik je to hlavně součinitel vedení tepla, který může podstatně ovlivnit průběh teploty ochlazovaného vzorku a v důsledku toho i výslednou jeho kvalitu.

Čím je hodnota součinitele vedení tepla vyšší, tím menší bude rozdíl mezi povrchovou teplotou a teplotou v jádře ochlazovaného vzorku a neopak, čím menší bude jeho hodnota, tím větší bude uvedený rozdíl teplot.

### 1.3 Řešení teplotního pole kaleného vzorku

K objasnění tepelných pochodů při kalení nutno znát průběh změny teplotního pole kaleného vzorku v čase. Kalení je charakterisováno nestacionárním sdílením tepla, neboť v důsledku instensivního odvodu tepla do kalcíí lázně dochází k velmi rychlým změnám teplotního pole. Uvažujme případ kalení do lázně skupiny B. Uvnitř vzorku se teplo sdílí vedením, vně vzorku

prouděním do kálcí lázně, přičemž na povrchu vzorku má v příslušných stadiích kalení místo var. Po dobu existence souvislého parního polštáře se teplo sdílí také sáláním, které v důsledku značného rozdílu teplot mezi chlazeným povrchem a kálcí lázní oddělené parním polštářem může být i rozhodující. Tyto složité tepelné pochody jsou matematicky popsány diferenciální rovnici vedení tepla  $\zeta_{15}$ ,  $\zeta_{17}$ ,  $\zeta_{24}$  a příslušnou okrajovou a počáteční podmínkou. Pro případ kalení nuceným podélným prouděním oleje platí okrajové podmínka třetího řádu  $\zeta_{15}$ ,  $\zeta_{6}$ , pro jejíž použití je nutno znát závislost součinitele přestupu tepla na teplotě povrchu kaleného vzorku. Tuto závislost známe převážně jen přibližně, takže výsledky řešení diferenciální rovnice spolu s okrajovou a počáteční podmínkou, tj. určení hledaného teplotního pole v průřezu kaleného vzorku, bude také jen přibližné. Součinitel přestupu tepla je složitou funkcionální závislostí na teplotě povrchu, teplotě lázně, rozdílu teplot mezi povrchem a lázní, tepelně-fysikálních vlastnostech lázně a na rychlosti a charakteru jejího proudění, dále na tvaru tělesa, jeho rozměrech, na charakteristickém rozmeru, způsobu obtékání apod., takže daná závislost platí pouze pro ty podmínky, za kterých byla určena. Její použití pro jiné podmínky vede k chybám, které často ani nelze vyloučit. Zobecnění závislostí součinitele přestupu tepla při kalení do oleje pomocí teorie podobnosti sdílení tepla ve tvaru kriteriálních rovnic je v současné době možné pouze pro oblast čisté konvekce, neboť dosud nejsou zpracovány tepelně-fysikální vlastnosti olejových par. ( Čistou konvekcí se rozumí sdílení tepla do kapaliny, při kterém nedochází ani v mezní vrstvě k odpeřování ). ( Poznámka: nutno dodat, že pro oleje čsl.výroby nejsou zpracovány tepelně-fysikální vlastnosti nezbytné pro řešení kriteriálních rovnic, ani pro oblast čisté konvekce . V příloze této práce - příloha č. 1, tabulka I a II - jsou přivedeny vlastnosti olejů OL-J4 a OV-B-31  $\zeta_9$ , které byly získány běžnými laboratorními metodami v Ústavu termomechaniky, VŠST Liberec ).

Z uvedeného rozboru plyne, že závislost součinitele přestupu tepla pro konkrétní případ kelení je velmi žádanou závislostí, i když její ziskání je značně obtížné a náročné na techniku měření. Možno říci, že řešení teplotního pole keleného dílu pomocí metod vžitých ve sdílení tepla nenašlo doposud v praktickém používání v oblasti tepelného zpracování širšího uplatnění. Analytické řešení tepelných pochodů při kelení ve vzájemné vazbě se strukturálními změnami materiálů se až na malé vyjimky převážně laboratorního výzkumu nahrazuje zkoušebními metodami přímého sledování kalitnosti a prokalitelnosti vzorků příslušného materiálu.

#### 1.4 Stručný přehled literatury

Otakrám souvisejícím s tepelnými pochody při kelení je věnováno velké množství publikovaných prací. Již začátkem toho století se objevují práce, zabývající se rychlosťí ochlazování při kelení. Zde je možno jmenovat práce badatelů Le-Chatelliera (1904), Pillinga a Lynch (1919), později ve dvacátých a třicátých letech to jsou Lever, Engel, French, zvláště pak Rose, který zdokonalil a obohatil techniku měření rychlosti ochlazování. Rychlosť ochlazování stanovoval z teplotního průběhu jádra stříbrné kuličky o  $\varnothing 20$  mm při jejím ochlazování. Tato metoda se v literatuře často označuje jako metoda Roseho. V letech čtyřicátých a posledních jsou to dále práce Grossmana, Kreinera a Swobody, Peters, Blantre, Chazana, Němcinského a dalších. V těchto letech je příznačná snaha o aplikaci na tepelné pochody při kelení poznatků z teorie sdílení tepla, hlasně pak teorie podobnosti sdílení tepla. Projevilo se to snahou hodnotit ochlazovací schopnost jednotlivých káličích lázní pomocí závislosti součinitele přestupu tepla na teplotě vzorku a kromě toho snahou o využití těchto závislostí k analytickému řešení nestacionárního teplotního pole keleného vzorku. Sem

patří práce Kreinera a Swobody, Němcinského, Rose, Chazana, Petreše a dalších. Součinitel přestupu tepla byl určen pomocí rychlosti ochlazování ze vztahu :

$$\alpha = \frac{dt}{d\tau} \cdot \frac{G \cdot C}{F \cdot (t - t_1)} = V \cdot \frac{G \cdot C}{F \cdot (t - t_1)} \quad (1-1)$$

V tomto období se přidružují práce, zabývající se hledání otázkami tepelných pochodů při kálení zaměřené již na možnost ovládnutí těchto procesů z hlediska řízení ochlazovací účinnosti kalicích lázní změnou jejich teploty a rychlosti pohybu. Tyto práce směřují k tomu, aby s využitím diagramu IRA příslušného materiálu bylo možno předem stanovit vhodný druh kalicí lázně a její stav ( tj. teplotu a rychlosť pohybu ) z hlediska dosažení žádané struktury po zakálení. Zejména to jsou tyto práce :

1. Kilender, Arend, Mintrop /4/ z r. 1944.

Práce obsahuje zkoumání vlivu kalicí lázně na prokalitelnost slabě legovaných ocelí. Zkoušky byly provedeny na válcových vzorcích různých průměrů při jejich ochlazování ve vodě ( studené a teplé ), v roztoku 10% louhu sodného a v minerálních olejích. Ochlazovací schopnost těchto kalicích lázní byla stanovena metodou Roseho. Ochlazovací rychlosť vzorků různého průměru byla stanovena z teplotních průběhů několika míst uvnitř vzorku, měřených termočlánky. Z těchto krivek byly vypočteny střední hodnoty součiniteli přestupu tepla. Její rychlosť ochlazování, tak součinitel přestupu tepla byl určen pro teplotu jádra 600 °C. Veliká pozornost je věnována prokalitelnosti vzorku při kálení ve studené a teplé vodě, neboť kalicí voda je považována za lázeň s nejistými účinky ( poznámka autora : ochlazovací schopnost vody je značně závislá na její teplotě ). Dle výsledků pokusů je doporučováno při kálení dílů válcového tvaru do průměru 60 mm používat studenou vodní lázeň, při Ø od 60 do 90 mm teplou vodní lázeň ( prokálení jádra je lepší než použití studené lázně ).

Při Ø mezi 30 až 60 mm může nastat značný rozptyl prokalení.

2. Kalení v lázni rozvířené vrtuli [22] z r.1955

Poměrná ochlazovací schopnost výřené kalici lázně ve vztahu ke klidové vodě.

## Tebulka 1.

Stav lázně	voda	olej	vzduch
klicný stav	1,0	0,25 - 0,30	0,02
slabé víření	1,0-1,1	0,30 - 0,35	
mírné víření	1,2-1,3	0,35 - 0,40	
rychlejší pohyb	1,4-1,5	0,4 - 0,5	
silné víření	1,6-2,0	0,5 - 0,8	
bourlivé víření	4,0	0,8 - 1,1	0,05

L 107 - původní práce z r. 1956.

zit olej s nejhorskou ochlazovací schopností, který byl rozkmitan ultrazvukem a výsledky byly porovnány s olejem o nejlepší ochlazovací schopnosti. V uvedených lázních byly kaleny vzorky válcového tveru Ø 25,4 mm a vyhodnocena jejich tvrdost. Pro porovnání vzorky byly kaleny do klidové lázně, mechanicky zvířené lázně, lázně rozkmitané ultrazvukem ~~svémechanicky~~ zvířené za současného působení ultrazvuku.

Výsledky zkoušek ukazují, že rozkmitání lázně pomocí ultrazvuku zvyšuje její ochlazovací schopnost a tím i zvětšuje hloubku prokalení.

#### 4. Zhodnocení vlastností kalicích prostředí / 11 / z r. 1958.

Dá se říci, že je to první rozsáhlá domácí práce z oblasti výzkumu tepelných pochodů při kalení. Práce obsahuje ochlazovací schopnosti řady olejů čsl. výroby s originálním vyhodnocením vhodnosti jejich použitelnosti pro kalení a ochlazovací schopnost koncentrovaných solních roztoků. Vhodnost použití jednotlivých olejů jako horké kalicí lázně je doplněna přezkoušením jejich stárnutí. Dále práce obsahuje průběhy ochlazovacích křivek v různých bodech průřezu vzorků válcového tveru z materiálu AKC 17 255 o různých průměrech Ø 10 až 50 mm v různých kalicích lázních v závislosti na teplotě lázně a její cirkulaci. Cirkulací je zde rozuměno příčné obtékání válcových vzorků, přičemž rychlosť cirkulace je rovna rychlosti nabíhajícího proudu lázně.

Je to jedna z mála prací, kde je přímo měřen průběh povrchové teploty vzorků při jejich ochlazování.

#### 5. Kalicí prostředí pro tepelné zpracování kovů / 20 / z r. 1959 ( Překlad z r. 1962 ).

Kniha se podrobň zabývá zvláštnostmi ochlazování v různých prostředí a hodnocení ochlazovací schopnosti nejčastěji používaných kalicích lázní: vody, oleje, roztažených kovů, solí a leuhů. Zvláštní pozornost je věnována způsobům hodnocení kalicích prostředí z hlediska vhodnosti jejich použití při kalení.

Jsou také uvedeny obecné poznatky z teorie tepelných pochodů při kalení, svěk spíše v odkazech na odbornou literaturu, než v konkrétním rozboru.

#### 6. Úvahy o tepelných jevech při kalení v oleji [23] z r. 1959.

V článku jsou uvedeny výsledky zkoumání vlivu ponoru zkoušebního vzorku ( stříbrný válec o  $\varnothing 50,8$  mm ) při jeho ochlazení ve třech různých olejových lázních ( dle autorů oleje označeny jako rychlý, střední a pomalý ) v závislosti na teplotě lázně. Pro jednotlivé zkoušky jsou stanoveny křivky varu tétoho olejů za daných podmínek, které byly určeny na základě měření teplotních průběhů v několika místech ( 5 a více ) průřezu vzorku. V uvažovaném okamžiku jsou teplotní hodnoty v měřených místech vzorku analyticky extrapolovány do povrchu vzorku ( včetně uvázení vlivu sférické geometrie ) a dle tohoto průběhu povrchové teploty stanovena závislost součinitele přestupu tepla na teplotě povrchu vzorku. ( Konkrétní popis použité metody není přiveden ).

Vliv teploty kalící lázně a vliv ponoru vzorku na rychlosť jeho ochlazování je odvozen ze získaných křivek varu.

#### 7. Kalení proudu tlakového minerálního oleje [1] z r. 1959.

Článek se zabývá rozborom možností kalení silnostárných trub z nelegované oceli se středním obsahem uhlíku. Pro zvýšení prokaleň v celé tloušťce trubky je zavedeno nucené podélné obtékání kaleného dílu olejem v ugasovém okruhu, přičemž je vhodně využito zvýšení tlaku oleje na 3 až 4 atp za účelem zvýšení teploty varu lázně. Nuceného pohybu je dosaženo čerpadlem oleje, takže rychlosť proudění lázně se pohybuje v mezích 0,5 až 1,0 m/s.

Vyhodnocení mikrostruktury této kalených silnostárných trubek ukazuje na velmi dobré prokaleň v celé tloušťce stěny. Srovnání výsledků kalení dřívějším způsobem ( klidová lázeň ) se způsobem popsaným, jednoznačně ukazuje výhodnost nového způsobu.

Dále jsou v této práci publikovány závislosti součinitelů přestupu tepla dynamového oleje na jeho teplotě, avšak není uveden

způsob, jakým byly získány.

8. Atlas diagramů pro rušlechťování konstrukčních ocelí Z 12 z r. 1964.

Tato publikace kromě velmi důležitých a v praxi potřebných diagramů IRA, případně ARA nejpoužívanějších konstrukčních ocelí čsl. výroby, obsahuje v úvodní části otázky z oblasti tepelných pochodů při kalení (ochlazovací účinnost kalicích lázní - souvisí s prací Z 11, tepelné zpracování s použitím diagramů IRA apod.).

V příloze jsou uvedeny průsvitky, na nichž jsou ve stejných souřadnicích a ve stejném mřížku jako u diagramů IRA nebo ARA vyneseny průběhy ochlazování válcových vzorků různých průměrů ve vodě, v olejích a na vzduchu. Průsvitky jsou doporučeny pro transformaci těchto křivek do diagramů IRA, respektive ARA tepelné zpracovávaného materiálu, při výběru vhodné kalicí lázně a pro přibližné stanovení tvrdosti po tepelném zpracování v různých místech průřezu uvažovaného vzorku.

#### 1.5 Kritika současného stavu znalostí a studia tepelných pochodů při kalení

Kritika současného stavu je zaměřena pouze na tepelné pochody při kalení, nezabývá se speciálními otázkami metalografickými a také těmi otázkami, které nemají přímou souvislost s kandidátskou prací. Z tohoto hlediska je pozornost soustředěna na tyto otázky:

1. výběr zkoušebních vzorků.

Vzorky k určení ochlazovací schopnosti kalicí lázně jsou nejčastěji zhotoveny z niklchromové slitiny, nebo ze stříbra, buď válcové nebo kulové. Je známo, že rozhodujícími podmínkami pro ochlazování tělesa v případě sdílení prouděním jsou podmínky, probíhající v mezní vrstvě na styčné ploše mezi vzorkem a kalicí lázní. Proto je snahou, aby měřená rychlosť ochlazování byla určena pro povrch zkoušebního vzorku.

Měří-li se povrchová teplota vzorku přímo, pak jeho rozměry z hlediska sledování jevů na jeho povrchu mohou být libovolné, avšak usuzuje-li se na tyto jevy na základě měření teploty jeho jádra, pak jeho rozměry musí být co nejmenší, zvláště při použití niklchromových vzorků. Mnohem výhodnější je použít stříbrného vzorku pro jeho výbornou tepelnou vodivost. Avšak ani použití stříbrného vzorku nevylučuje chyby při takovém způsobu zpracování, neboť mezi jádrem a povrchem vzorku musí být skutečný teplotní spád, který je tím větší, čím větší je hodnota součinitele přestupu tepla.

Přímé měření povrchové teploty při kalení, tj. při procesu rychlých teplotních změn je velmi náročné po stránce techniky měření. U řady badatelů je možno pozorovat snahu pokud možno tomuto úkolu se vyhnout použitím stříbrného vzorku, nebo jiným způsobem, jako např. v [23]. Přímou metodou byla povrchová teplota stanovena v [11], avšak vhodnost metody nebyla dokázána, byla jen logicky zdůvodněna. Z hlediska použití v praxi je metoda dle [23] nevhodná;

## 2. výhodnocení závislosti součinitelů přestupu tepla na teplotě vzorku.

Již byl uveden jeden způsob určení součinitelů přestupu tepla ( rovnice 1-1 ) . Tento výraz obdržíme přirovnáním elementárního množství tepla odvedeného prostředím od vzorku za čas  $d\tau$ , které vyjádříme pomocí Newtonova zákona pro sdílení tepla prouděním :

$$dQ = \alpha F(t-t_1) d\tau \quad (1-2)$$

s elementárním množstvím tepla, které odevzdá vzorek o hmotě G:

$$dQ = G \cdot c \cdot dt \quad (1-3)$$

Mnozí autoři ( např. [4], [20] ) stanovovali závislost součinitelů přestupu tepla na základě měření teploty v jádře vzorku. V takovém případě se dá získaná závislost aplikovat na

děje na povrchu vzorku jen s jistou přibližností. Má-li se získat závislost součinitele přestupu tepla na teplotě povrchu vzorku ( je to nejvhodnější vyjádření pro analytické řešení ), pak v rovnici ( 1-2 ) musí být za teplotu  $t$  dosazena teplota povrchu  $t_p$  a v rovnici ( 1-3 ) změna teploty  $dt$  musí vyjadřovat změnu střední objemové teploty vzorku v uvažovaném čase  $d\tau$ , což situaci značně komplikuje.

Vzhledem k tomu, že není možné zpracování sdílení tepla pro oblast bublinkového a filmového varu ve tvaru kriteriálních závislostí, jelikož neznáme tepelně-fysikální vlastnosti olejů pro tuto oblast, zůstává závislost součinitele přestupu tepla na teplotě vzorku nejvhodnější závislostí také pro srovnávání vlastností různých kalicích lázní s ohledem na průběh ochlazování kaleného vzorku.

Metoda, použitá v [23] k určení této závislosti pro inženýrskou praxi není vhodná.

Dále pak je patrné, že při zobecňování neměřených průběhů teplot ve vzorcích se často opomíjí zdůraznit rozsah použitelnosti těchto závěrů při přípustném procentu chyby. Tak např. v [12] není přesně vymezena vhodnost použití průsvitek s ohledem na to, pro jaký materiál platí a také stav kalicí lázně není přesně definován ( o jaký způsob cirkulace jde apod. ).

### 3. snaha o ovládnutí procesu kalení.

Ovládnutím procesu kalení se zde rozumí možnost řízení ochlazovací schopnosti kalicí lázně volbou její teploty a rychlosti pohybu dle požadavků na výslednou strukturu kalených dílů. Již z této definice plyne, že se musí vyloučit náhodnost a subjektivní vlivy, což znamená vyloučit chaotické vření lázně, či chaotický pohyb kaleného dílu. V úvahu je možno vzít pouze nucené uspořádané proudění kalicí lázně, použité v [1], [5] a [11]. Z toho příčné obtékání vzorku válcového tvaru [11] je nevhodné, jelikož součinitel přestupu tepla se po obvodu válce značně mění, v důsledku čehož dochází k nerovnoměrnému ochlazování vzorku

a tím i k nestejné kvalitě po jeho zakalení. Nutno dodat, že autor práce [11] nedoporučuje příčné obtékání válce jakožto vhodný způsob ke kalení. Na otázky, které byly v této práci řešeny nemusí mít způsob uspořádaného proudění vliv.

Tím je také zdůvodněna vhodnost volby podélného obtékání válcových těles [1], [5], při snaze o ovládnutí procesu kalení.

#### 1.6 Cíl kandidátské práce

Kandidátská práce je zaměřena na studium tepelných pochodů při kalení těles válcového tvaru pro případ nuceného podélného obtékání olejem. Zkoumený vzorek je samostatný válec, umístěný při kalení ve svislé válcové kalící vaně.

S ohledem na možnost aplikací v praxi je pak kandidátská práce zaměřena zejména na řešení těchto problémů:

- 1) na základě experimentálního objasnění vlivu teploty a rychlosti proudění kalící lázně (oleje) na rychlosť ochlazování zkušebních vzorků různých průměrů, stanovit podmínky ovládnutí procesu kalení pro daný typ uspořádaného nuceného proudění kalící lázně;
- 2) k tomu je ovšem třeba vypracovat vhodnou metodu přímého měření povrchové teploty zkušebních vzorků a dokázat oprávněnost jejího použití při procesu kalení, jak je uvedeno v bodě 1);
- 3) a dále pak vypracovat metodu vhodnou pro inženýrskou praxi pro zjištění závislosti součinitele přestupu tepla na teplotě povrchu vzorku (křivka varu) ze známého průběhu teploty povrchu vzorku při jeho ochlazování.

2. Výběr zkušebních vzorků. Rozsah provedení experimentu.  
Zkušební zařízení.

2.1 Výběr zkušebních vzorků

Výzkum tepelných pochodů při kalení byl proveden pro těleso válcového tvaru. Základní serie pokusů pro stanovení časové závislosti teplotního pole v daném průřezu vzorku při jeho ochlazování byla provedena se vzorky z materiálu AKC 17 255.

Použití této sostenitické oceli je účelné z těchto důvodů:

- a) vrstva kysličníku, která se vytváří při prvním ohřevu vzorku, zůstává při opakovém ohřevu prakticky stálá, takže její vliv na průběh ochlazování je stále stejný;
- b) při ochlazování vzorku se neuvolňuje překrystallisární teplo, které by působilo na průběh ochlazování.

Pro stanovení vlivu geometrických rozměrů vzorků na průběh ochlazování, měření bylo provedeno na vzorcích průměrů : 15, 20, 30, 50 a 70 mm ( tyto hodnoty průměrů byly voleny na přání závodu LIAZ Rýnovice ). Délka vzorků vyjma průměr 50 a 70 mm byla volena tak, aby z hlediska sdílení tepla splňovaly podmíinku neomezeného válce, to zn. pětinásobek průměru. U průměrů 50 a 70 mm byla délka volena 180 mm z důvodů výrobních ( vrtání otvorů pro termočlánky bylo provedeno do hloubky rovné poloviční délce ).

Vzhledem k tomu, že vzorky byly provedeny z materiálů různých tvarů, bylo stanoveno chemické složení použitého materiálu, jehož výsledky jsou uvedeny v tabulce č. 2. Dle tohoto složení jsou pak stanoveny tepelně fyzikální vlastnosti materiálu, potřebné pro analytické zpracování výsledků měření. Chemické složení materiálu vzorku Ø 70 mm stanoveno nebylo. V tabulce je také uvedeno označení vzorků, které je dále v textu používáno.

Chemické složení materiálu AKC 17 255  
jednotlivých vzorků.

Tabulka č. 2

Průměr vzorku d /mm/	Oznámení vzorků	% obsahu prvků								
		C	Mn	Si	P	S	Cr	Ni	V	Mo
15	V1	0,17	1,04	1,96	0,031	0,019	26,01	20,78	0,50	0,04
20	V2	0,13	1,23	1,84	0,029	0,019	23,92	20,32	0,50	0,025
30	V3	0,10	1,25	2,28	0,018	0,020	24,70	20,12	0,50	0,025
50	V4	0,10	1,25	2,28	0,018	0,020	24,70	20,12	0,50	0,025
70	V5	nebylo provedeno								

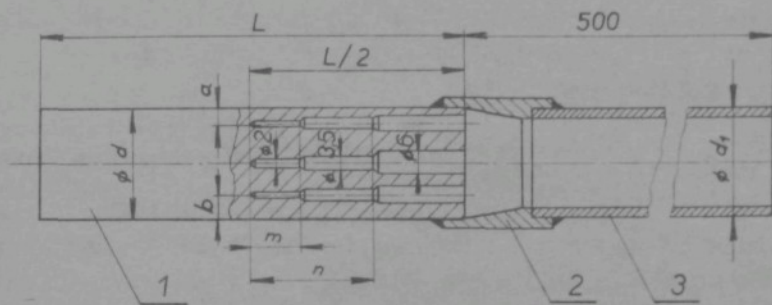
Konkrétní provedení vzorků je zřejmé z obr. 6. Časový průběh teplotního pole byl sledován pro střední průřez vzorku. Místa snímání teplot v tomto průřezu jsou :

- a) na povrchu;
- b) asi 1 až 3 mm pod povrchem;
- c) ve vzdálenosti  $R/2$  pod povrchem;
- d) v ose vzorku.

Tato místa byla volena s ohledem na možnost snadného grafického znázornění rozložení teplot, takže hustota měřených bodů je větší při povrchu vzorků, kde je větší teplotní gradient ( změna teploty ve směru normály ). Dalším důvodem pro volbu místa 1 až 3 mm pod povrchem je to, že při kalení cementovaných dílů cementovaná vrstva obyčejně zasahuje do hloubky 1 až 2 mm . U vzorků V4 a V5 nebyla měřena teplota v tomto místě pro obtížnost vrtání otvoru pro termočlánek, což se projevilo již u vzorku V3.

Vrtání pro termočlánky je v blízkosti místa snímání teplot provedeno na průměr 2 mm, aby byl pokud možno co nejméně narušen průřez vzorku a tím i teplotní pole při měření.

Účelem ochranné trubky je chránit izolované termočlánkové dráty před poškozením mechanickým a také před působením oleje.



Obr. 6 - konstrukční provedení měřených vzorků.  
1 - vlastní vzorek, 2 - přechodový kus,  
3 - ochranná trubka.

Rozměry použitých vzorků

VZOREK	JEDNOTLIVÉ ROZMĚRY V [mm]:								
	d	L	L/2	a	b	d/2	m	n	d <sub>f</sub>
V1	15	75	37,5	1,7	3,75	7,5	15	37,5	14
V2	20	100	50,0	2,3	4,75	10,0	15	50,0	14
V3	30	150	75,0	2,5	7,40	15,0	15	75,0	30
V4	50	180	90,0	/	12,5	25,0	15	60,0	30
V5	70	180	90,0	/	17,3	35,0	15	60,0	30

## 2.2 Rozsah provedení experimentu

Tepelné pochody při kalení byly experimentálně sledovány pro dva druhy olejů, které se nevzájem značně liší svojí vazkostí. Po dohodě se zástupcem n.p. LIAZ byly vybrány tyto oleje: olej ložiskový CL-J4 a olej válcový OVB-31 /9/.

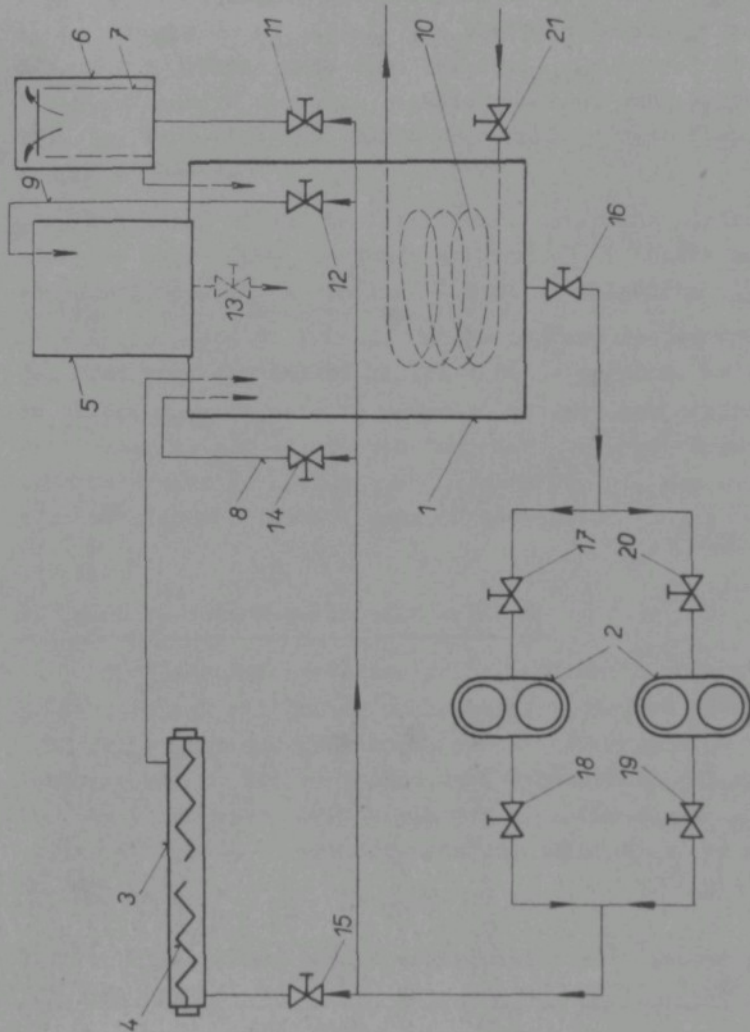
Jelikož vliv teploty kalicí lázně (oleje) a vliv rychlosti jejího pohybu na ochlazování těles válcového tvaru v dostupné literatuře není zpracován pro případ podélného nuceného obtékání, průběhy teploty ve středním průřezu vzorků byly sledovány u všech vzorků pro oba oleje při teplotách lázně od 20 do 150 °C (pro tři teplotní hodnoty) a při rychlosťech proudění lázně od 0 do 1,0 m/s (pro 3 až 4 hodnoty).

## 2.3 Zkušební zařízení

Pro experimentální práci bylo navrženo a postaveno zkušební zařízení, schematicky znázorněné na obr. 7.

Zkušební zařízení je určeno pro víceúčelové použití. Je sestaveno z nádrže pro olej 1 o obsahu 150 l s dvojitým pláštěm (isolace), dvou zubových čerpadel oleje 2 o výkonu 100 l/min každé, průtokového ohříveče oleje 3 se dvěma ponornými elektrickými topnými tělesy 4 typu T-03 o výkonu 6 kW každé, měrné nádoby 5 k určení rychlosti proudění z nateklého množství, kalicí vany 6 se sadou výmenných vložek 7 pro snadnou reprodukovatelnost rychlosti proudění oleje při plném výkonu čerpadel, obtokového potrubí 8, přívodního potrubí 9 k měrné nádobě, chladiče olejové lázně 10 a uzavíracích ventilů 11 až 21.

Zkušební zařízení umožňuje nastavení žádané teploty lázně a její rychlosti s požadovanou přesností. Požadované rychlosti proudění oleje v kalicí vaně lze docílit buď vhodným seřízením ventilů 15 a 14, přičemž rychlosť určíme z nateklého množství



Obr. 7 - Schéma zkoušebního zařízení. 1 - nádrž pro olej, 2 - čerpadlo oleje, 3 - průtočný chrýšť oleje, 4 - ponorná tělnice typu T-Q3 (8 kW), 5 - měrná nádoba, 6 - kelič vany, 7 - výmenná vložka k licet vany, 8 - obtokové potrubí, 9 - potrubí přivodu oleje do mříže nádoby k určení výtoknosti proudu, 10 - vodní ohřeď olejové lázně, 11 až 21 - uzavírací ventily.

oleje potrubím 2 do měrné nádoby 5 při uzavřeném ventilu 11 ( po nastavení žádané rychlosti uzavřeme ventil 12 a otevřeme 11 ), nebo výměnou vložek 7 s vhodně volenými průměry při plném výkonu jednoho nebo obou čerpadel. Druhý způsob je výhodnější, neboť zubová čerpadla prakticky nemění svůj výkon v závislosti na teplotě lázně, tskže reproducce rychlosti proudění je snadná a přesná.

Nastavení žádané teploty lázně, případně udržení její teploty po delší dobu, umožňuje ohřívač 2 ( tělesa mohou být zapnuta jednotlivě i současně ) spolu s chladičem 10.

Kalící vana je svislá, dno je tvořeno roštěm pro průtok oleje. Před procesem kolení kalící vana je prázdná. Kolený předmět se ukládá na rošt nebo se uchycuje na závesaném přípravku a teprve potom se spustí olejová čerpadla. Přepad oleje z kalící vany do nádrže je zaveden pod hladinu náplně, aby nedošlo k propadnutí plamene z kalící vany do nádrže.

### 3. Technika měření základních veličin

Při sledování nestacionárního teplotního pole uvažovaného průřezu vzorků při jejich ochlazování v olejové lázni má rozhodující význam časový záZNAM teploty měřených míst vzorku. Technika měření těchto teplot musí vyhovovat rychlosti změny teploty ( pro povrchovou teplotu ) až 1 000 deg/s . Další veličiny - teplota a rychlosť proudění lázně - se stanoví poměrně snadno.

#### 3.1 Technika měření časové závislosti teplot vzorků při jejich ochlazování.

V odborné literatuře existuje řada prací, zabývající se rychlosťí ochlazování těles různého tvaru při jejich kolení. Je však výjimkou, kdy rychlosť ochlazování je vztázena na povrchovou teplotu vzorku 11. Daleko častější jsou případy, kdy

rychlosť ochlazovania je vztažená na teplotu jádra vzorku, pričom vzorek býva často zhotoven z nejlepšieho vodiča tepla - stříbra. Vzhľadom k veľmi dobré tepelné vodivosti stříbra, pri ochlazovaní vzorku, průběh teploty jádra pomerně dobre kopíruje průběh povrchovej teploty.

Je-li však vzorek zhotoven z materiálu o podstatne nižšej vodivosti tepla ( napr. nerez materiál ), pak z prúběhu teploty v jádri vzorku nelze usuzovať na prúběh teploty povrchu. Teplota v jádri je jednak značne zpoždena oproti teploté povrchu a jednak její časový prúběh je deformovan v dôsledku vedenia vrstvou v materiálu vzorku.

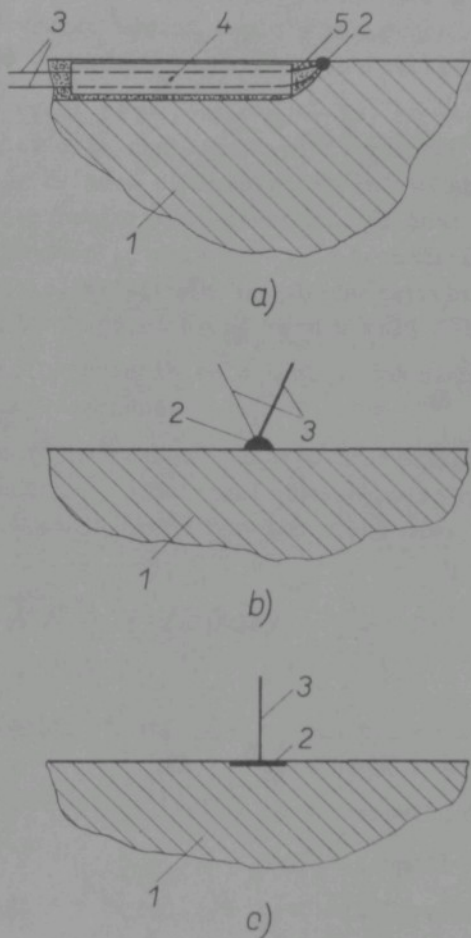
Z týchto dôvodov merať časového prúběhu povrchovej teploty vzorku vyžaduje mimořadné pozornosť.

### 3.1.1 Technika merať časové závislosti povrchovej teploty vzorku pri jejich ochlazovaní

Na obr. 8 sú uvedené najčastejšie zpôsoby merať povrchovej teploty pomocí termočlánkov, pribházejúcich v úvahu pre použitie pri sledovaní tepelných pochodov pri kaľení.

Prvni zpôsob - obr. 8a - splňuje zásadu uloženia termočlánku podél isolermy vzorku. Jeho nevýhodou však je narušenie teplotného pole v mieste snímáni teplot, čož vnese nekontrolovetelnou chybu, ktorá zvláštne pri malých prúmrech vzorku môže dosiahnuť nežádoucí hodnoty. Jistou alternatívou tohto zpôsobu je vytvorenie termočlánku medzi jednou vetvou termočlánku a samotným vzorkom, čímž sa chyba merať zmenší v dôsledku možnosti použitia isolačných kapilár menších rozmerov. Pro velké rychlosťi ochlazování je tento zpôsob nevhodný a proto je pozornosť soustredená na ty zpôsoby, u nichž termočlánok je umiestnen vnä vzorku.

Druhý zpôsob - obr. 8b - je v provedení nejjednodušší. Rovnako zde je možno vytvoriť termočlánok jednou vetvou a samotným vzorkom. Termočlánkový drát je obyčajne mnohonásobne menšího prúmra než je prúmér vzorku. V dôsledku toho sa ochlasi v kalici



Obr. 8 - některé způsoby měření povrchové teploty pomocí termočlánků. 1 - vzorek, 2 - teply spoj termočlánku, 3 - termočlánkové dráty, 4 - isolační dvoukapilára, 5 - tmel

lázni daleko rychleji než ochlazoveny vzorek, takže z místa snímání teplot vzorku odvádí teplo a tím podchlažuje teply spoj termočlánku. Vzniká chyba, kterou lze ztěží odhadnout.

Z této úvahy plyne, že chceme-li, aby teplota měřená tímto způsobem odpovídala skutečné teplotě povrchu vzorku, pak místo teplého spoje se musí ochlazovat stejně intenzivně jako kterékoliv jiné místo uvažovaného povrchu. To znamená, že pro každý okamžik ochlazování, teplo odvedené termočlánkovým drátem musí být rovno teplu, vztázenému na plochu povrchu výorku ekvivalentní ploše teplého spoje, které ovede kalici lázeň.

Je možno přesvědčit se o tom, že dodržení této podmínky v praxi je velmi nesnadné.

Teploto odvedené termočlánkovým drátem odpovídá případu vedení tenkého nosníku, jehož základna je umístěna na topné ploše, při současném ochlazování nosníku prouděním. Toto teplo je dáno vztahem [3]:

$$Q_1 = \sqrt{\alpha \cdot \sigma \cdot \lambda \cdot F} \cdot \Delta t \cdot tb \text{ (ml)} \quad (3-1),$$

kde je

$\alpha$ ,  $\text{J kcal/m}^2 \text{ h deg J}$  - součinitel přestupu tepla z termočlánkového drátu do kalici lázně,

$\sigma$   $\text{J m J}$  - obvod termočlánkového drátu,

$F$   $\text{J m}^2 J$  - průřez termočlánkového drátu,

$\lambda$   $\text{J kcal/m h deg J}$  - součinitel vedení tepla termočlánkového drátu,

$\Delta t = t - t_1 \text{ deg J}$  - rozdíl teplot mezi teplotou termočlánkového drátu v místě styku se vzorkem a teplotou lázně,

$$ml = \sqrt{\frac{\alpha \cdot \sigma}{\lambda \cdot F}} \quad .$$

Na druhé straně, teplo odvedené z povrchu vzorku do kalicí lázně je dáno Newtonovým zákonem :

$$Q_2 = \alpha_2 \cdot F \cdot \Delta t_2 \quad (3-2),$$

kde je

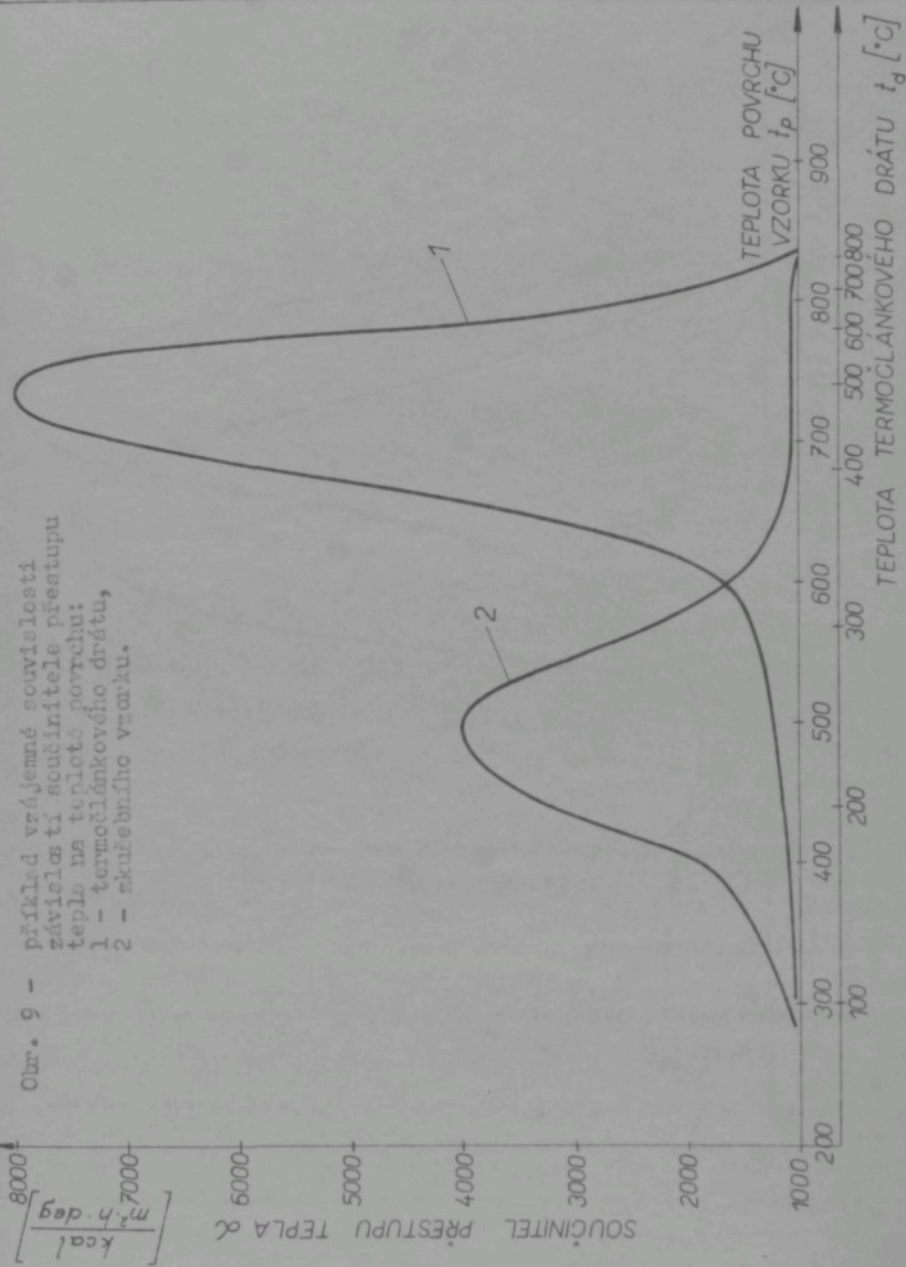
$\alpha_2$       [ $\text{kcal}/\text{m}^2\text{h deg}$ ] - součinitel přestupu tepla z povrchu vzorku do lázně,

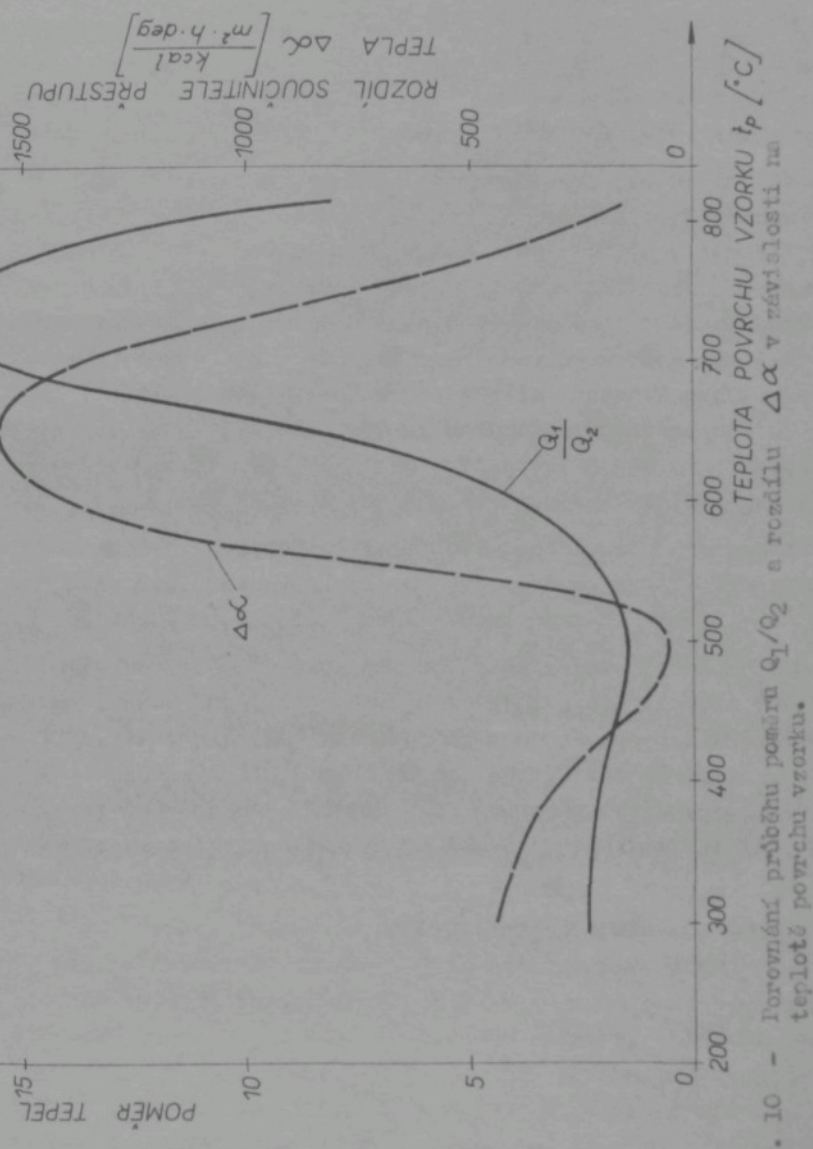
$F$       [ $\text{m}^2$ ] - plocha povrchu vzorku ekvivalentní průřezu termočlánkového drátu,

$\Delta t_2 = t_p - t_e$  [ $\text{deg}$ ] - rozdíl teplot mezi teplotou povrchu vzorku a teplotou lázně.

Jak již bylo ukázáno, rozhodujícím kriteriem pro rozbor chyby při měření teploty povrchu uvedeným způsobem je poměr  $Q_1 / Q_2$ . Je-li tento poměr roven 1, pak měřená teplota odpovídá skutečné teplotě a je-li různý 1, pak měřená teplota neodpovídá skutečné teplotě povrchu.

Provedme odhad závislosti součinitele přestupu tepla z povrchu ochlazovaného vzorku a z povrchu termočlánkového drátu k němu natupu přivářeného do kalicí lázně. Tyto závislosti, zkonstruované jednáck dle doporučených údajů a jednak dle vlastních měření a zkušenosti jsou provedeny na obr. 9. Křivky jsou vzájemně posunuty vzhledem k tomu, že termočlánkový drát se ochladí daleko rychleji než vzorek. Měřítko teploty termočlánkového drátu je odhadnuto ve vztahu k měřítku teploty povrchu vzorku. Nutno dodat, že tyto úvahy mají posloužit ke kvalitativnímu rozboru zkoumané otázky, takže nezáleží na tom, s jakou přesností je odhad těchto průběhů proveden. Na základě těchto závislostí byly určeny pro řadu bodů hodnoty  $Q_1$  a  $Q_2$  ( termočlánkový drát byl uvažován NiCr o  $\varnothing 1$  mm ). Na obr. 10. je pak vynesena závislost poměru  $Q_1 / Q_2$  na teplotě povrchu vzorku, která ukazuje, že v oblasti stabilního a nestabilního filmového varu ve vztahu k povrchu vzorku dosahuje značných hod-





Obr. 10 - Porovnání průběhu poměru  $Q_1/Q_2$  a rozdílu  $\Delta\alpha$  v závislosti na teplotě povrchu vzorku.

not. Při teplotě, které odpovídá maximální hodnotě součinitele přestupu tepla při ochlazování vzorku, poměr  $Q_1 / Q_2$  dosahuje svého minima a co je velmi pozoruhodné, že jeho hodnota se blíží 1. V oblasti bublinkového varu poměr  $Q_1 / Q_2$  opět narůstá, avšak zdaleka nedosahuje hodnot oblasti filmového varu.

Dle této závislosti můžeme soudit, že při měření povrchové teploty vzorku (při jeho ochlazování) pomocí termočlánku, vytvořeného drátem NiCr a vlastním vzorkem (přičemž termočlánkový drát je k vzorku natupo přivařen), největší odchylka mezi měřenou a skutečnou teplotou povrchu vzorku bude v oblasti filmového varu, menší pak v oblasti bublinkového varu a minimální bude při teplotách, odpovídajících maximální hodnotě součinitele přestupu tepla. V případě použití mětalu přivařeného drátu stříbrného bude poměr  $Q_1 / Q_2$  méně příznivý, neboť  $Q_1$  je přímoúměrné  $\sqrt{\lambda}$  (pro NiCr je asi 20, zatímco  $\lambda$  stříbra je 360).

Tento způsob měření povrchové teploty se může použít pouze pro relativní posouzení vlivu teploty nebo rychlosti proudění kalící lázně na rychlosť ochlazování povrchu vzorku.

Rozbor způsobu dle obr. 8b vede k řešení dle 8c, kde termočlánkový drát sice odvádí totéž teplo  $Q_1$ , ale vzhledem k tomu, že teplý spoj je uskutečněn na ploše asi 100x větší než je průřez drátu, předpokládá se, že měřená teplota je blízká skutečné teplotě povrchu díky tomu, že většina plošky teplého spoje není ovlivněna odvedeným teplem a tudíž má teplotu povrchu vzorku.

Na povrchu vzorku se provede drážka o hloubce 0,1 až 0,2 mm do níž se naváří vrstva termočlánkového drátu, který spolu se vzorkem vytvoří termočlánek. V ČS 117 je uvedeno použití termočlánkového drátu z technicky čistého stříbra. Stříbro však má bod tání 960 °C, takže pro dlouhodobý provoz pro teploty nad 800 °C není vhodné, neboť může snadno dojít k porušení drátu ve spoji. Proto autor odzkoušel použití NiCr na místo stříbra z termočlánku NiCr - Ni. Tato volba skýtala jisté výhody, avšak

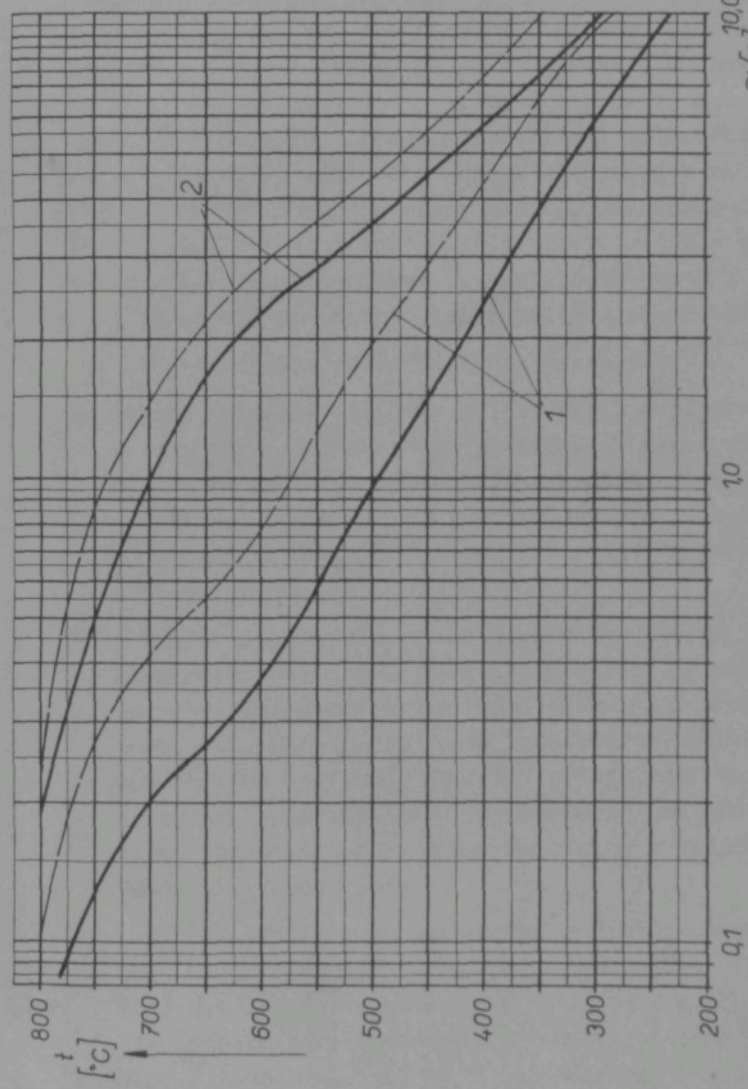
současně měla i své nevýhody. Výhodou je to, že NiCr, jak již bylo ukázeno, má mnohem menší součinitel vedení tepla než stříbro, takže odvedené teplo drátem bude několikanásobně menší a také to, že součinitel vedení tepla NiCr a 17 255 je prakticky stejný, takže v měřených místech nedojde v důsledku navražení materiálu NiCr k narušení teplotního pole. Nevýhodou však je, že teplota tání NiCr je přibližně stejná jako materiálu vzorku 17 255, takže při navražení NiCr do drážky může dojít k vytvoření slitiny, která nemusí zaručit realisaci teplého spoje na předpokládané ploše.

Z tohoto důvodu bylo provedeno pokusné měření průběhu povrchové teploty při ochlazování vzorku průměr 15 mm z teploty  $840^{\circ}\text{C}$  v oleji OL-J4 o teplotě  $20^{\circ}\text{C}$  při rychlostech 0,5 a 1,0 m/s pomocí termočlánků :

- 1) niklichromový termočlánkový drát Ø 1 mm natupo přivářen k nerez vzorku,
- 2) niklichromem zavařena drážka dle způsobu obr. 8c .

Porovnání výsledků měření je uvedeno na obr. 11. Způsob ad1) vykazuje mnohem rychlejší pokles teploty než způsob ad 2). Zde je však nutno vzít v úvahu, že v důsledku zavaření drážky NiCr o hloubce 0,2 mm, měřená teplota odpovídá zřejmě střední teplotě tohoto objemu. Vlivem navražení tloušťky vznikne pro případ ochlazování v oleji odchylka měřené teploty od skutečné povrchové řádově  $10^{\circ}\text{C}$ , což však nemá podstatný vliv, neboť při srovnání obou způsobů, měřená teplota způsobem ad 1) vykazuje odchylky až  $200^{\circ}\text{C}$  oproti způsobu ad 2). Při použití stříbra bude teplotní spád na navražené tloušťce řádově menší než  $1^{\circ}\text{C}$ .

Způsob ad 2) vykazuje zpoždění oproti ad 1), z čehož bychom na první pohled mohli usoudit, že tento způsob je vhodný. Provedeným srovnáním však ještě není dokázáno, že takto měřená teplota je shodná se skutečnou teplotou povrchu. Pro tento rozbor byl zhodoven termočlánek dle způsobu obr. 8c pomocí NiCr a pomocí Ag se vzorkem s AKC 17 255 o Ø 30 mm. Dle průběhu povrchové teploty obou způsobů pro případ ochlazení vzorku v oleji OL-J4 za shodných

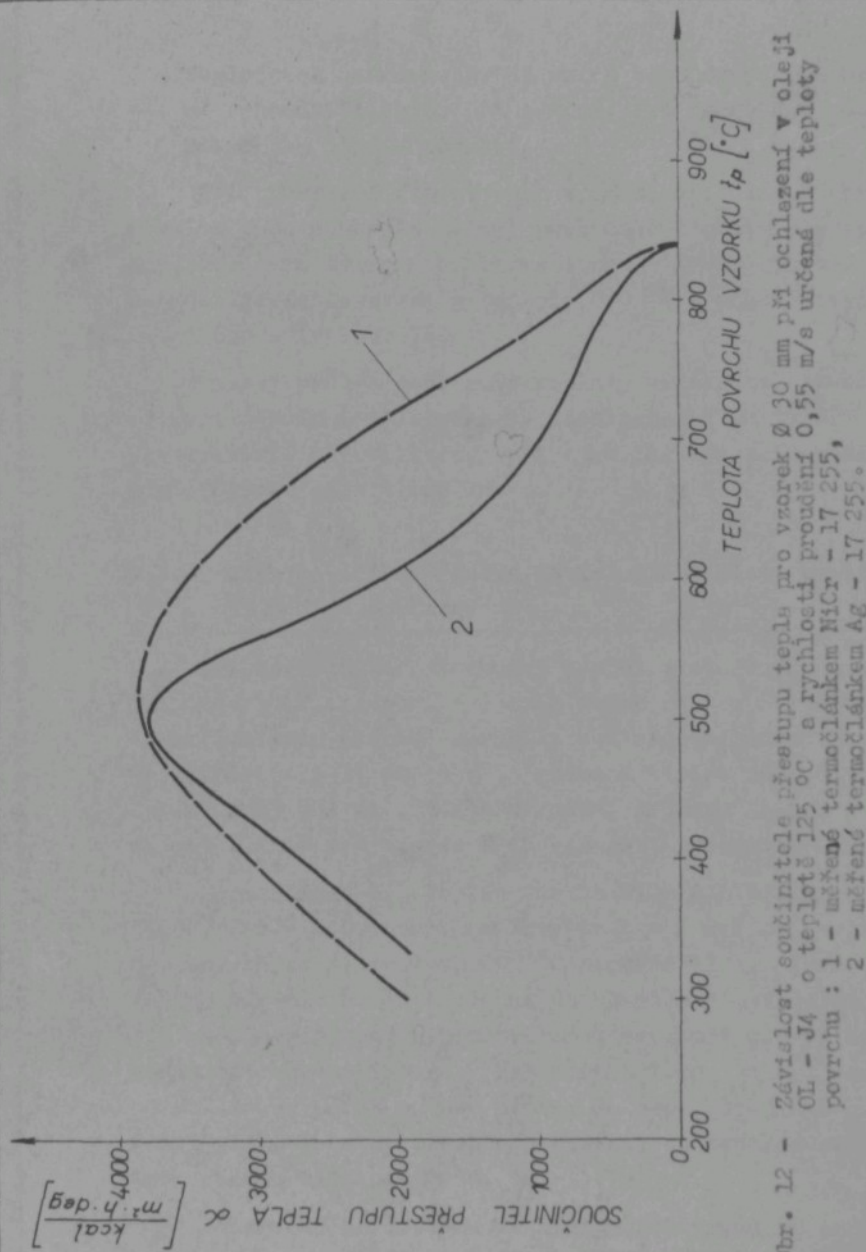


Obr. 11 - Porovnání výsledků měření povrchové teploty vzorku Ø 15 mm pomocí termočlánku dle způsobu obr. 6b a 8c s použitím drátu NiCr : 1 - drát přiveden na tvar, 2 - drátem NiCr zavřeno drážka, při ochlazování vzorku v oleji O1 - J4 při teplotě 200 C a rychlosti proudění 0,5 m/s (—) a 1,0 m/s (—).

podmínek ( teplota oleje  $125^{\circ}\text{C}$ , rychlosť oleja  $0,53 \text{ m/s}$  ) byla stanovena ( metodou popsanou v jedné z dalších kapitol ) závislost součinitele přestupu tepla na teplotě povrchu vzorku ( viz obr. 12 ). Zde závislost získaná dle průběhu povrchové teploty pro NiCr oproti závislosti získané dle průběhu povrchové teploty pro Ag vykazuje značný rozdíl v oblasti filmového varu, menší pak v oblasti bublinkového varu a minimální v okolí teploty povrchu, kde  $\alpha$  dosahuje svého maxima. Srovnáme-li průběh závislosti rozdílů hodnot součinitelů přestupu tepla  $\Delta\alpha$  dle obr. 12 na teplotě povrchu vzorku, se závislostí poměru  $Q_1 / Q_2$  ( viz obr. 10 ), vidíme značnou podobnost jejich průběhů.

Z provedeného rozboru plynou tyto závěry :

- 1) měření povrchové teploty při rychlých teplotních změnách pomocí termočlánku natupo přivařeného k povrchu měřeného vzorku pro získání časového průběhu skutečné teploty není vhodné. Tohoto způsobu může být použito jen pro přibližné relativní posouzení ochlazování za různých vnějších podmínek jednoho a téhož vzorku;
- 2) ani měření povrchové teploty způsobem obr. 8c při použití termočlánkového drátu NiCr nezaručuje měření skutečné teploty povrchu, což plynne ze srovnání závislostí součinitele přestupu tepla ( viz obr. 12 ). Tento způsob sice mnohem lépe než způsob obr. 8b vystihuje skutečný průběh povrchové teploty, avšak jeho použití lze opět doporučit jen pro přibližné relativní posouzení ochlazování za různých vnějších podmínek jednoho a téhož vzorku ;
- 3) nejlepší výsledky ze zkoumaných způsobů vykazuje způsob dle obr. 8c při použití termočlánku Ag-17 255. Průběh závislosti součinitele přestupu tepla na teplotě povrchu vzorku určený dle průběhu povrchové teploty popsaným způsobem se již dobře shoduje s průběhy křivek varu doporučovaných v literatuře. Tato shoda je současně důkazem vhodnosti použití tohoto způsobu pro určení průběhu skutečné teploty povrchu při rychlých



teplotních změnách. Avšak ani u tohoto způsobu nelze přesně vyhodnotit chyby při měření. Pro praktické použití je možno jej plně doporučit.

Při provedení experimentu v rámci kandidátské práce bylo použito obou možností měření povrchové teploty dle způsobu obr. 8c. Při tom pomocí termočlánku NiCr-17 255 bylo provedeno měření při ochlazování z teploty  $840^{\circ}\text{C}$  a pomocí termočlánku Ag-17 255 z teploty  $780^{\circ}\text{C}$ .

Časový průběh povrchové teploty vzorků byl stanoven pomocí oscilografu ( třísmyškový oscilograf 3 OS fy RFT - Německá demokratická republika ), při několika násobném zesílení termoelektrické síly termočlánku.

### 3.1.2 Technika měření časové závislosti teploty uvnitř vzorků při jejich ochlazování

Při volbě měřící techniky teplot v uvedených místech průřezu vzorku ( viz obr. 6 ) bylo dbáno na to, aby otvory pro termočlánky co nejméně narušily celistvost hmoty vzorku. Proto ve vzdálenosti 15 mm od míst snímání teplot jsou otvory pro termočlánky  $\varnothing 2$  mm , takže narušení průřezu je 5,3 % pro vzorek V1 až 0,25 % pro vzorek V5, což jest příznivé.

Termočlánek byl tvořen drátem NiCr o  $\varnothing 0,2$  mm a drátem AKC 17 255 o  $\varnothing 0,3$  mm ( niklový drát o  $\varnothing 0,2$  mm se pro více-násobný ohřev na teplotu  $850^{\circ}\text{C}$  neosvědčil ). Termočlánkové dráty byly uloženy v isolaci dvoukspiláře o vnějším průměru 2,0 mm a teply spoj byl přiveřen k vzorku v ose vrtání pomocí kondensátorového výboje. Vzhledem k tomu, že byl použit tenký termočlánkový drát a také proto, že teply spoj byl přiveřen k materiálu vzorku, lze předpokládat, že tepelná setrváčnost termočlánku bude nepatrná.

Isoleované termočlánkové dráty jsou vyvedeny ochrannou trubkou ( obr. 6 ), na jejímž konci byla upevněna tepelně iso-

lovaná svorkovnice, kde se nacházel studený spoj termočlánků.

Teploty vzorku při jeho ochlazování byly registrovány pomocí třímístného registračního přístroje Rg 380 ( Metra-Blansko ) s kompenzačními zesilovači Z 10. Třída přesnosti přístroje je 1,5 %. Před jeho použitím byla prověřena použitelnost pro rychlosť ochlazování odpovídající řešenému případu. Pokusy potvrdily možnost jeho použití.

Teploty ve všech měřených místech vzorku byly registrovány současně. Kombinace osciloskopu s registračním přístrojem má výhody i nevýhody. Hlavní výhoda je v tom, že mohla být volena vhodná rychlosť posudu záznamu zvlášť pro povrchovou teplotu a zvlášť pro teploty uvnitř vzorku. Pro záznam povrchové teploty byla volena rychlosť posudu osciloskopického papíru 21,4 mm/s a pro záznam teploty uvnitř vzorku 1,7 mm/s.

Nevýhodou této kombinace je to, že přesnost měření povrchové teploty a teplot uvnitř vzorku není stejná a dále, že na záznamu registračního přístroje musel být zaznamenán okamžik, kdy olej dosáhl úrovně měřeného průřezu. Impuls pro záznam tohoto okamžiku byl dán zvláštním termočlánkem, který krátce poté byl odpojen, takže neovlivnil plynulosť záznamu.

### 3.2. Technika měření parametrů kalicí lázně a kalicí teploty vzorků

Rychlosť ochlazování vzorků byla sledována v závislosti na teplotě a rychlosti proudění lázně při jejich ochlazování z teploty 840 °C a v některých případech z teploty 780 °C.

Teplota lázně byla měřena platinovým odporovým teploměrem Pt 100  $\Omega$ , napojeným na ukazatel se stupnicí ve stupních C. Přesnost odečtu činila  $\pm 1,5 \%$ . Základní měření bylo provedeno při středních teplotách lázně:

u oleje OL-J4            25, 75 a 125 °C a  
u oleje OVB-31            50, 100 a 145 °C .

Dodatek k odstavci 3.2

Zkušební vzorky byly ohřívány na kalici teplotu v elektrické laboratorní peci muflové typu MV-2, ovládané padáčkovým regulátorem teploty ( třída přesnosti 1,5 % ). Požadovaná kalici teplota vzorků byla kontrolována pomocí termočlánků, umístěných uvnitř vzorků přístrojem o třídě přesnosti 0,5 %, takže je možno předpokládat, že celková chyba v nastavení kalici teploty nepřesáhla  $\pm (1,0 + 1,5) \%$ .

Při přenosu vzorků z pece do kalici šachty poklesla jejich teplota povrchu asi o  $(10 + 20)^\circ\text{C}$  pro vzorek V1 a o  $(5 + 10)^\circ\text{C}$  pro vzorek V5. Tento fakt byl vzat v úvahu při určení přesnosti měření teploty povrchu.

*Pokračuje dodatek k odstavci 3.2*

4. Zhodnocení výsledků měření

Rozsah provedených měření je patrný z přehledné tabulky č.3. Tabulka obsahuje průměr a délku zkušebního vzorku, druh oleje, jeho teplotu a rychlosť proudění, počáteční ( kalici ) teplotu vzorku, průměr kalici vany a delší údaje, které nutno vysvětlit podrobněji. Jsou to ekvivalentní průměr, poměr délky vzorku k ekvivalentnímu průměru, Reynoldsovo kriteriální číslo a korekční součinitel  $E_1$  .

Pro řešený případ podélného obtékání jednotlivého válce ve válcové trubce nuceným proudem lázně, je za charakteristický roz- měr doporučován  $\sqrt{18}$  / ekvivalentní hydraulický průměr, jež je dán vztahem :

$$d_{ekv} = \frac{4F}{U} \quad (4-1),$$

kde  $F \text{ [m}^2\text{]}$  je volný průřez a  $U \text{ [m]}$  je smočený obvod.

Z toho plyne konkrétní vyjádření ekvivalentního průměru ve tvaru:

$$d_{ekv} = D - d \quad (4-2).$$

Tébula č. 3.

Pořadové číslo měření	Průměr zkoušebního vzorku	Délka zkoušebního vzorku	Druh káličí lázně	Počáteční teplota vzorku		Teplota káličí 1670 °C	Rychlosť prouženja káličí lázně	D mm	Průměr káličí výv.	$\frac{d_{ekv.}}{mm} = D-d$	Ekvivalentní průměr	Poměr $\frac{l}{d_{ekv.}}$	Re Reynoldsovo číslo	$\epsilon_1 = f(\frac{l}{d_{ekv.}})$
				d mm	l mm									
1	15	75	OL-J4	840	25	0	-	-	-	-	-	-	-	-
2	15	75	OL-J4	840	25	0,197	102	87	0,862	122	1,92			
3	15	75	OL-J4	840	25	0,47	67	52	1,44	175	1,78			
4	15	75	OL-J4	840	25	0,98	49	34	2,21	248	1,67			
5	15	75	OL-J4	840	75	0	-	-	-	-	-			
6	15	75	OL-J4	840	75	0,19	102	87	0,862	1200	1,92			
7	15	75	OL-J4	840	75	0,45	67	52	1,44	1700	1,78			
8	15	75	OL-J4	840	75	0,94	49	34	2,21	2300	1,67			
9	15	75	OL-J4	840	125	0	-	-	-	-	-			
10	15	75	OL-J4	840	125	0,19	102	87	0,862	4030	1,92			
11	15	75	OL-J4	840	125	0,45	67	52	1,44	5720	1,78			
12	15	75	OL-J4	840	125	0,94	49	34	2,21	7800	1,67			
13	15	75	OVB-31	840	50	0	-	-	-	-	-			
14	15	75	OVB-31	840	50	0,20	102	87	0,862	24,9	1,92			
15	15	75	OVB-31	840	50	0,475	67	52	1,44	35,3	1,78			
16	15	75	OVB-31	840	50	0,99	49	34	2,21	48,0	1,67			
17	15	75	OVB-31	840	100	0	-	-	-	-	-			
18	15	75	OVB-31	840	100	0,195	102	87	0,862	319	1,92			
19	15	75	OVB-31	840	100	0,46	67	52	1,44	435	1,78			
20	15	75	OVB-31	840	100	0,96	49	34	2,21	595	1,67			

Pokračování tebulky č. 2.

21	15	75	OVB-31	840	145	0	-	-	-	-	-
22	15	75	OVB-31	840	145	0,195	102	87	0,862	1160	1,92
23	15	75	OVB-31	840	145	0,46	67	52	1,44	1630	1,78
24	15	75	OVB-31	840	145	0,96	49	34	2,21	2230	1,67
25	20	100	OL-J4	840	25	0	-	-	-	-	-
26	20	100	OL-J4	840	25	0,20	102	82	1,22	117	1,83
27	20	100	OL-J4	840	25	0,49	67	47	2,13	165	1,68
28	20	100	OL-J4	840	25	1,00	49	29	3,45	207	1,54
29	20	100	OL-J4	840	75	0	-	-	-	-	-
30	20	100	OL-J4	840	75	0,192	102	82	1,22	1140	1,83
31	20	100	OL-J4	840	75	0,47	67	47	2,13	1600	1,68
32	20	100	OL-J4	840	75	0,96	49	29	3,45	2010	1,54
33	20	100	OL-J4	840	125	0	-	-	-	-	-
34	20	100	OL-J4	840	125	0,192	102	82	1,22	3840	1,83
35	20	100	OL-J4	840	125	0,47	67	47	2,13	5400	1,68
36	20	100	OL-J4	840	125	0,96	49	29	3,45	6800	1,54
37	20	100	OVB-31	840	50	0	-	-	-	-	-
38	20	100	OVB-31	840	50	0,202	102	82	1,22	23,7	1,83
39	20	100	OVB-31	840	50	0,495	67	47	2,13	33,2	1,68
40	20	100	OVB-31	840	50	1,01	49	29	3,45	41,8	1,54
41	20	100	OVB-31	840	100	0	-	-	-	-	-
42	20	100	OVB-31	840	100	0,197	102	82	1,22	294	1,83
43	20	100	OVB-31	840	100	0,485	67	47	2,13	415	1,68
44	20	100	OVB-31	840	100	0,99	49	29	3,45	522	1,54
45	20	100	OVB-31	840	145	0	-	-	-	-	-
46	20	100	OVB-31	840	145	0,197	102	82	1,22	1100	1,83
47	20	100	OVB-31	840	145	0,485	67	47	2,13	1560	1,68
48	20	100	OVB-31	840	145	0,99	49	29	3,45	1960	1,54
49	30	150	OL-J4	840	25	0,21	102	72	2,08	108	1,69
50	30	150	OL-J4	840	25	0,558	67	37	4,06	147	1,50
51	30	150	OL-J4	840	25	1,02	53,5	23,5	6,38	171	1,39
52	30	150	OL-J4	840	75	0,20	102	72	2,08	1040	1,69
53	30	150	OL-J4	840	75	0,535	67	37	4,06	1430	1,50
54	30	150	OL-J4	840	75	0,975	53,5	23,5	6,38	1660	1,39

Pokračování tabulky č. 3.

55	30	150	OL-J4	840	125	0,20	102	72	2,08	3510	1,69
56	30	150	OL-J4	840	125	0,535	67	37	4,06	4820	1,50
57	30	150	OL-J4	840	125	0,975	53,5	23,5	6,38	5600	1,39
58	30	150	OVB-31	840	50	0,222	102	72	2,08	22,8	1,69
59	30	150	OVB-31	840	50	0,56	67	37	4,06	29,4	1,50
60	30	150	OVB-31	840	50	1,03	53,5	23,5	6,38	34,5	1,39
61	30	150	OVB-31	840	100	0,205	102	72	2,08	268	1,69
62	30	150	OVB-31	840	100	0,55	67	37	4,06	370	1,50
63	30	150	OVB-31	840	100	1,00	53,5	23,5	6,38	470	1,39
64	30	150	OVB-31	840	145	0,205	102	72	2,08	1010	1,69
65	30	150	OVB-31	840	145	0,55	67	37	4,06	1400	1,50
66	30	150	OVB-31	840	145	1,00	53,5	23,5	6,38	1610	1,39
67	50	180	OL-J4	840	50	0,316	121	71	2,54	641	1,63
68	50	180	OL-J4	840	50	0,478	102	52	3,46	710	1,54
69	50	180	OL-J4	840	50	0,864	83	33	5,45	815	1,42
70	50	180	OL-J4	840	100	0,316	121	71	2,54	3250	1,63
71	50	180	OL-J4	840	100	0,478	102	52	3,46	3600	1,54
72	50	180	OL-J4	840	100	0,864	83	33	5,45	4150	1,42
73	50	180	OL-J4	840	150	0,316	121	71	2,54	7450	1,63
74	50	180	OL-J4	840	150	0,478	102	52	3,46	8300	1,54
75	50	180	OL-J4	840	150	0,864	83	33	5,45	9500	1,42
76	70	180	OL-J4	840	50	0,195	121	51	3,53	284	1,53
77	70	180	OL-J4	840	50	0,41	121	51	3,53	597	1,53
78	70	180	OL-J4	840	50	0,96	83	13	13,8	356	1,20
79	70	180	OL-J4	840	110	0,195	121	51	3,53	1810	1,53
80	70	180	OL-J4	840	110	0,41	121	51	3,53	3800	1,53
81	70	180	OL-J4	840	110	0,96	83	13	13,8	2270	1,20
82	70	180	OL-J4	840	165	0,195	121	51	3,53	3500	1,53
83	70	180	OL-J4	840	165	0,41	121	51	3,53	7320	1,53
84	70	180	OL-J4	840	165	0,96	83	13	13,8	4380	1,20
85	15	75	OL-J4	780	25	0	-	-	-	-	-
86	15	75	OL-J4	780	25	0,197	102	87	0,862	122	1,92
87	15	75	OL-J4	780	25	0,47	67	52	1,44	175	1,78

Pokračování tabulky č. 3.

88	15	75	OL-J4	780	25	0,98	49	34	2,21	248	1,67
89	15	75	OL-J4	780	75	0	-	-	-	-	-
90	15	75	OL-J4	780	125	0	-	-	-	-	-
91	15	75	OL-J4	780	125	0,19	102	87	0,862	1030	1,92
92	15	75	OL-J4	780	125	0,45	67	52	1,44	5720	1,78
93	15	75	OL-J4	780	125	0,94	49	34	2,21	7800	1,67
94	15	75	OVB-31	780	50	0	-	-	-	-	-
95	15	75	OVB-31	780	50	0,20	102	87	0,862	24,9	1,92
96	15	75	OVB-31	780	50	0,475	67	52	1,44	35,3	1,78
97	20	100	OL-J4	780	25	0	-	-	-	-	-
98	20	100	OL-J4	780	25	0,20	102	82	1,22	117	1,83
99	20	100	OL-J4	780	25	0,49	67	47	2,13	165	1,68
100	20	100	OL-J4	780	25	1,0	49	29	3,45	207	1,54
101	20	100	OL-J4	780	75	0	-	-	-	-	-
102	20	100	OL-J4	780	125	0	-	-	-	-	-
103	20	100	OL-J4	780	125	0,192	102	82	1,22	3840	1,83
104	20	100	OL-J4	780	125	0,47	67	47	2,13	5400	1,68
105	20	100	OL-J4	780	125	0,96	49	29	3,45	6800	1,54
106	20	100	OVB-31	780	50	0	-	-	-	-	-
107	20	100	OVB-31	780	50	0,202	102	82	1,22	23,7	1,83
108	20	100	OVB-31	780	50	0,495	67	47	2,13	33,2	1,68
109	20	100	OVB-31	780	50	1,01	49	29	3,45	41,8	1,54
110	20	100	OVB-31	780	100	0	-	-	-	-	-
111	20	100	OVB-31	780	100	0,197	102	82	1,22	294	1,83
112	20	100	OVB-31	780	100	0,485	67	47	2,13	415	1,68
113	20	100	OVB-31	780	100	0,99	49	29	3,45	522	1,54
114	20	100	OVB-31	780	145	0	-	-	-	-	-
115	20	100	OVB-31	780	145	0,197	102	82	1,22	1100	1,83
116	20	100	OVB-31	780	145	0,485	67	47	2,13	1560	1,68
117	20	100	OVB-31	780	145	0,99	49	29	3,45	1960	1,54
118	30	150	OL-J4	780	25	0	-	-	-	-	-
119	30	150	OL-J4	780	25	0,21	102	72	2,08	108	1,69
120	30	150	OL-J4	780	25	0,558	67	37	4,06	147	1,50

Pokračování tabulky č. 3.

121	30	150	OL-J4	780	25	1,02	53,5	23,5	6,38	171	1,39
122	30	150	OL-J4	780	75	0	-	-	-	-	-
123	30	150	OL-J4	780	125	0	-	-	-	-	-
124	30	150	OL-J4	780	125	0,20	102	72	2,08	3510	1,69
125	30	150	OL-J4	780	125	0,533	67	37	4,06	4820	1,50
126	30	150	OL-J4	780	125	0,975	53,5	23,5	6,38	5600	1,39
127	30	150	OVB-31	780	50	0	-	-	-	-	-
128	30	150	OVB-31	780	50	0,222	102	72	2,08	22,8	1,69
129	30	150	OVB-31	780	50	0,56	67	37	4,06	29,4	1,50
130	30	150	OVB-31	780	50	1,03	53,5	23,5	6,38	34,5	1,39
131	30	150	OVB-31	780	100	0	-	-	-	-	-
132	30	150	OVB-31	780	100	0,205	102	72	2,08	268	1,69
133	30	150	OVB-31	780	100	0,55	67	37	4,06	370	1,50
134	30	150	OVB-31	780	100	1,00	53,5	23,5	6,38	470	1,39
135	30	150	OVB-31	780	145	0	-	-	-	-	-
136	30	150	OVB-31	780	145	0,205	102	72	2,08	1010	1,69
137	30	150	OVB-31	780	145	0,55	67	37	4,06	1400	1,50
138	30	150	OVB-31	780	145	1,00	53,5	23,5	6,38	1610	1,39

Poměr délky vzorku k ekvivalentnímu průměru a rovněž tak hodnotu Reynoldsova čísla je třeba znát pro určení korekčního součinitele  $E_t$ , kterým oprevujeme kriteriální rovnici sdílení tepla konvekcí  $\text{L} \sim 18 J$ , pro případ poměru  $l/d_{\text{dev}} < 50$ . Korekční součinitel je závislý na poměru  $l/d_{\text{dev}}$  a hodnotě Re. Hodnoty  $E_t$  jsou brány z  $\text{L} \sim 18 J$ .

Jak patrné z tabulky č. 3, provedené měření odpovídají převážně oblasti laminárního proudění a jen v některých případech proudění v přechodové oblasti.

Měření číslo 1 až 84 včetně jsou provedena pro počáteční teplotu vzorků  $840^{\circ}\text{C}$ . Pro tato měření jsou stanoveny závislosti průběhu teploty na čase pro povrch ( termočlánek pro povrchovou teplotu tvořen NiCr a materiálem vzorku dle způsobu obr. 8c), dále ve vzdálenosti  $a$  mm pod povrchem,  $R/2$  a  $R$  pro vzorky V1, V2 a V3 a pro povrch,  $R/2$  a  $R$  pro vzorky V4 a V5. Měření bylo provedeno pro oleje CL-J4 a CVB-31 v rozsahu patrném z tabulky č. 3.

Výsledky těchto měření jsou zpracovány do tabulek, viz příloha č. 2, tabulky III až VIII ( vzorek V1 ), příloha č. 3, tabulky IX až XIV ( vzorek V2 ), příloha č. 4, tabulky XV až XX ( vzorek V3 ), příloha č. 5, tabulky XXI až XXIII ( vzorek V4 ) a příloha č. 6, tabulky XXIV až XXVI ( vzorek V5 ).

Měření č. 85 až 138 včetně jsou provedena pro počáteční teplotu vzorků  $780^{\circ}\text{C}$ . U těchto měření byla sledována pouze povrchová teplota, přičemž povrchový termočlánek byl vytvořen Ag a materiálem vzorku dle způsobu obr. 8c, rovněž pro oba druhy olejů v rozsahu patrném z tabulky č. 3.

Výsledky těchto měření jsou zpracovány do tabulek, viz příloha č. 7, tabulky XXVII a XXVIII ( vzorek V1 ), příloha č. 8, tabulky XXIX a XXX ( vzorek V2 ), příloha č. 9, tabulky XXXI a XXXII ( vzorek V3 ).

Při měření teplotních průběhů vzniká rozptyl měření, který je hlavně způsobován labilností existence parního polštáře.

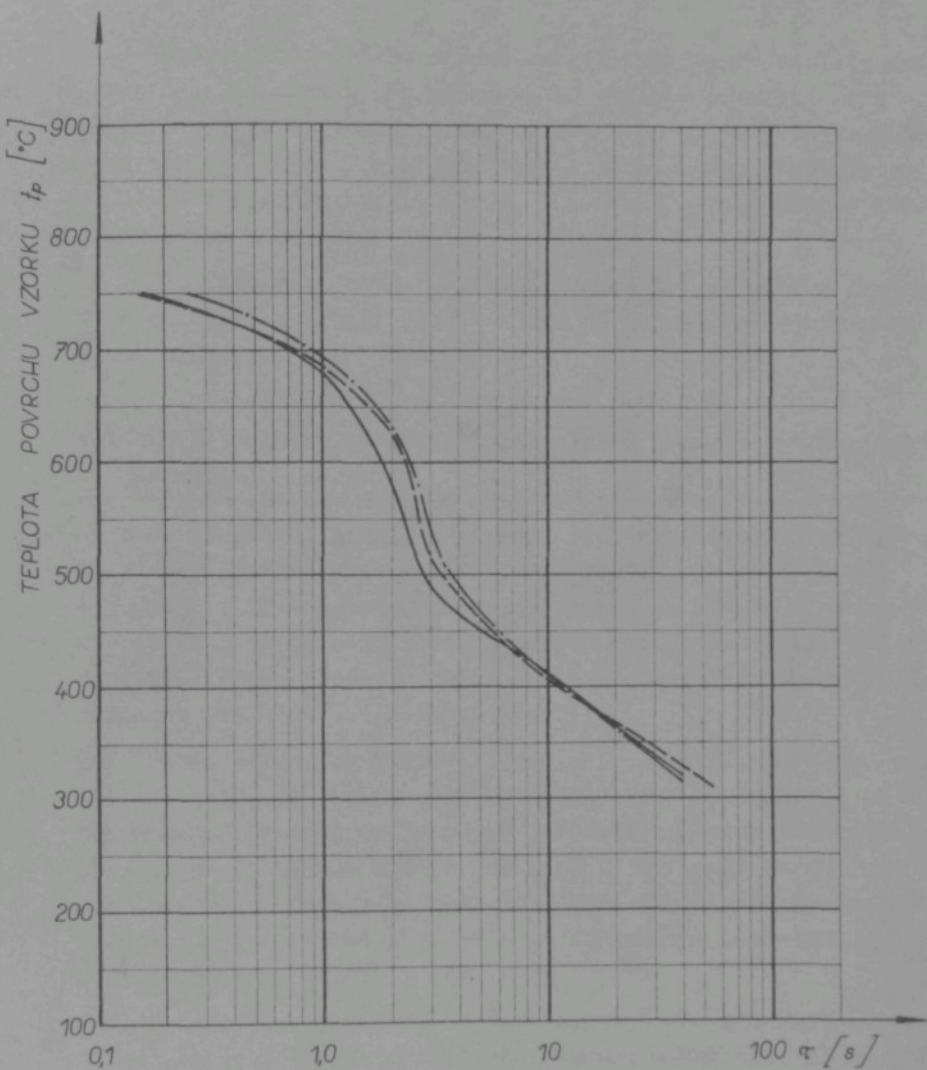
Na obrázku 13 je uvedeno opakování měření povrchové teploty vzorku V3 při jeho ochlazení z teploty  $780^{\circ}\text{C}$  v klidovém oleji OL-J4 o teplotě  $25^{\circ}\text{C}$ . ( Poznámka : ochlazení v klidové lázni bylo voleno z toho důvodu, že dle větší rozptyl měřených hodnot, než ochlazení v uspořádaném nuceném proudu, v důsledku působení dalších podmínek subjektivního rázu jako rychlosť ponoření vzorku do lázne, hlcoubka ponoření a další ). Jak plyně ze znázornění obr. 13, rozptyl měření je poměrně značný v oblasti existence parního polštáře, přičemž maximální hodnoty dosahuje v oblasti nestabilního parního polštáře mezi teplotou povrchu vzorku 500 až  $600^{\circ}\text{C}$ , kde rozdíl teploty činí téměř  $70^{\circ}\text{C}$ , což je více než 10 %. V oblasti bublinkového varu a čisté konvekce se rozptyl měření značně zmenšuje. Je zřejmé, že rozptyl povrchové teploty způsobí jistý rozptyl teplot i uvnitř vzorku, který však bude podstatně menší.

Z hlediska teorie regulerní fáze [13], režim regulerní fáze u neomezeného válce nastupuje po čase daném podmínkou  $Fo \geq 0,25$ . V našem případě to znamená po čase :

2,6 s	pro vzorek V1,
4,6 s	pro vzorek V2,
10,5 s	pro vzorek V3,
29,0 s	pro vzorek V4 a
56,5 s	pro vzorek V5.

Z toho plyně, že rozptyl povrchové teploty nebude mít podstatný vliv na rozptyl teploty jádra vzorku, neboť při tepelném zpracování nás zejména oblasti teplot jádra, jež převážně spadají již do režimu regulerní fáze ( viz výsledky měření ).

Dále pak je třeba vzít v úvahu, že parní polštář neulpívá na všech materiálech stejně. Tvrdí se, že na stříbře ulpívá parní polštář lépe, než na NiCr. To znamená, že při použití termočlánku Ag-17 255 může mít tento fakt vliv na přesnost měření povrchové teploty. Stanovení procenta chyby tímto způsobené je však prakticky vyloučeno. Je nutno se spokojit s tím, že dle [20] se těmto vlivům nepřisuzuje velký praktický význam.



Obr. 13 - Rozptyl měření povrchové teploty. Průběhy teplot odpovídejí ochlazení vzorku V3 z teploty 780 °C v klidové lázni (olej OL-J4) o teplotě 25 °C.

Závěrem možno říci, že u stanovení povrchové teploty není možno udat % chyby v určení skutečné teploty povrchu ( viz odstavec 3.1.1 ), pouze je možno udat % chyby ve stanovení měřené teploty. Toto procento, včetně příslušného rozptylu je možno předpokládat menší, než  $\pm 5,0\%$ . V určení času z oscilogramu chyba nepřesáhla 0,05 s.

Při stanovení teploty uvnitř vzorku lze počítat s chybou v určení teploty menší, než  $\pm 3\%$ . V určení času chyba nepřesáhla 0,5 s.

#### 4.1 Vliv rychlosti proudění kalici lázně na rychlosť ochlazování vzorků

Je všeobecně známo, a v praxi četnými zkouškami ověřeno, že s rostoucím pohybem kalici lázně roste její ochlazovací schopnost. Přitom pohybem se zde rozumí jakýkoliv druh pohybu chaotického či uspořádaného, který vyvodí slzku relativní rychlosť kaleného předmětu vůči lázni. Nejčastějším praktickým případem je kalení do klidové lázně.

Pojem kalení do klidové lázně je relativní, neboť kaleny předmět noříme do lázně určitou rychlosťí a obyčejně sž po úplném ponoření vzorku se jeho pohyb přeruší. Avšak ani v tomto případě není lázeň v absolutním klidu. Při ochlazování kaleného předmětu podél jeho povrchu proudí lázeň přirozeným, samovolným pohybem, jehož insensita je závislá na teplotním spádu mezi povrchem předmětu a lázní.

Z toho plyne, že kalení do klidové lázně může být děleno na dvě etapy. V první etapě jde vlastně o ochlazování ze určitého pohybu kaleného předmětu vůči lázni, přičemž rychlosť pohybu může být závislá na subjektivních faktorech. Ve druhé etapě dochází k určitému samovolnému pohybu lázně vůči kalenému předmětu dokud jeho teplota povrchu bude vyšší než je teplota lázně.

V našem případě je shoda směru nuceného proudění lázně se směrem pohybu vzorku vůči lázni v údobí první etapy ochlazování v klidové lázni.

Měření bylo provedeno pro rozsah rychlosti nuceného podélného obtékání vzorku kalící lázni od 0,2 do 1,0 m/s. Výměnné vložky kalící vany zkušebního zařízení ( viz odstavec 2.3 ) byly voleny tak, aby základní hodnoty rychlosti téměř pro všechny vzorky byly okolo 0,2, 0,5, 1,0 m/s. V mnoha případech bylo provedeno měření ochlazování vzorků v klidové lázni pro porovnání s nuceným uspořádaným prouděním.

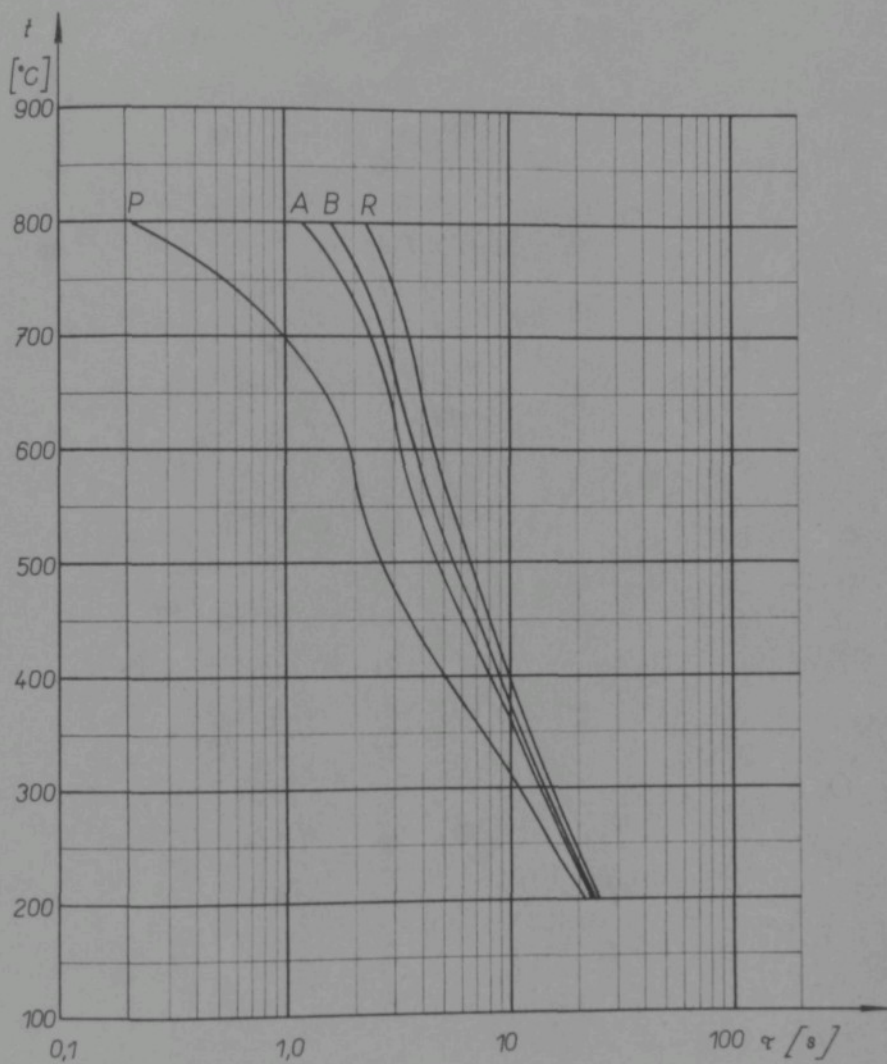
Pro ilustraci naměřených průběhů jsou na obrázcích uvedena tato měření :

Obr.14a	měření č. 7 ( viz tabulka č. 3 ),
Obr. 14b	měření č. 19,
Obr. 15a	měření č.31,
Obr. 15b	měření č.43,
Obr. 16a	měření č.53,
Obr. 16b	měření č.62,
Obr. 17	měření č.71,
Obr. 18	měření č.80 .

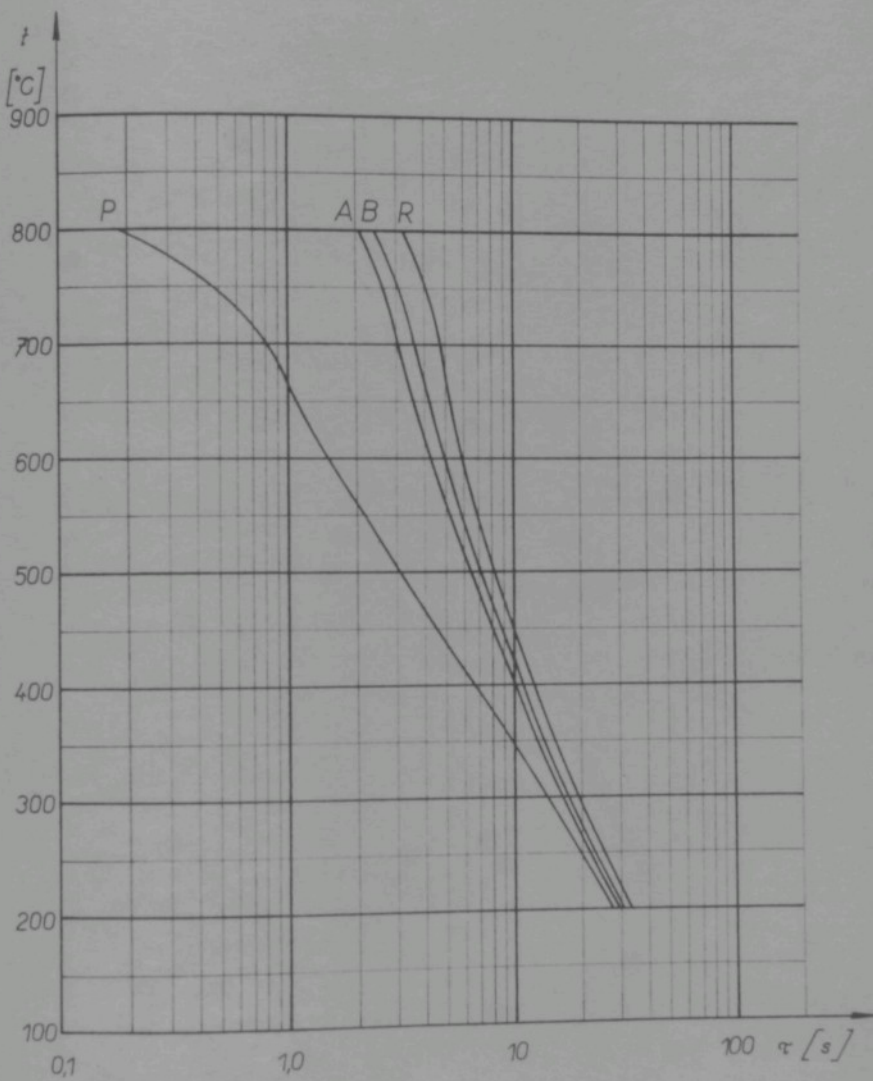
Jednotlivé křivky představují průběh teploty na povrchu vzorku ( křivka P ), ve vzdálenosti a mm pod povrchem ( křivka A ), ve vzdálenosti R/2 ( křivka B ), v ose vzorku ( křivka R ).

Nejdůležitější poznatky ze zkoumání vlivu rychlosti proudění kalící lázně na rychlosť ochlazování vzorků je možno shrnout do těchto závěrů :

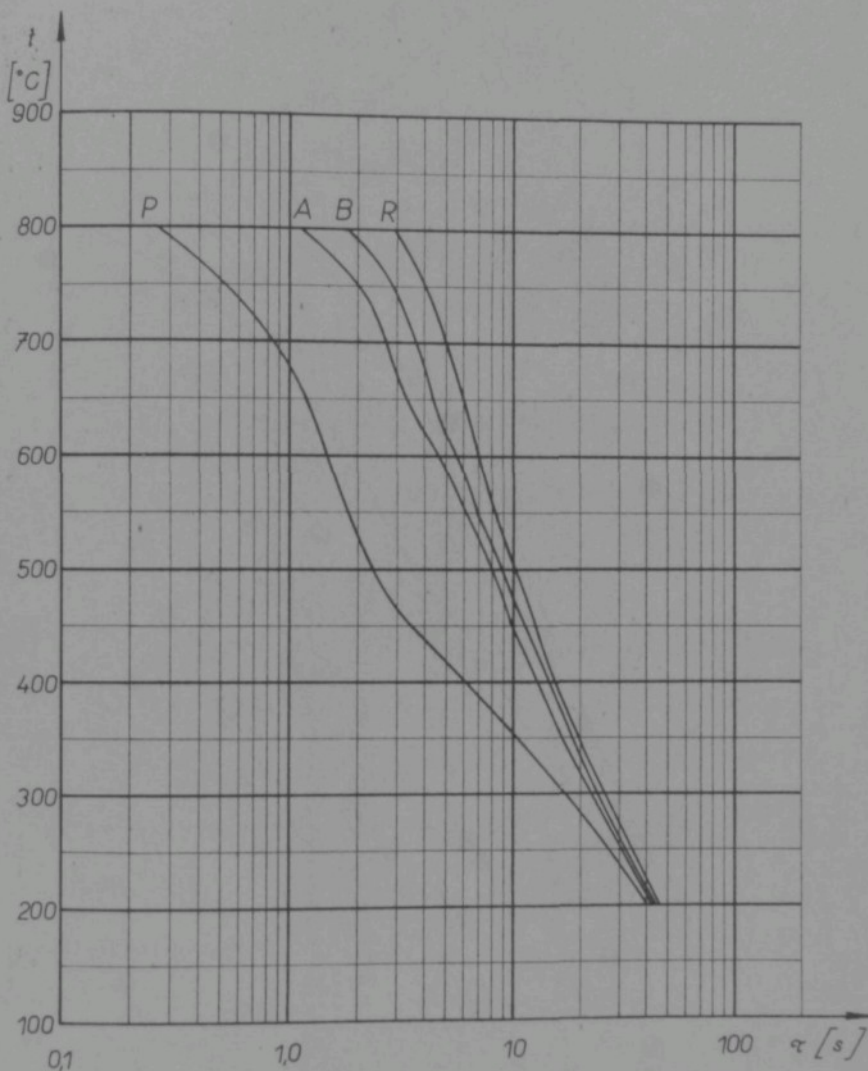
- 1) růst rychlosti nuceného uspořádaného proudění při podélném obtékání válce v celém průběhu ochlazování zvyšuje ochlazovací schopnost obou druhů olejů v celém rozsahu jejich pracovních teplot. Tento závěr je dokumentován průběhy povrchové teploty vzorků, přivedených na obrázcích č. 19 až 23



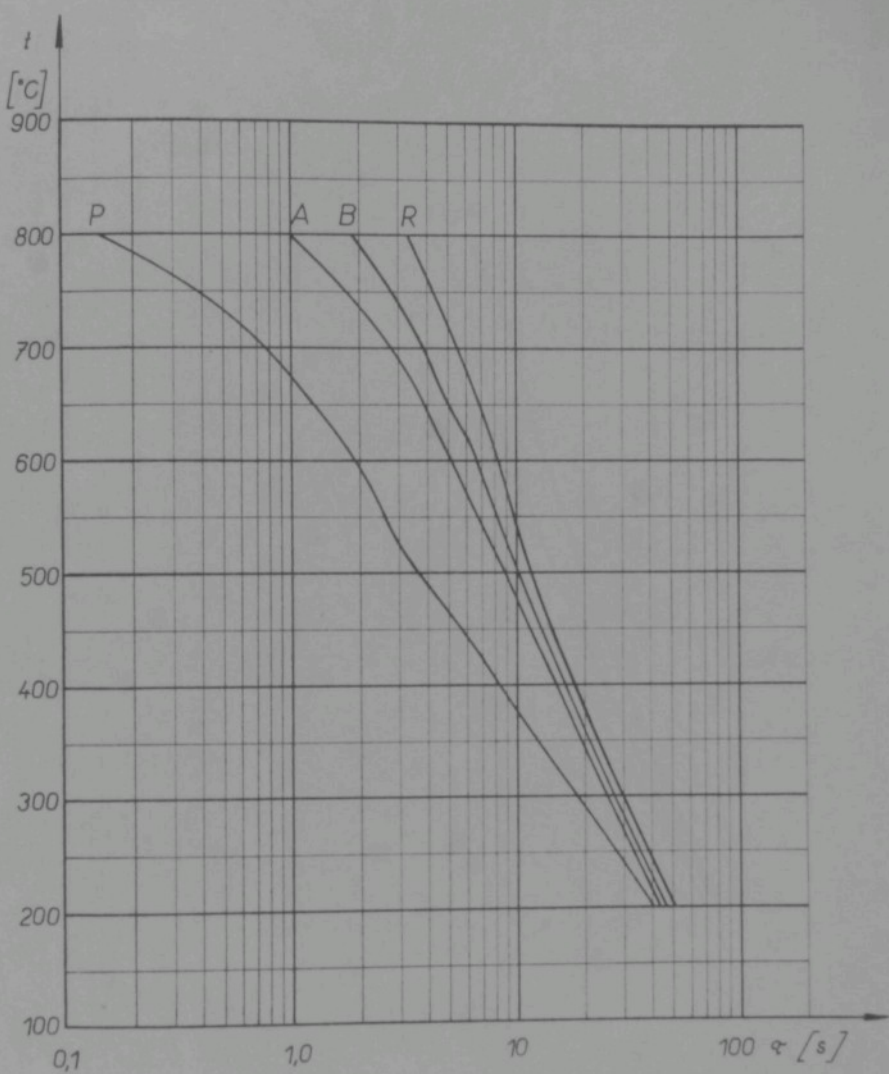
Obr. 14a - Průběh teploty v měřených místech vzorku Vl  
při jeho ochlazení v oleji OL-J4 o teplotě 75 °C  
a rychlosti 0,45 m/s.



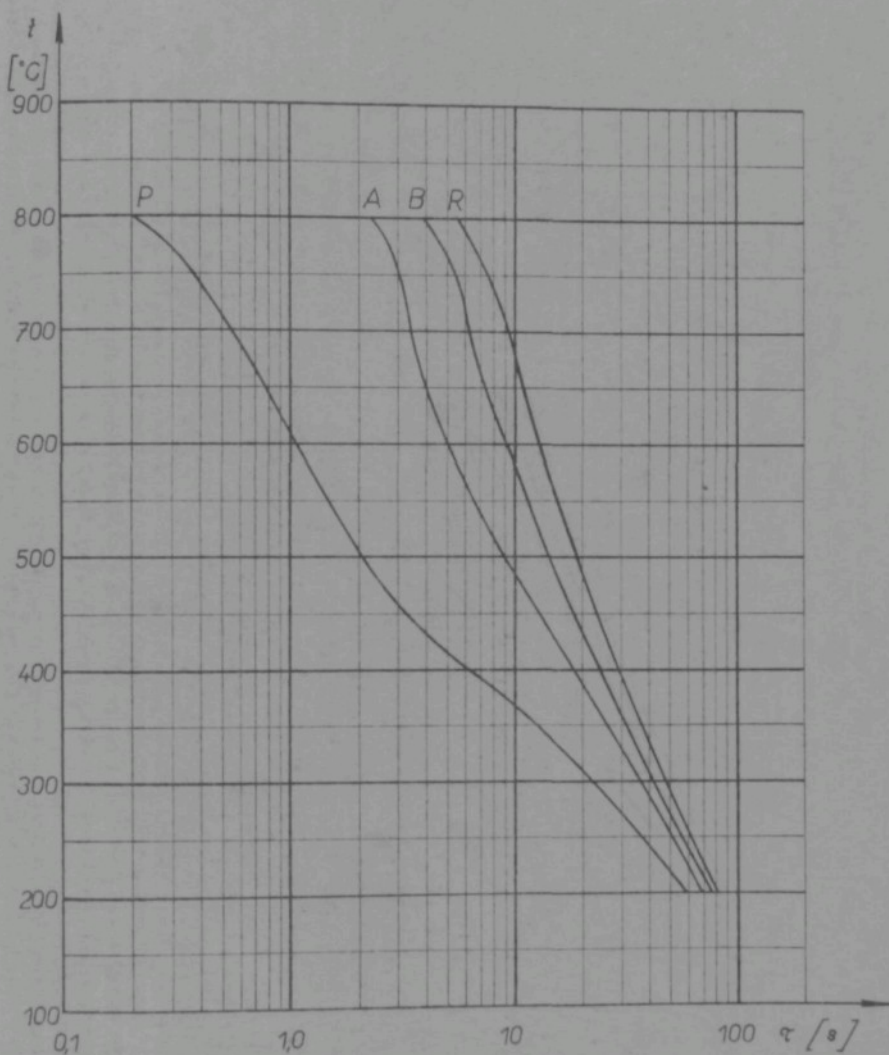
Obr. 14b - Průběh teploty v mřížených místech vzorku V1 při jeho ochlazení v oleji OVB-31 o teplotě 100 °C a rychlosti 0, 6 m/s.



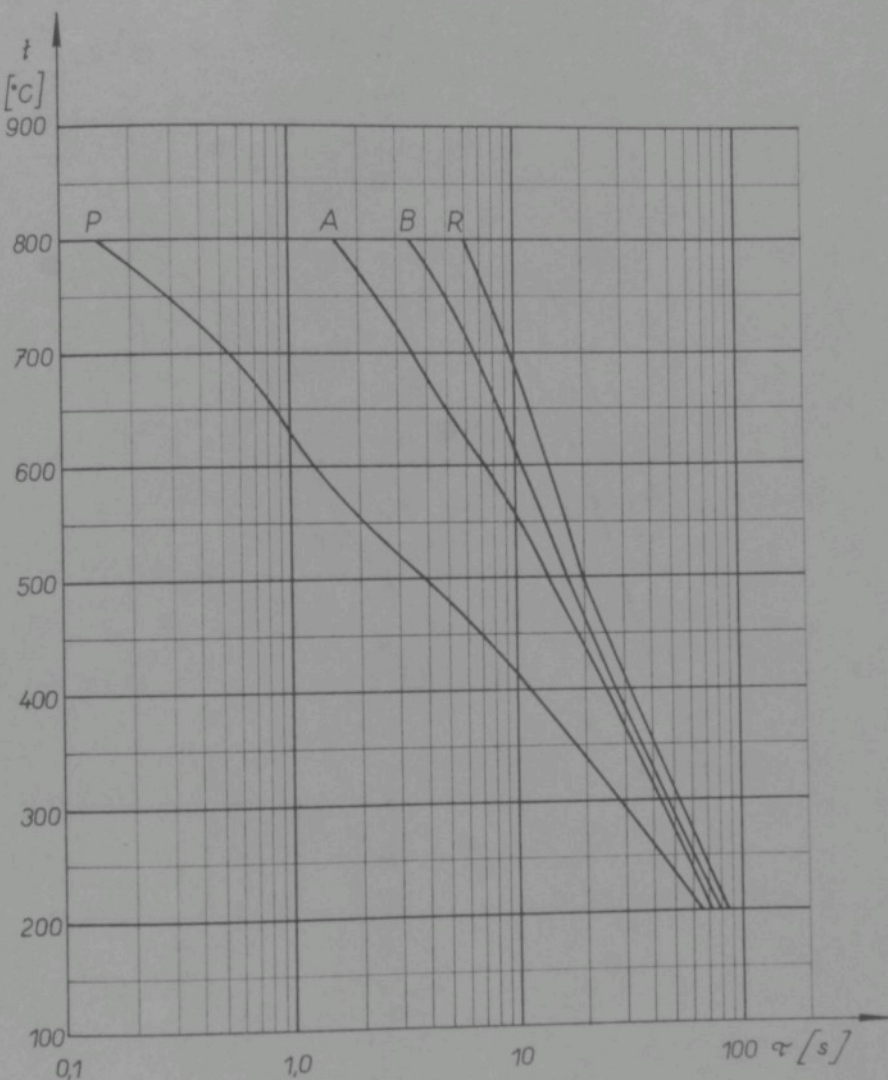
Obr. 15a - Průběh teploty v měřených místech vzorku V2 při jeho ochlazení v oleji OL-J4 o teplotě 75 °C s rychlosťí proudění 0,47 m/s.



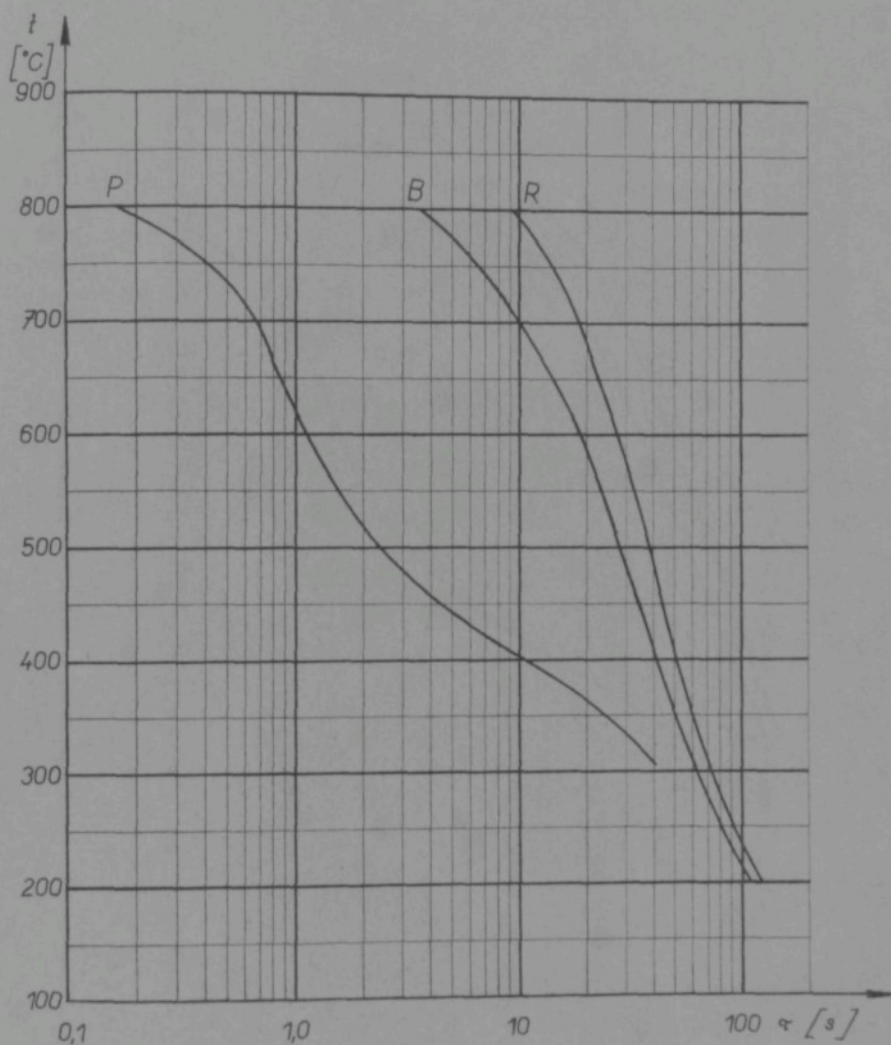
Obr. 15b - Průběh teploty v mřížených místech vzorku  
při jeho ochlazení v oleji CVB-31 o teplotě  
100 °C a rychlosti proudění 0,485 m/s.



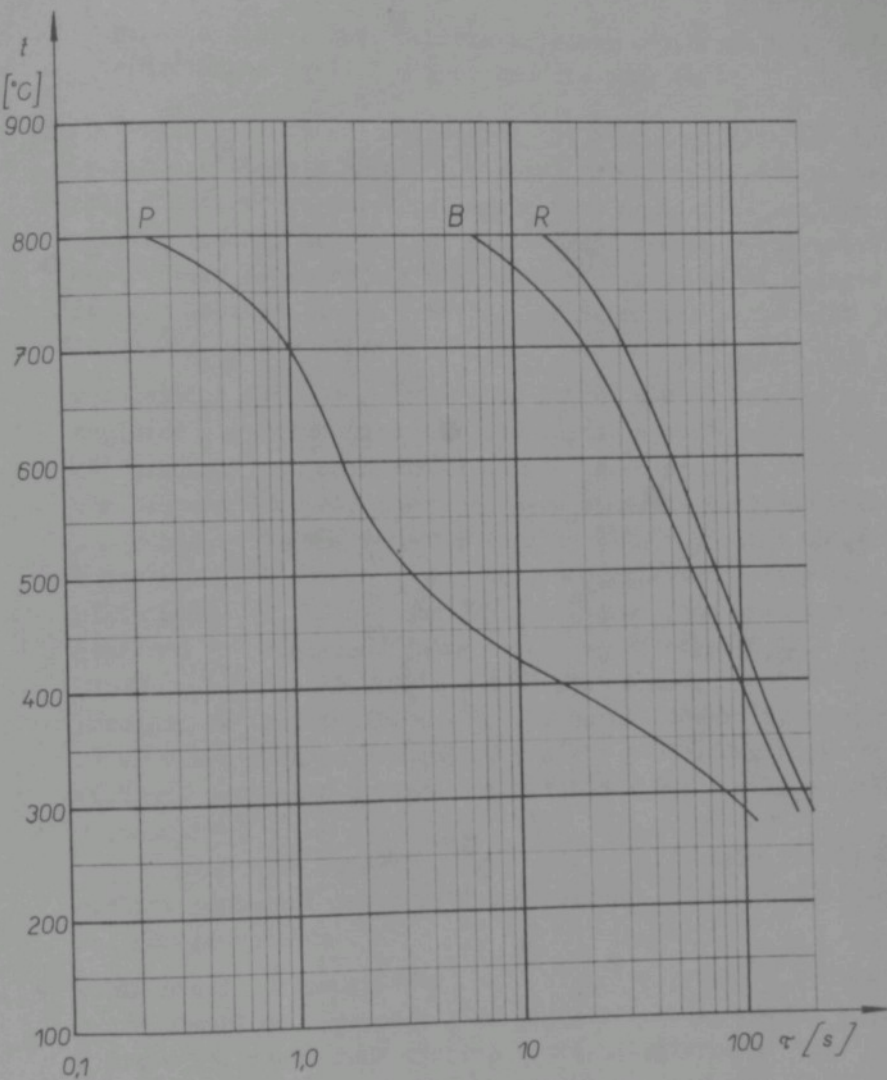
Obr. 16a - Průběh teploty v měřených místech vzorku V3 při jeho ochlazení v oleji OL-J4 o teplotě 75 °C a rychlosti proudění 0,535 m/s.



Obr. 16b - Průběh teploty v měřených místech vzorku V3 při jeho ochlazení v oleji CVB-31 o teplotě 100 °C a rychlosti proudění 0,55 m/s.



Obr. 17 - Průběh teploty v měřených místech vzorku V4  
při jeho ochlazení v oleji CL-J4 o teplotě  
100 °C s rychlosťí proudu 0,478 m/s.



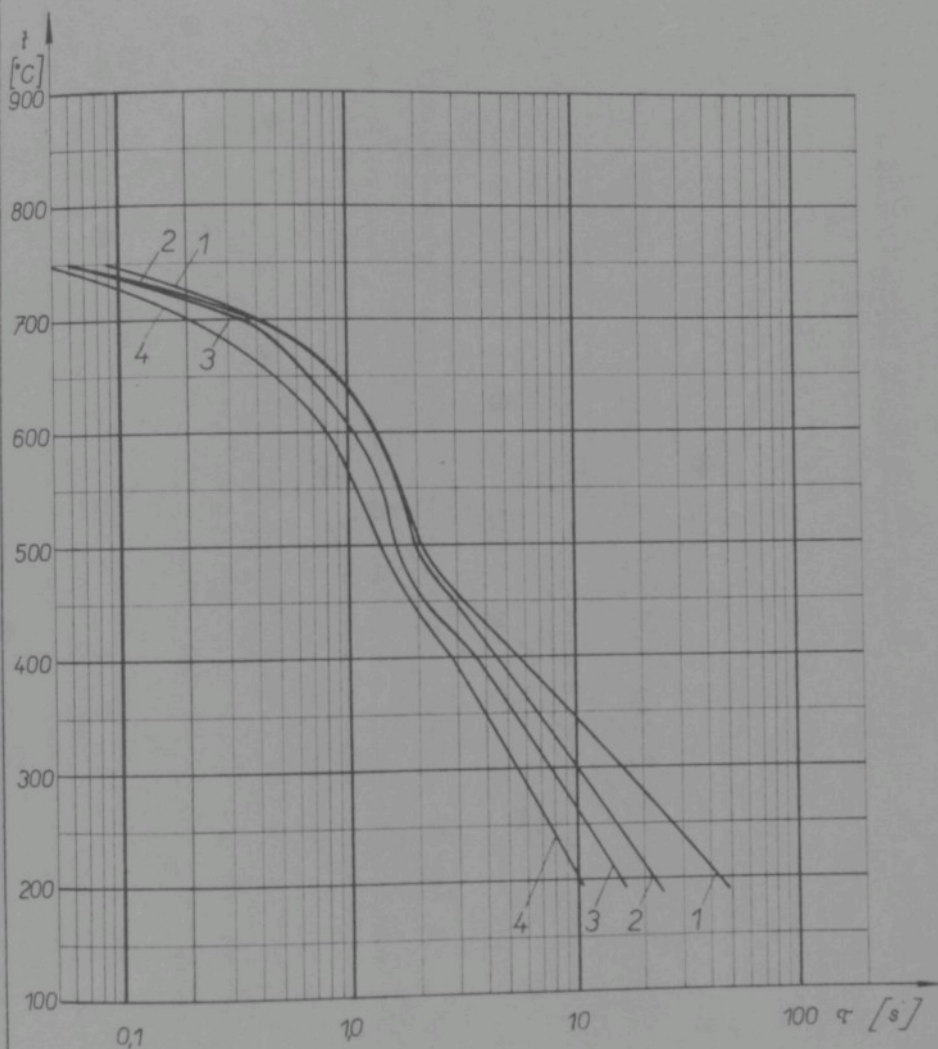
Obr. 18 - Průběh teploty v měřených místech vzorku V5  
při jeho ochlazení v oleji OL-J4 o teplotě  
110 °C a rychlosti proudění 0,41 m/s.

( poznámka : povrchová teplota v těchto případech byla měřena termočlánkem Ag-17 255 způsobem dle obr. 8c );

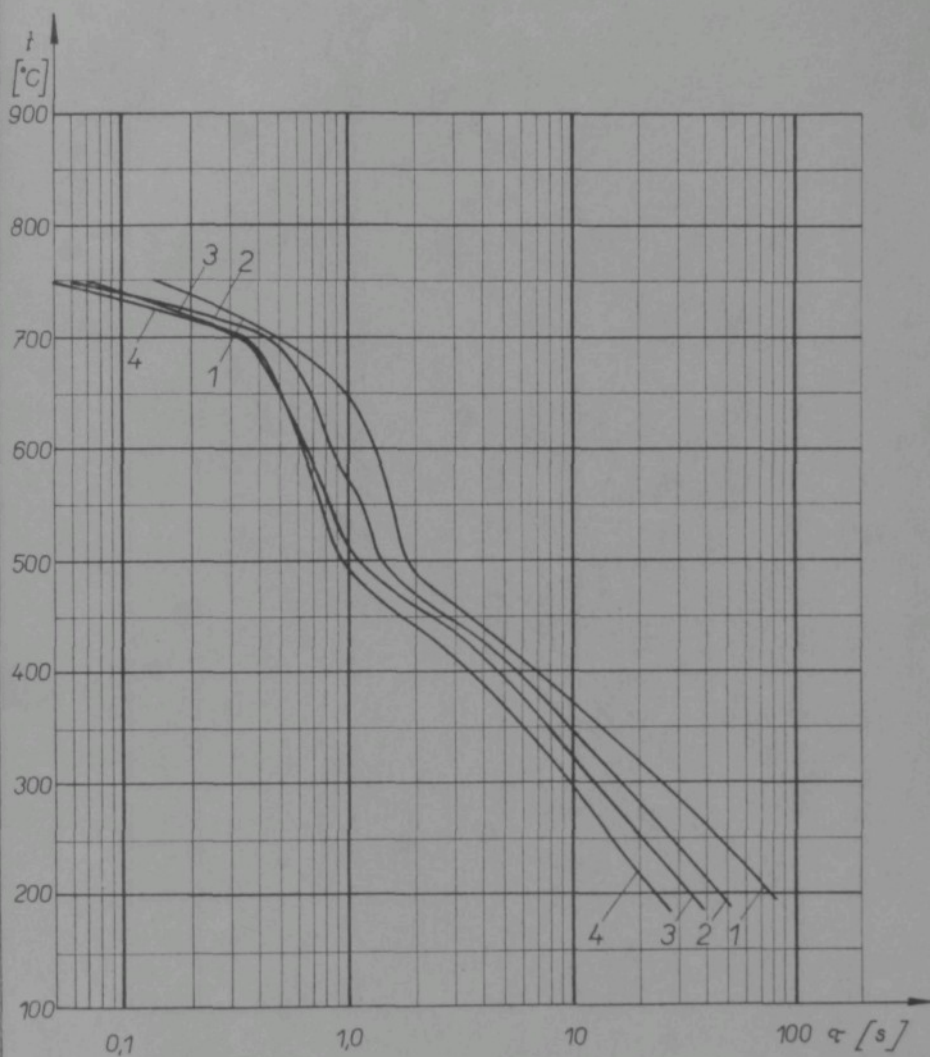
- 2) růst rychlosti nuceného proudění oleje snižuje vliv působení parního polštáře a zmenšuje rozptyl měření v oblasti nestabilního filmového varu. Tento závěr úzce souvisí se závěrem č.l a plyne z toho, že rychlosť ochlazování vzorků v oblasti filmového varu se zvyšuje s růstem rychlosti proudění olejové lázně. Proudící lázeně poruší perní polštář a nedovolí jeho rozvíjení jako v klidové lázni;
- 3) v oblasti teplot jádra vzorků od 600 do 400 °C se s rostoucí teplotou olejů zmenšuje vliv rychlosti jejich nuceného proudění na rychlosť ochlazování vzorků všech průměrů. Tento závěr plyne z obr. 24, na kterém jsou vyneseny časy, potřebné pro ochlazení jádra vzorků z teploty 840 °C v oleji OL-J4 o teplotě 25 °C a 125 °C při různých rychlostech oleje do teploty 600 a 400 °C a z obr. 25, na kterém jsou vyneseny časy potřebné pro ochlazení jádra vzorků z teploty 840 °C v oleji OVB-31 o teplotě 50, 100 a 145 °C při různých rychlostech proudění do teploty 600 a 400 °C. Nutno zdůraznit, že rozdíly ve vlivu rychlosti proudění vzniklé v důsledku růstu teploty lázní jsou málo výrazné a tudíž budou mít i malý praktický význam.

Z uvedených obrázků ( obr. 24 a 25 ) je dále patrná závislost ochlazování jádra vzorků v rozmezí od 600 do 400 °C na průměru vzorků;

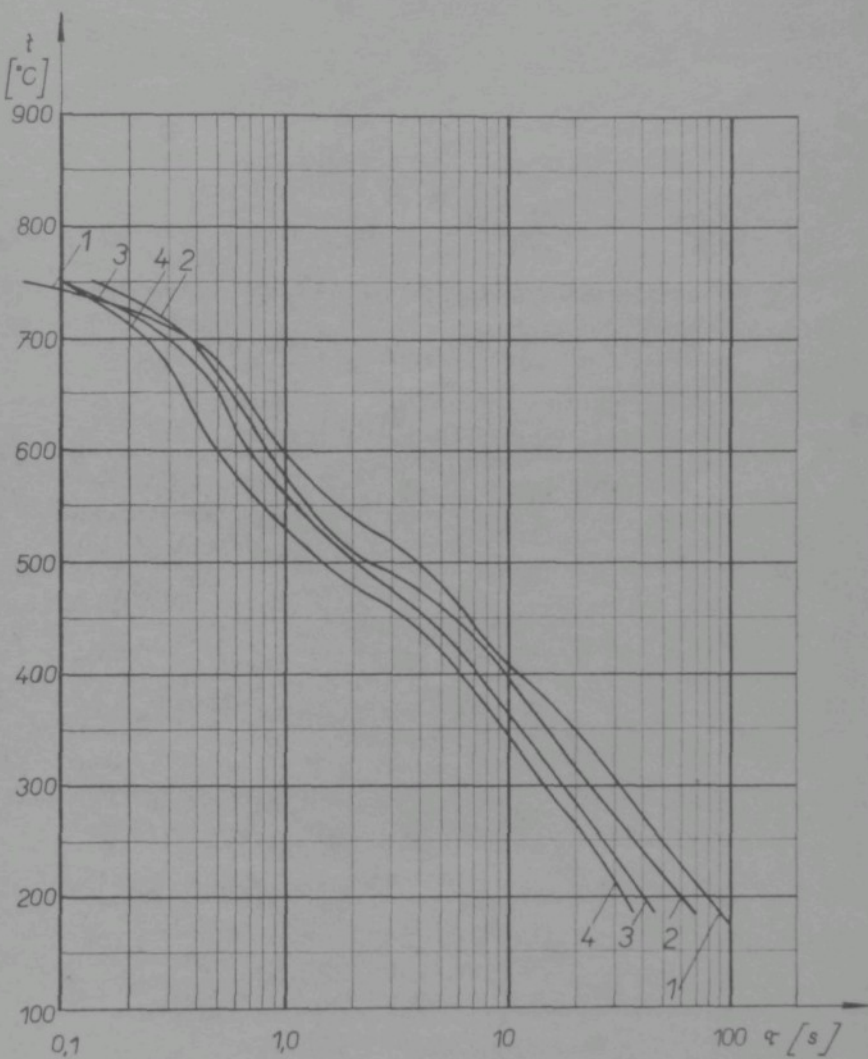
- 4) ochlazovací schopnost obou druhů olejů ve vztahu k teplotě jádra vzorků se výrazněji liší v oblasti bublinkového varu a čisté konvekce, méně výrazně v oblasti filmového varu ( obr. 26, 27 a 28 ). Dle uvedených průběhů se jeví olej OL-J4 vhodnější ke kalení, neboť v oblasti perlitické přeměny je rychlejší ( má větší ochlazovací schopnost ) a v oblasti martensitické přeměny je pomalejší, než olej OVB-31.  
( Poznámka: na uvedených obrázcích jsou srovnávány výsledky měření v lázni o různých teplotách. Olej OL-J4 o teplotě 25,



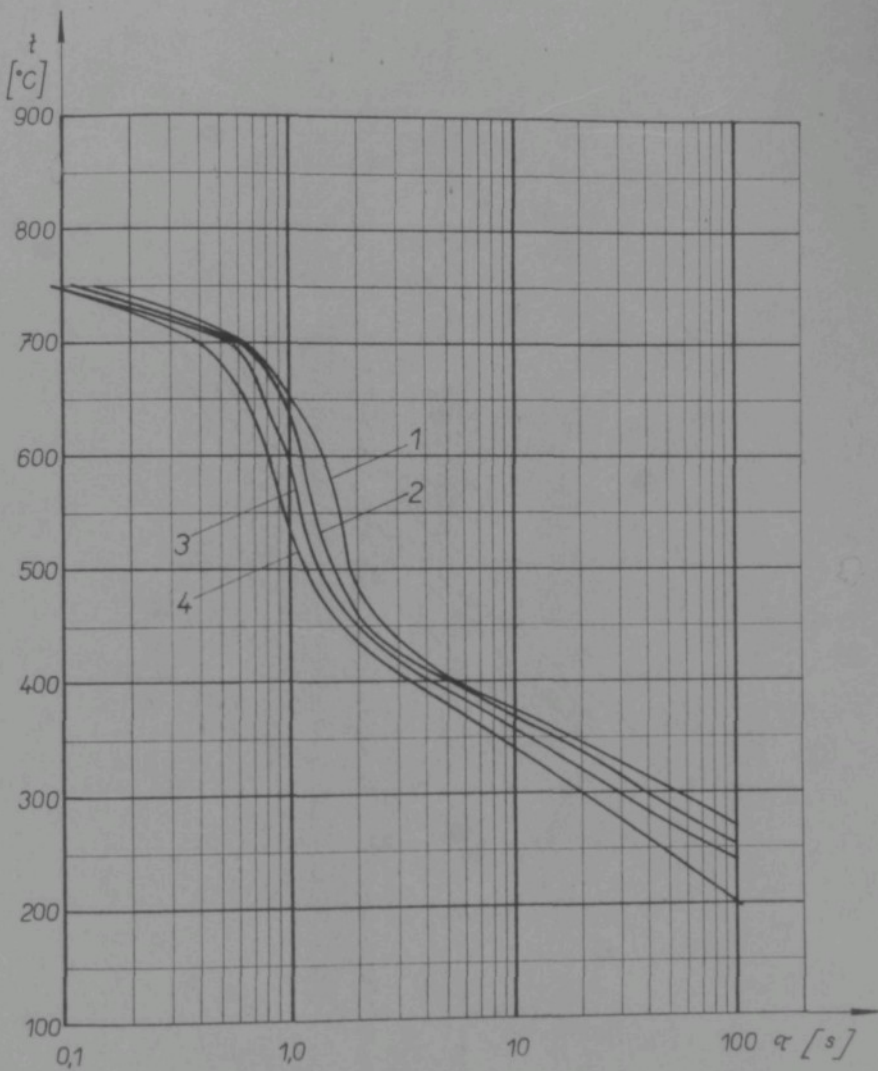
Obr. 19 - Průběh povrchové teploty vzorku V1 při jeho ochlazení z teploty  $780^{\circ}\text{C}$  v oleji CL-J4 o teplotě  $25^{\circ}\text{C}$  a rychlosti : 1 - klidová lázení, 2 -  $0,197 \text{ m/s}$ , 3 -  $0,47 \text{ m/s}$ , 4 -  $0,98 \text{ m/s}$ .



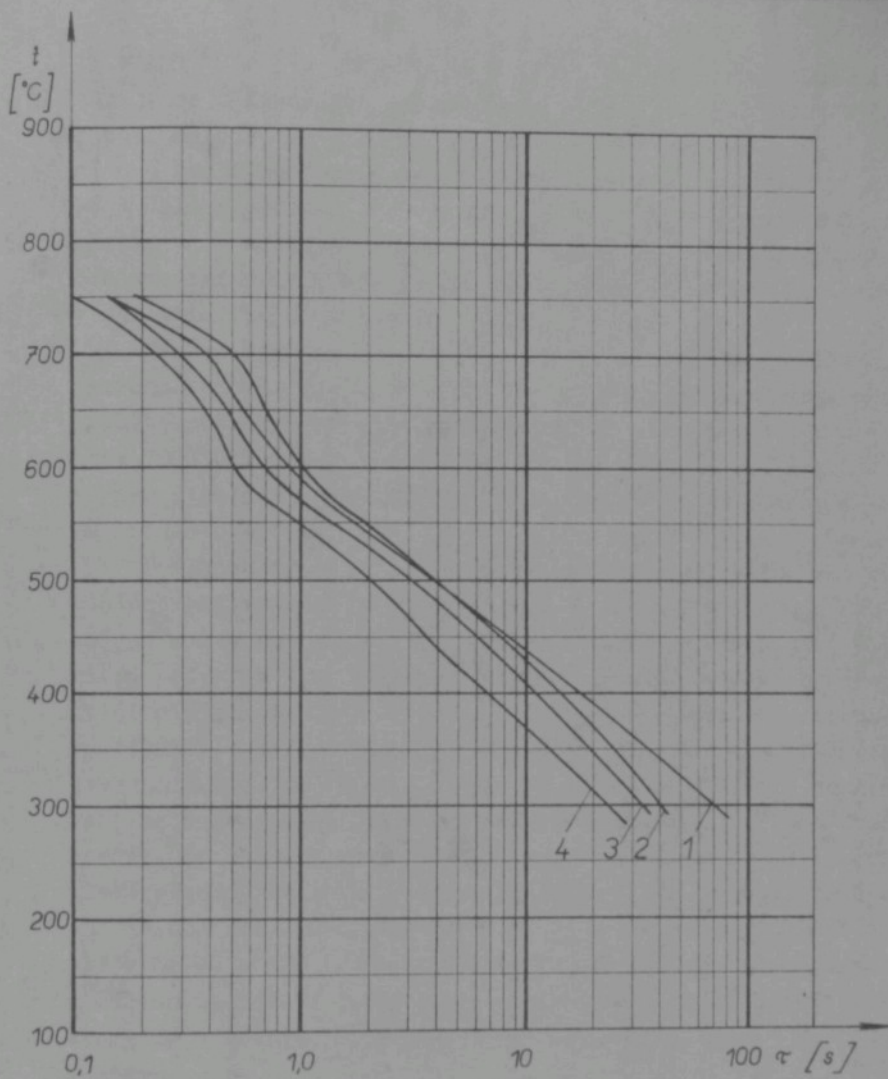
Obr. 20 - Průběh povrchové teploty vzorku V2 při jeho ochlazení z teploty  $780^{\circ}\text{C}$  v oleji CL-J4 o teplotě  $125^{\circ}\text{C}$  s rychlostí : 1 - klidová lázen, 2 -  $0,192 \text{ m/s}$ , 3 -  $0,47 \text{ m/s}$ , 4 -  $0,96 \text{ m/s}$ .



Obr. 21 - Průběh povrchové teploty vývrtku V2 při jeho ochlazení z teploty 780 °C v oleji OVB-31 o teplotě 100°C a rychlosti: 1 - klidová lázen, 2 - 0,197 m/s,  
3 - 0,485 m/s, 4 - 0,99 m/s.



Obr. 22 - Průběh povrchové teploty vzorku V3 při jeho ochlazení z teploty 780 °C v oleji QL-J4 o teplotě 125 °C a rychlosti : 1 - klidová lázen, 2 - 0,2 m/s, 3 - 0,535 m/s, 4 - 0,975 m/s .



Obr. 23 - Průběh povrchové teploty vzorku V3 při jeho ochlazení z teploty 780 °C v oleji CVB-31 o teplotě 100 °C a rychlosti: 1 - klidová lázen, 2 - 0,205 m/s, 3 - 0,55 m/s, 4 - 1,0 m/s.

75 a 125 °C a olej OVB-31 o teplotě 50, 100 a 145 °C. Porovnávají se případy při teplotách 25 a 50, 75 a 100, 125 a 145 z toho důvodu, že olej OVB-31 při teplotách nižších 50 °C není pro svoji značnou vazkost provozu schopný pro nucený oběh).

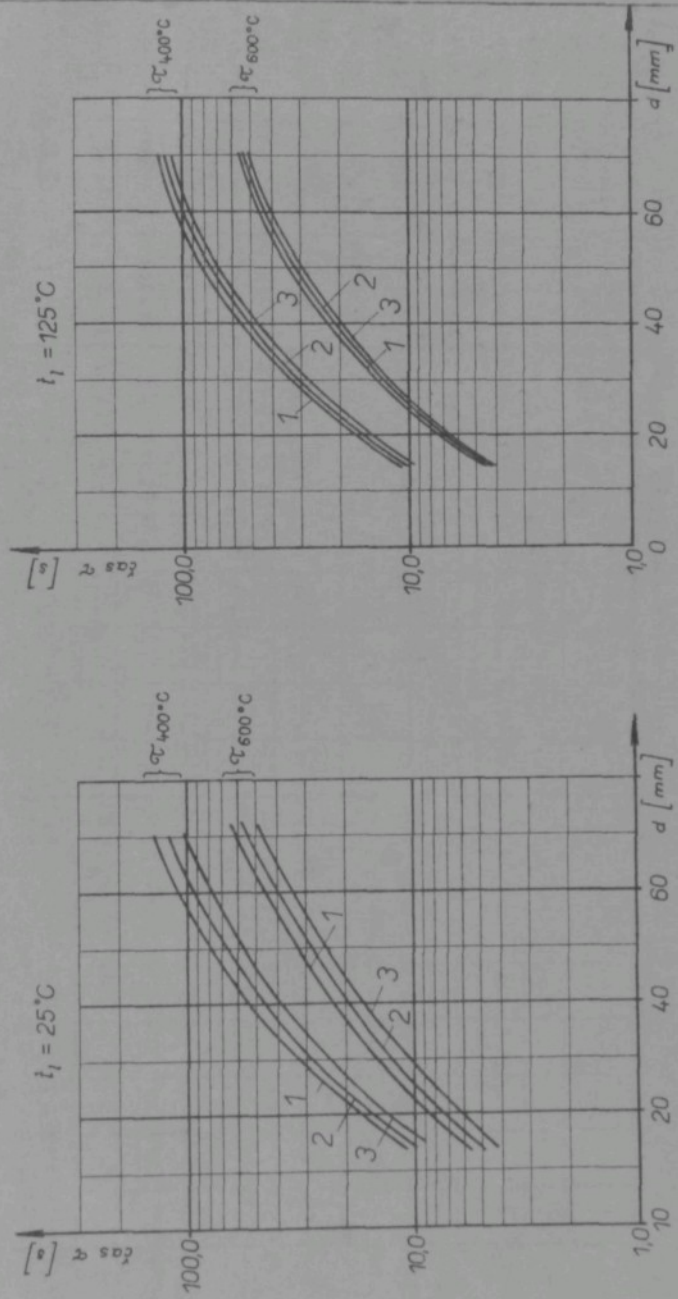
Dále z obrázků 26, 27 a 28 plyne, že v oblasti bublinkového varu a čisté konvekce je vliv rychlosti na rychlosť ochlazování větší, křivky 2 jsou strmější křivek 1, než v oblasti filmového varu.

Mnohem rozdílnější je vliv olejů na rychlosť ochlazování povrchu vzorků, viz obr. 29 a 30, na kterých jsou znázorneny průběhy povrchové teploty vzorku V3 při jeho ochlazení z teploty 780 °C v oleji OL-J4 a OVB-31 při různých teplotách lázně pro rychlosť proudění 0,2 až 1,0 m/s ( u ostatních vzorků je průběh obdobný ).

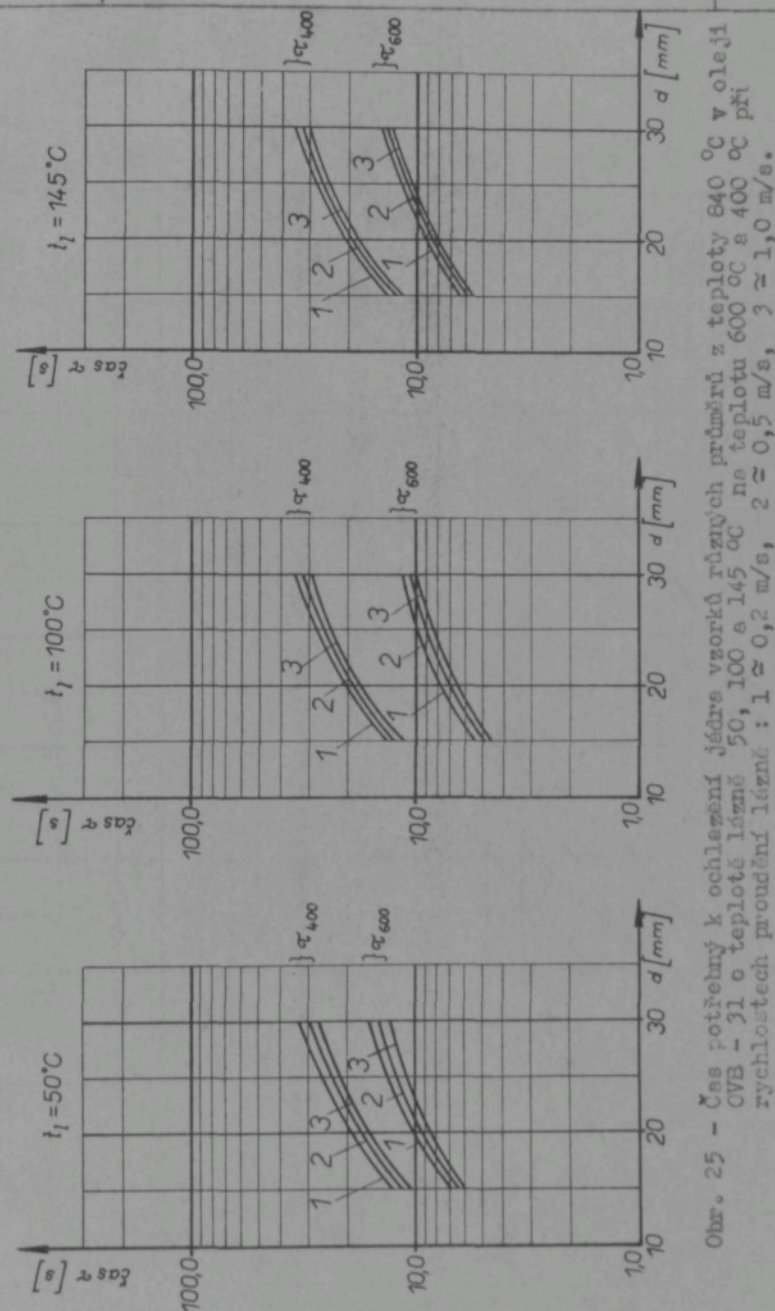
Z tohoto srovnání je patrno, že v oblasti filmového varu ochlazovací schopnost oleje OL-J4 je menší, než oleje OVB-31, což je způsobeno zřejmě tím, že olej OL-J4 je těkavější ( má nižší bod varu ), v důsledku čehož jeho parní polštář se uchová do nižších teplotních hodnot povrchu vzorku. Při přechodu od filmového varu k bublinkovému ( u oleje OL-J4 při teplotě povrchu okolo 500 °C a u oleje OVB-31 okolo 600 °C ) ochlazovací schopnost obou olejů je prakticky shodná. Z toho lze soudit, že při kalení v obou olejích dosáhneme oblasti perlítické přeměny na povrchu kalených dílů téměř ve shodném čase.

V oblasti bublinkového varu je ochlazovací schopnost oleje OL-J4 větší než oleje OVB-31. V oblasti čisté konvekce z uvedených měření nelze provést srovnání, neboť teplota lázně která je v těchto případech různá zde nabývá rozhodujícího významu.

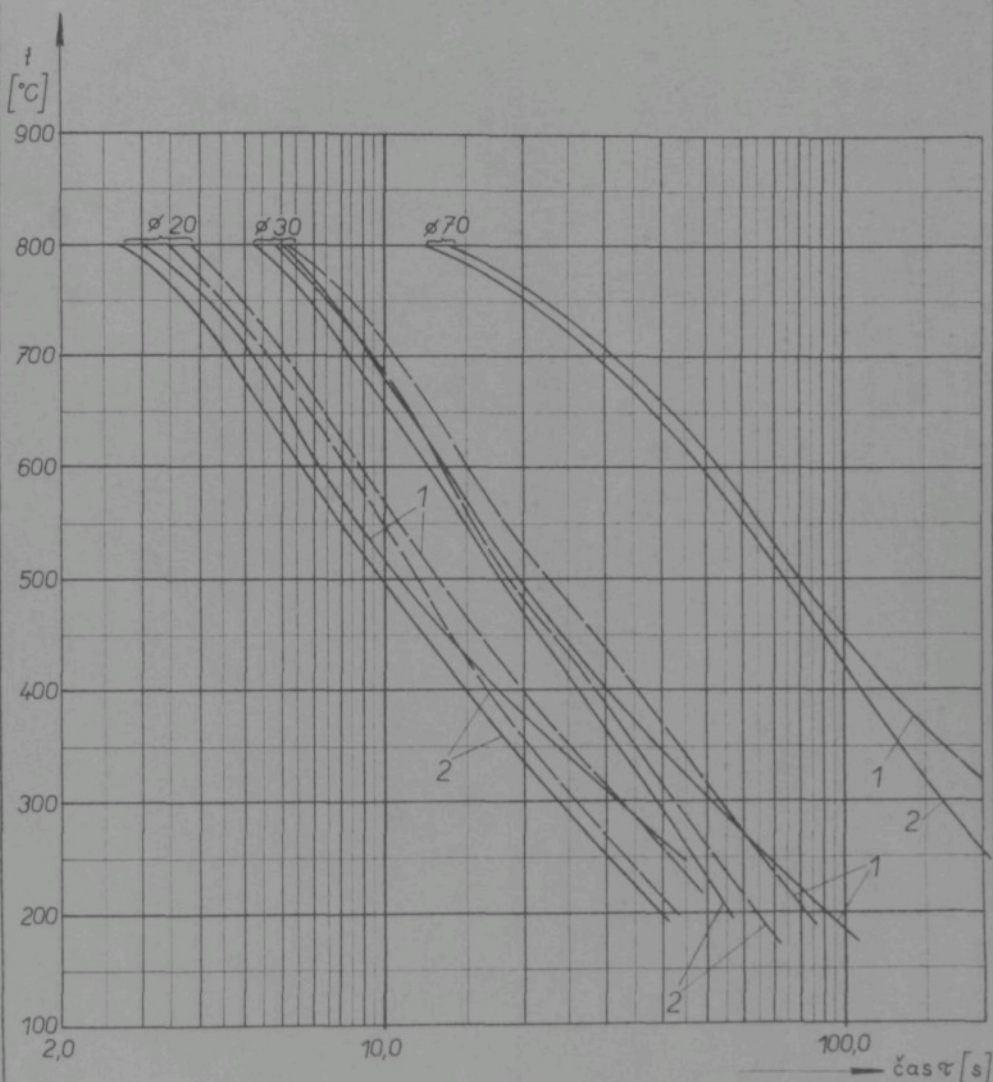
Porovnání průběhů povrchové teploty vzorků a teploty v jejich jádře vykazuje jisté neshody, které jsou způsobeny tím, že v době, kdy teplota v jádře se pohybuje v oblasti perlítické přeměny ( nad 500 °C ), ochlazování na povrchu odpovídá již oblasti bublinkového varu, nebo dokonce čisté konvekce;



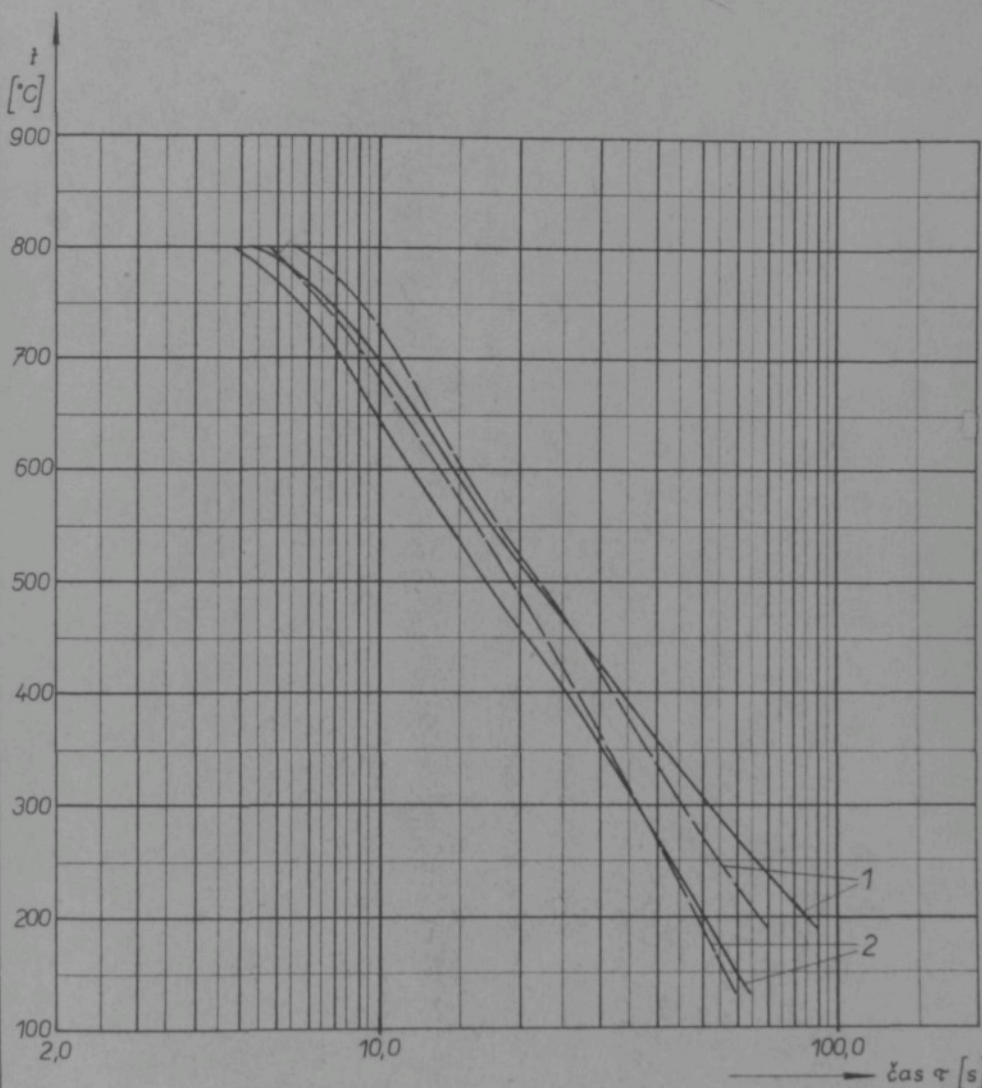
Obz. 24 - Čas potřebný k ochlazení žádoucího průměru z teploty  $840^\circ\text{C}$  v oleji J4 OL-J4 o teplotu  $25^\circ\text{C}$  a  $125^\circ\text{C}$  na teplotu  $600^\circ\text{C}$  a  $400^\circ\text{C}$ , při rychlostech proudění lázně: 1 = 0,2 m/s, 2 = 0,5 m/s, 3 = 1,0 m/s.



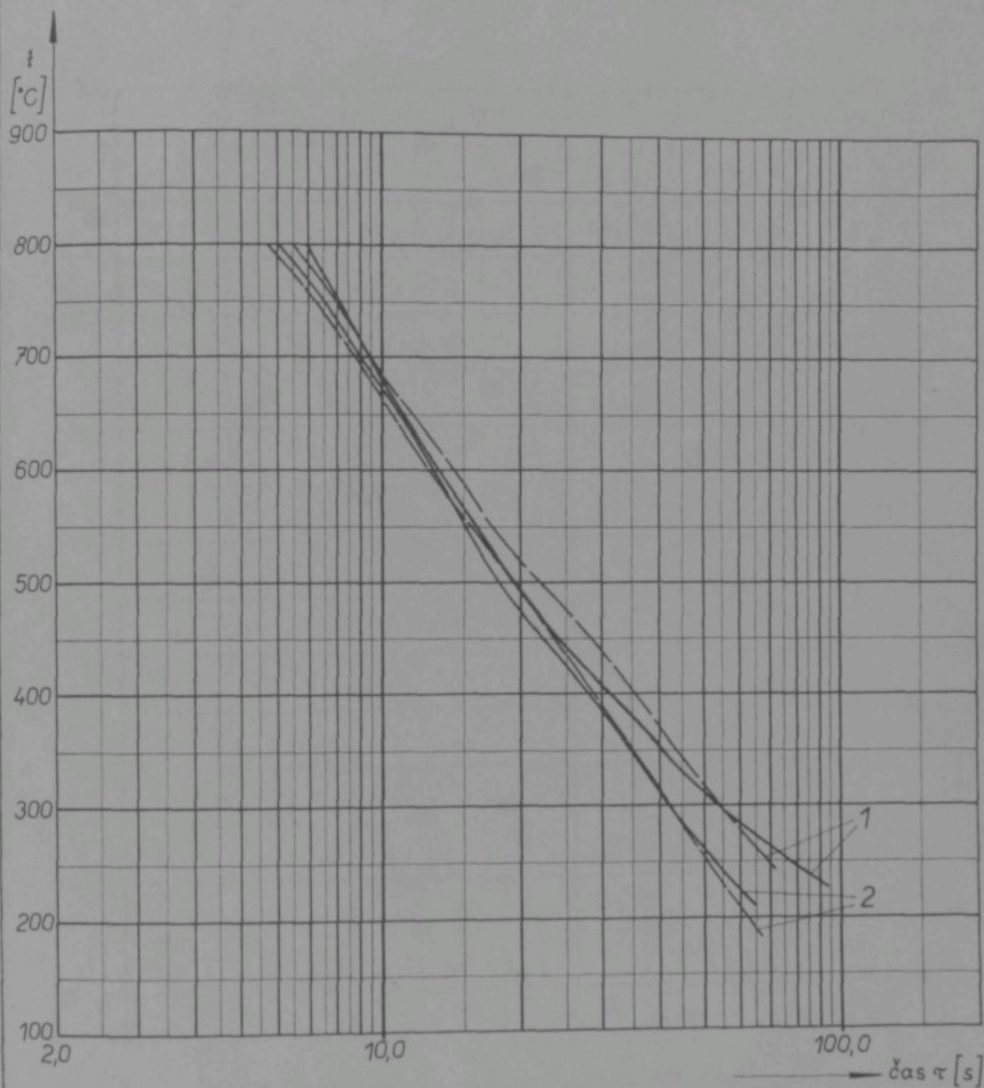
Obr. 25 - Čas potřebný k ochlazení jedné vzorků různých průměrů z teploty 840 °C v oleji  
OVB - 31 o teplotě lázně 50, 100 a 145 °C  
na teplotu 600 °C a 400 °C při  
rychlostech proudení lítací : 1 ≈ 0,2 m/s, 2 ≈ 0,5 m/s, 3 ≈ 1,0 m/s.



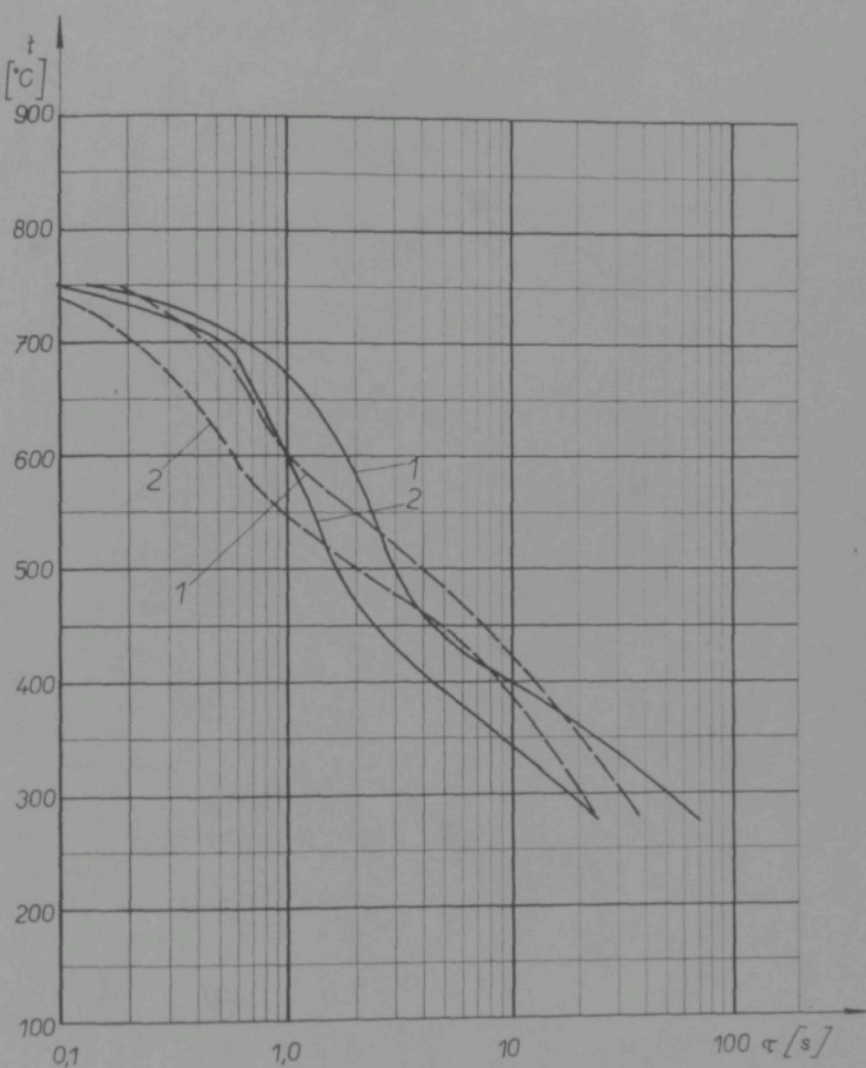
Obr. 26 - Průběh teploty jádra vzorků V2, V3 a V5 při jejich ochlazení z teploty 840 °C v oleji OL-J4 o teplotě 75 °C (—) a OVB-31 o teplotě 100 °C (---) při rychlosti proudění: 1 ≈ 0,2 m/s, 2 ≈ 1,0 m/s.



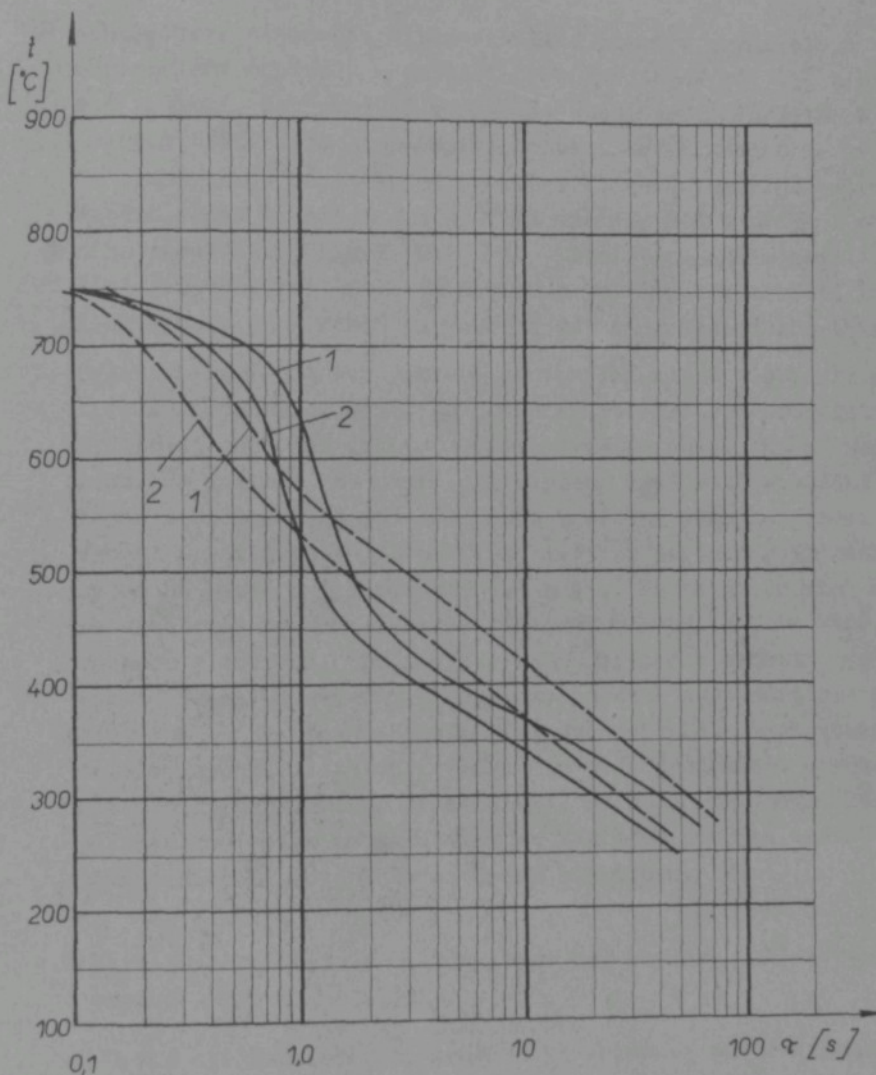
Obr. 27 - Průběh teploty jádra vzorku V3 při jeho ochlazení z teploty 840 °C v oleji OL-J4 o teplotě 25 °C (—) a CVB-31 o teplotě 50 °C (---) při rychlosti proudění:  
1  $\approx 0,2$  m/s, 2  $\approx 1,0$  m/s.



Obr. 28 - Průběh teploty jádra vzorku V3 při jebo ochlazení z teploty v oleji OL-J4 o teplotě  $125^{\circ}\text{C}$  (—) a OVB-31 o teplotě  $145^{\circ}\text{C}$  (---) při rychlosti proudění  $1 \approx 0,2 \text{ m/s}$ ,  $2 \approx 1,0 \text{ m/s}$ .



Obr. 29 - Průběh povrchové teploty vzorku V3 při jeho oscilování z teploty 780 °C v oleji OL-J4 o teplotu 25 °C (—) a OVB-31 o teplotě 50 °C (----) při rychlosti proudění:  $1 \approx 0,2 \text{ m/s}$ ,  $2 \approx 1,0 \text{ m/s}$ .



Obr. 30 - Průběh povrchové teploty vzorku V3 při jeho ohlazení z teploty  $780^{\circ}\text{C}$  v oleji OL-J4 o teplotě  $125^{\circ}\text{C}$  (—) a CVB-31 o teplotě  $145^{\circ}\text{C}$  (----) při rychlosti proudění  $1 \approx 0,2 \text{ m/s}$ ,  $2 \approx 1,0 \text{ m/s}$ .

- 5) ochlazovací schopnost klidové kalicí lázně v první etapě ochlazování odpovídá rychlosti proudění lázně asi  $0,2 \text{ m/s}$ , což znamená, že ponoření vzorku se odehrávalo přibližně s touto rychlostí. Tato etapa spadá do oblasti filmového varu. Ve druhé etapě ochlazování vzorků v klidové lázni je patrná značně menší rychlosť ochlazování vzorků, než v případě nuceného proudění rychlostí  $0,2 \text{ m/s}$ . Tato etapa ochlazování záčíná již v oblasti filmového varu a pokračuje v oblasti bublinkového varu a čisté konvekce ( v tomto případě přirozené );
- 6) relativní zvýšení ochlazovací schopnosti olejů v oblasti perlitické přeměny je vyšší při nižších absolutních hodnotách rychlosti proudění lázně, než při vyšších absolutních hodnotách. To znamená, že např. při zvýšení rychlosti proudění lázně z  $0,25 \text{ m/s}$  na  $0,5 \text{ m/s}$  bude zkrácení doby ochlazení vzorku na určitou teplotu větší, než při zvýšení rychlosti proudění lázně z  $0,5 \text{ m/s}$  na  $1,0 \text{ m/s}$ . Tento závěr však nelze vztahovat na oblast martensitické přeměny, kde se vliv rychlosti proudění projevuje výrazněji, než v oblasti perlitické přeměny. Vzhledem k tomu, že počátek martensitické přeměny ( $M_s$ ) je dán chemickým složením materiálu, lze očekávat, že vliv rychlosti proudění lázně se bude projevovat u různých materiálů různě. Nutno si uvědomit, že nucené proudění lázně již poměrně malou rychlostí má za následek poměrně značné zrychlení ochlazování ve srovnání s klidovou lázní.

#### 4.2 Vliv teploty olejové kalicí lázně na rychlosť ochlazování vzorků

Horká olejová lázeň se používá ke kelení z důvodu zpomalení rychlosti ochlazování v oblasti martensitické přeměny, výsledkem čehož, mimo jiné, jsou menší tepelná pnutí a také menší deformace kaledých dílů.

Na rozdíl od vody, jejíž ochlazovací schopnost je velmi značně závislá na její teplotě, voda bývá označována jako nejis-

tá kalící lézen), zjistila se u olejů poměrně malá závislost jejich ochlazovací schopnosti na teplotě  $\zeta_{17}$ ,  $\zeta_{23}$ .

Zkušenosti získané sledováním ochlazovací schopnosti olejů OL-J4 a OVB-31 v závislosti na jejich teplotě možno formulovat do těchto závěrů :

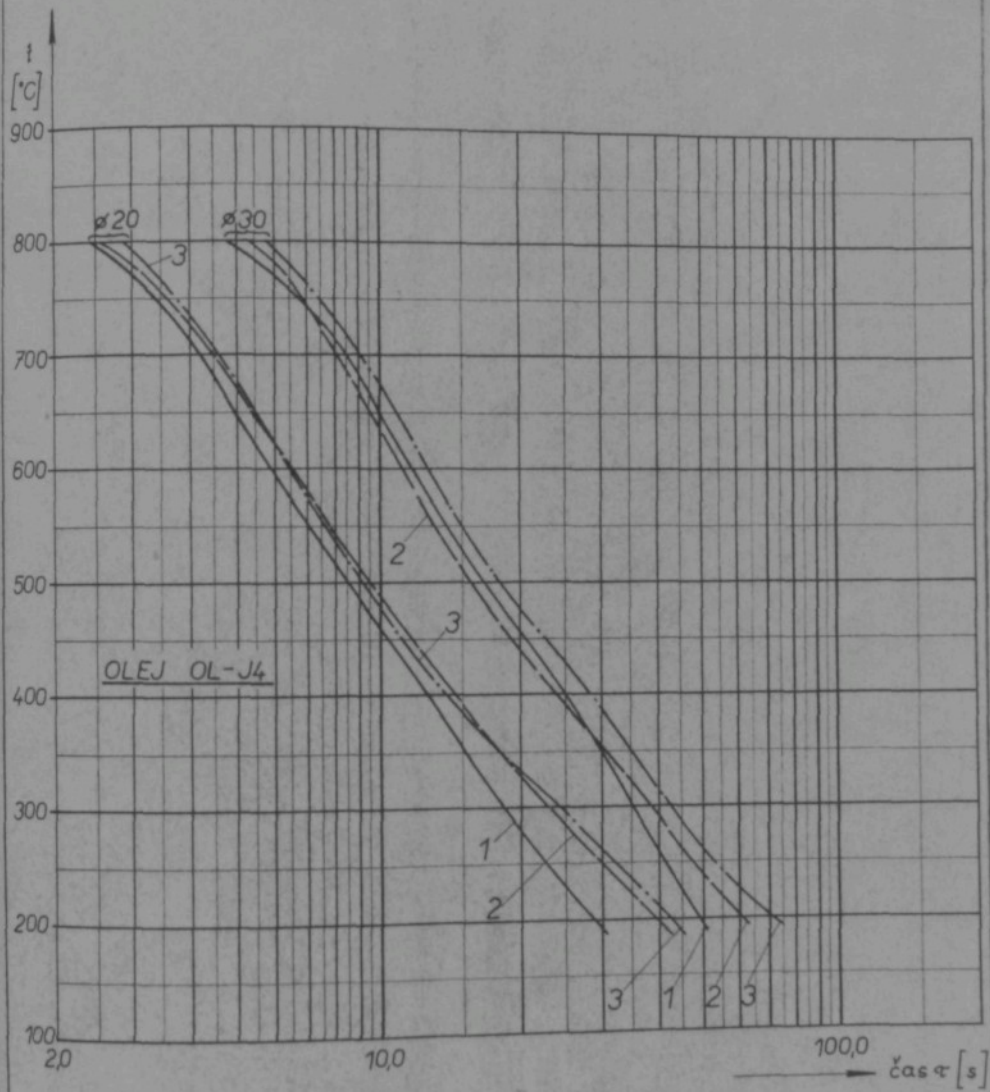
1) ochlazovací schopnost olejů je poměrně málo závislá na jejich teplotě i v podmírkách nuceného proudění lázně, zkoumá-li se dle průběhu teploty v jádře vzorků s je poměrně značně závislá na teplotě, zkoumá-li se dle průběhu povrchové teploty. Přitom tato závislost je větší a také trpí menšími kolisemi u oleje OL-J4, než u oleje OVB-31.

Zatímco změna rychlosti proudění kalící lázně vede téměř k paralelnímu posunutí teplotního průběhu rovnoběžně s časovou základnou, změna teploty kalící lázně při stálé rychlosti proudění vyvolává složité změny teplotního průběhu. Růst teploty lázně příliš neovlivní průběh teploty v jádře vzorků v oblasti perlitické přeměny, avšak značně jej ovlivní v oblasti bainitické a mартensitické přeměny, kde se jednotlivé průběhy teplot protinají. Z toho plyne, že vliv teploty lázně na výslednou strukturu káleného dílu nebude tak jednoznačný, jako vliv její rychlosti.

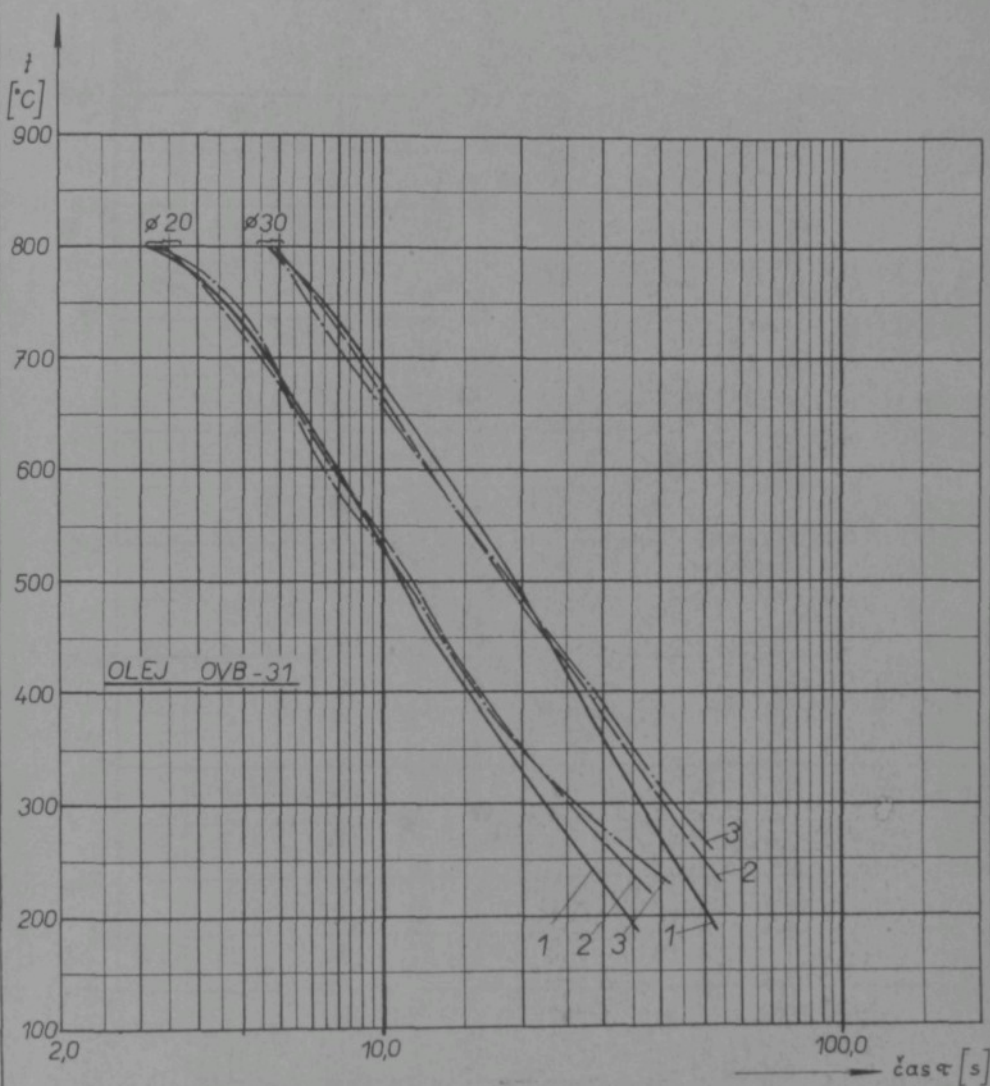
Tento závěr vyplývá z obrázků obr. 31 a 32, na kterých jsou znázorneny průběhy teplot v jádře vzorků V2 a V3 při jejich ochlazení z teploty  $840^{\circ}\text{C}$  v oleji OL-J4 a OVB-31 při shodné rychlosti proudění pro různé teploty lázně a obrázků obr. 33 a 34, na kterých jsou znázorneny průběhy povrchové teploty vzorků V2 a V3 při jejich ochlazení ze  $780^{\circ}\text{C}$  v oleji OL-J4 a OVB-31 při shodné rychlosti proudění pro různé teploty lázně.

2) S rostoucí teplotou lázně klesá stabilita párního polštáře, v důsledku čehož v oblasti filmového varu také roste rychlosť ochlazování. ( Tento závěr je vztužen k povrchové teplotě ).

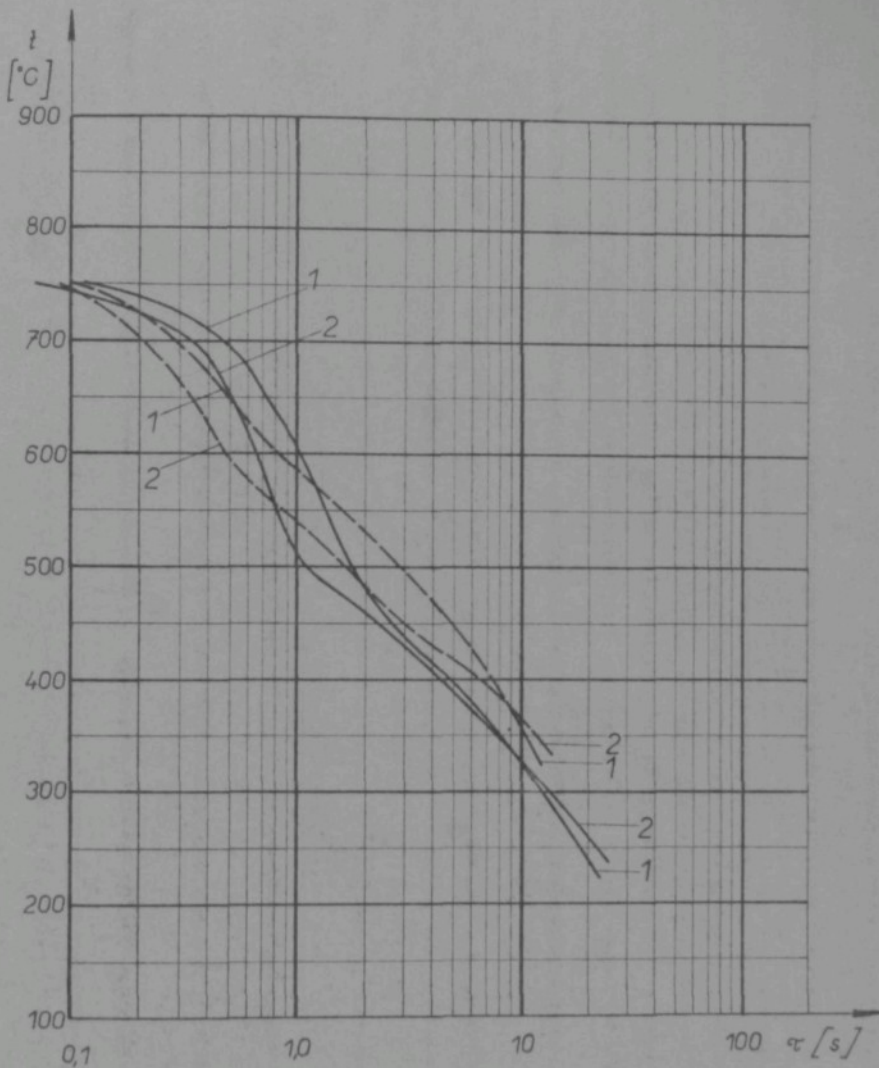
V porovnání s vodní lázní se zdá tento závěr na první pohled nepochopitelný, avšak při podrobnějším rozboru je



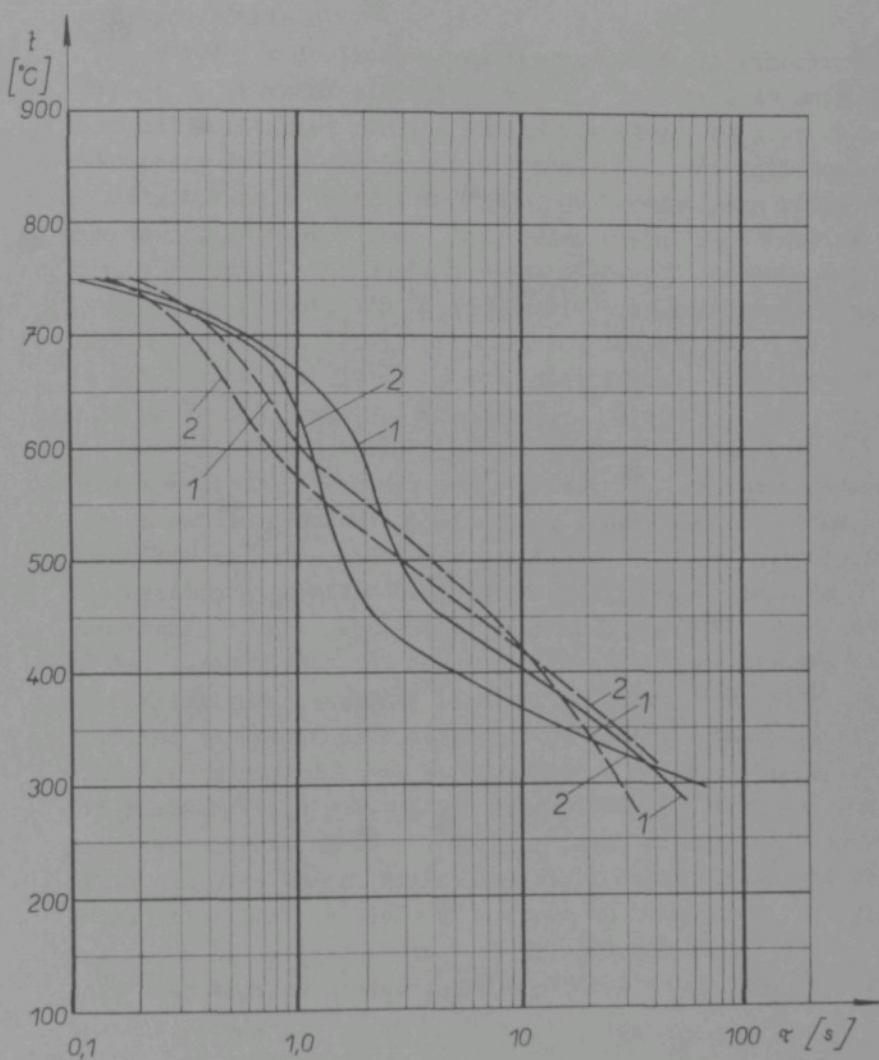
Obr. 31 - Průběh teploty v jádře vzorků V2 a V3 při jejich ochlazení z teploty 840 °C v oleji OL-J4 při rychlosti proužení 1,0 m/s pro teploty lázně : 1 - 25 °C, 2 - 75 °C, 3 - 125 °C.



Obr. 32 - Průběh teploty v jádře vzorků V2 a V3 při jejich ochlazování z teploty  $840^{\circ}\text{C}$  v oleji OVB-31 při rychlosti proudění  $\sim 1,0 \text{ m/s}$  pro teploty lázně : 1 -  $50^{\circ}\text{C}$ , 2 -  $100^{\circ}\text{C}$ , 3 -  $145^{\circ}\text{C}$ .



Obr. 33 - Průběh povrchové teploty vzorku V2 při jeho ochlazení z teploty  $780^{\circ}\text{C}$  v oleji OL-J4 (—) při teplotách: 1 —  $25^{\circ}\text{C}$ , 2 —  $125^{\circ}\text{C}$  a v oleji OVB-31 (- - -) při teplotách: 1 —  $50^{\circ}\text{C}$ , 2 —  $145^{\circ}\text{C}$  pro rychlosť proužení lázně  $\sim 0,5 \text{ m/s}$ .



Obr. 34 - Průběh povrchové teploty vzorku V3 při jeho ochlazení z teploty  $780^{\circ}\text{C}$  v oleji CL-J4 (—) při teplotách:  
1 -  $25^{\circ}\text{C}$ , 2 -  $50^{\circ}\text{C}$ , s v oleji OVB-31 (- - -) při teplotách:  
1 -  $50^{\circ}\text{C}$ , 2 -  $145^{\circ}\text{C}$  pro rychlosť proudu lázne  $\sim 0,2 \text{ m/s}$ .

plně zdůvodnitelný.

U vody, v důsledku nízké teploty varu při atmosferickém tlaku ( ve srovnání s oleji ), zvýšení její teploty snižuje rychlosť kondensace parních bublin vzniklých na povrchu keleného předmětu. U olejů tato okolnost při pracovních teplotách použitých v našem měření zřejmě hraje bezvýznamnou roli. Je zde však jiné vysvětlení. Oleje velmi značně mění svoji vekost s teplotou. Tak např. u oleje OL-J4 při ohřevu z teploty  $25^{\circ}\text{C}$  na teplotu  $125^{\circ}\text{C}$  se zmenší jeho kinematická vekost  $33,5 \times$  a u oleje OVB-31 při ohřevu z teploty  $50^{\circ}\text{C}$  na teplotu  $145^{\circ}\text{C}$  dokonce  $50 \times$  ( u vody činí tento pokles při ohřevu z  $30$  na  $70^{\circ}\text{C}$  pouze dvojnásobek ).

Parní polštář nerůstá potud, pokud jeho vztlaškové síly nepřekonají odpor obkladujícího prostředí. Přitom v podmínkách nuceného proudění podél ochlazovaného vzorku směrem nahoru, tj. ve směru shodném s působením vztlaškové síly polštáře, existence polštáře bude značně ovlivněna dynamickým účinkem proudu lázně. Avšak i v podmínkách nuceného proudění lázně lze předpokládat, že doba existence parního polštáře bude značně ovlivněna vekostí kapaliny. Jelikož vekost olejů s růstem teploty prudce klesá, bude klesat i odpor prostředí, takže jej mohou překonat parní polštáře menších objemů, než při nízkých teplotách. Kromě této příčiny, kterou lze považovat za hlavní, mohou mít vliv na změnu ochlazovací schopnosti olejů se změnou jejich teploty i další vlastnosti oleje. Např. při kelení do oleje se na povrchu keleného dílu nepeče vrstvička spálených produktů oleje; přičemž její tloušťka působí jako tepelná isolace, <sup>stejně</sup> bude závislá na složení a vlastnostech oleje.

Poznámka:

Uvedené závěry v odstavcích 4.1 a 4.2 v plném rozsahu platí pouze pro podmínky měření, tj. pro dané oleje, materiál a rozměry vzorků, teploty lázně, rychlosti a druh proudění lázně, počáteční teplotu vzorků a případně další.

Obecnější závěry je možno formulovat pouze pomocí obecnějších charakteristik sdílení tepla, kterými jsou závislosti součinitele přestupu tepla na teplotě povrchu vzorků.

#### 5. Zobecnění výsledků měření a možnosti jejich praktického použití

Ke zobecnění výsledků měření jsou k disposici průběhy teplot v několika místech středního průřezu vzorků z materiálu AKC 17 255 a průběhy povrchové teploty při ochlazování těchž vzorků, přičemž povrchová teplota byla určena způsobem, u něhož byla dokázána vhodnost použití pro technickou praxi s vyhovující přesností.

Jak již bylo ukázáno dříve ( odstavec 1.2 ) na průběh teplotního pole ochlazovaného vzorku mají vliv jeho tepelně-fysikální vlastnosti. Z těchto vlastností je to hlavně součinitel vedení tepla, který je jednak funkcí teploty a jednak je značně závislý na chemickém složení materiálu. Zatímco u konstrukčních ocelí, nejčastěji používaných ke kalení, se jeho hodnota pohybuje v rozmezí od 30 do 45 kcal/m h deg , pro zkušební vzorky, na nichž bylo provedeno měření průběhu teplot, činí jeho hodnota 16 až 20 kcal/m h deg .

Z toho plyne, že bezprostřední použití průběhů teplot získaných přímým měřením, na vzorky z jiného materiálu, může způsobit značnou odchylku od skutečnosti. Avšak na druhé straně přepočet těchto naměřených průběhů teplot na vzorky jiného složení, než byly vzorky zkušební, není jednoduchou záležitostí ani v tom případě, kdy ochlazení vzorku rozměrově shodného se zkušebním, proběhne při stejně závislosti součinitele přestupu tepla na teplotě povrchu vzorku ( tj. při stejném křivce varu ). Křivka varu sama o sobě neříká nic o časovém průběhu teploty povrchu ochlazovaného vzorku. Při daném křivce varu je časový průběh teploty povrchu vzorku funkci pouze jeho tepelně-fysikálních vlastností a to nejvíce součinitele tepelné vodivosti. Tato skutečnost je

značnou překážkou v tom, aby mohla být zpracována pro praxi vhodná metoda přepočtu známých průběhů teplot naměřených na zkušebních vzorcích, na vzorky geometricky podobné o jiném chemickém složení.

Z tohoto důvodu je zobecnění výsledků měření provedeno na základě naměřených průběhů povrchové teploty (měření č. 85 až 138).

### 5.1 Řešení teplotního pole neomezeného válce při nestacionárním sdílení tepla metodou vhodnou pro inženýrskou praxi

Řešit teplotní pole tělesa při nestacionárním sdílení tepla znomené řešit diferenciální rovnici vedení tepla pro příslušnou počáteční a okrajovou podmítku. Diferenciální rovnice pro třírozměrové vedení tepla se napiše ve tvaru [15], [17] :

$$\frac{\partial t}{\partial \tau} = \alpha \left( \frac{\partial^2 t}{\partial x^2} + \frac{\partial^2 t}{\partial y^2} + \frac{\partial^2 t}{\partial z^2} \right) = \alpha \cdot \nabla^2 t \quad (5-1),$$

kde

$$\nabla^2 = \left( \frac{\partial^2}{\partial x^2} + \frac{\partial^2}{\partial y^2} + \frac{\partial^2}{\partial z^2} \right)$$

je Laplaceův operátor.

Pro případ jednorozměrového nestacionárního vedení tepla neomezeného válce se rovnice (5-1) nejčastěji vyjadřuje v cylindrických souřadnicích :

$$\frac{\partial t}{\partial \tau} = \alpha \cdot \left( \frac{\partial^2 t}{\partial r^2} + \frac{2}{r} \cdot \frac{\partial t}{\partial r} \right) \quad (5-2).$$

Při kolení se teplo z povrchu koleného předmětu do lázně sdílí prouděním, což znamená, že při kolení platí okrajová podmínka 3. řádu, kterou lze vyjádřit ve tvaru :

$$\alpha \cdot (t - t_s) = \lambda \cdot \left( \frac{\partial t}{\partial r} \right) \quad (5-3).$$

Hledáme řešení rovnice (5-2) pro případ okrajové podmínky (5-3). Počáteční podmínka vyjadřuje teplotní pole v počátku děje. V našem případě je vyjádřena rovnoměrným prohřátím tělesa na výchozí teplotu  $t_0$ . Pro tělesa jednoduchého tvaru, tedy i pro válec, existuje několik způsobů analytického řešení pomocí vyšší matematické analýzy. Tyto způsoby pro svoji složitost a náročnost ne znalosti příslušné teorie nejsou určeny pro praktické použití. Slouží jako podklady pro zpracování metod řešení s použitím teorie podobnosti, což vede k sestojení tabulek, či nomogramů, vhodných již použití v technické praxi. Dále jsou provedeny úpravy rovnic (5-2) a (5-3) zejména účelem, aby bylo ukázáno schema jejich řešení pomocí teorie podobnosti.

V rovnicích (5-2) a (5-3) namísto teploty  $t$  zavedeme poměrnou teplotu tím, že čitatel obou rovnic podělíme rozdílem teplot počáteční teploty vzorku a teploty lázně ( $t_0 - t_1$ ) a vzhledem k tomu, že tento rozdíl je konstantní, můžeme jej jednoduše zavést pod diferenciál. Rovnice (5-2) se přepíše do tvaru :

$$\frac{\partial \left( \frac{t}{t_0 - t_1} \right)}{\partial T} = \alpha \cdot \left[ \frac{\partial^2 \left( \frac{t}{t_0 - t_1} \right)}{\partial r^2} + \frac{2}{r} \cdot \frac{\partial \left( \frac{t}{t_0 - t_1} \right)}{\partial r} \right] \quad (5-4)$$

a rovněž tak rovnice (5-3) :

$$\alpha \cdot \frac{t - t_1}{t_0 - t_1} = \lambda \cdot \left[ \frac{\partial \left( \frac{t}{t_0 - t_1} \right)}{\partial r} \right] \quad (5-5).$$

Dalšími úpravami se sleduje vytvořit taková seskupení nezávisle proměnných, aby tato vytvořila určující kriteria mající své místo při nestacionárním vedení tepla, pro danou okrajovou podmíinku. Zejména účelem jmenovatele rovnice (5-4) podělíme čtvercem poloměru válce  $R^2$  a součinitel teplotové vodivosti převedeme na levou stranu, takže obdržíme (R a a

uvážujeme konstantní) :

$$\frac{\partial \left( \frac{t}{t_0 - t_1} \right)}{\partial \frac{\alpha \cdot T}{R^2}} = \frac{\partial^2 \left( \frac{t}{t_0 - t_1} \right)}{\partial \frac{r^2}{R^2}} + \frac{2}{r} \cdot \frac{\partial \left( \frac{t}{t_0 - t_1} \right)}{\partial \frac{r}{R^2}} \quad (5-6)$$

a podobně jmenovatele rovnice (5-5) podělíme R a součinitel vedení tepla převedeme na levou stranu rovnice :

$$\frac{\alpha}{R} \cdot \frac{t - t_1}{t_0 - t_1} = \frac{\partial \left( \frac{t}{t_0 - t_1} \right)}{\partial \frac{r}{R}} \quad (5-7)$$

V obou rovnicích (5-6) a (5-7) nahradíme výraz  $\frac{\partial \left( \frac{t}{t_0 - t_1} \right)}{\partial \frac{r}{R}}$  výrazem totožným  $\frac{\partial \left( \frac{t - t_1}{t_0 - t_1} \right)}{\partial \frac{r}{R}}$  (neboť  $t_1 = \text{konst.}$ ) a rovněž tisk výraz  $\frac{2}{r \cdot \partial \frac{r}{R^2}}$  nahradíme rovnocenným výrazem  $\frac{1}{\partial \frac{r^2}{R^2}} = \frac{1}{\partial \left( \frac{r}{R} \right)^2}$ .

Po této úpravě obdržíme :

$$\frac{\partial \left( \frac{t - t_1}{t_0 - t_1} \right)}{\partial \left( \frac{\alpha \cdot T}{R^2} \right)} = \frac{\partial^2 \left( \frac{t - t_1}{t_0 - t_1} \right)}{\partial \left( \frac{r}{R} \right)^2} + \frac{\partial \left( \frac{t - t_1}{t_0 - t_1} \right)}{\partial \left( \frac{r}{R} \right)^2} \quad (5-8)$$

$$\frac{\alpha \cdot R \cdot \frac{t - t_1}{t_0 - t_1}}{\lambda} = \frac{\partial \left( \frac{t - t_1}{t_0 - t_1} \right)}{\partial \left( \frac{r}{R} \right)} \quad (5-9)$$

Jednotlivé seskupení nezávisle proměnných označujeme :

$$\frac{\alpha \cdot R}{\lambda} = Bi \quad - \text{Biotovo číslo,}$$

$$\frac{\alpha \cdot T}{R^2} = Fo \quad - \text{Fourierovo číslo,}$$

$$\frac{r}{R} \quad - \text{je parametrické kriterium délkové a}$$

$$\left( \frac{t - t_1}{t_0 - t_1} \right) = \vartheta \quad - \text{je parametrické kriterium teplotní.}$$

Zavedením těchto označení, rovnice (5-8) a (5-9) se přeší do konečného tvaru :

$$\frac{\partial \vartheta}{\partial F_0} = \frac{\partial^2 \vartheta}{\partial (\frac{r}{R})^2} + \frac{\partial \vartheta}{\partial (\frac{r}{R})^2} \quad (5-10)$$

a

$$Bi \cdot \vartheta = \frac{\partial \vartheta}{\partial \frac{r}{R}} \quad (5-11).$$

Řešením rovnic (5-10) a (5-11) obdržíme ve funkcionální závislosti :

$$\vartheta = f(F_0; Bi; \frac{r}{R}) \quad (5-12)$$

což jest tvar vhodný ke zpracování pomocí diagramů nebo tabulek. Tabulky a diagramy se zpracovávají pro konkrétní poměr  $r/R$  a  $Bi$ . Tak jsou např. zpracovány pětimístné tabulky Rassela (převzato z [7]) pro hodnoty poměru  $r/R = 0,0; 0,5; 0,6; 0,7; 0,8; 0,9$  a  $1,0$  pro hodnoty Biotova čísla od  $0,05$  do  $\infty$ , uvedeny v příloze č. 10, tabulky XXXIII až XLVIII. Diagramy jsou pak zpracovány pro daný poměr  $r/R$  v souřadnicích  $\vartheta - F_0$ , přičemž hodnoty Biotova čísla tvoří v těchto souřadnicích soustavu lomených čer (zlom je způsoben změnou měřítka  $F_0$ ) - viz obr. 35 a 36.

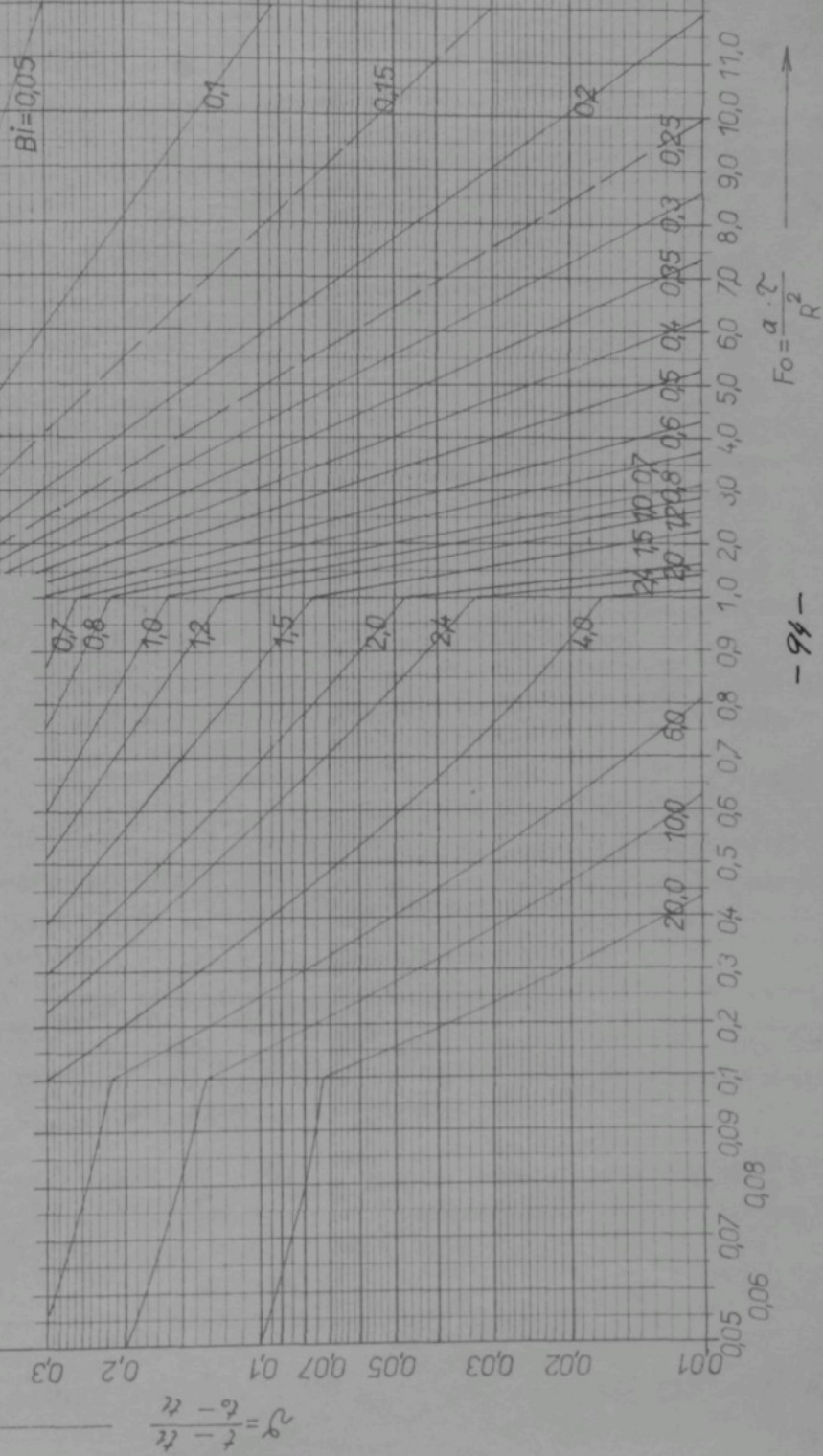
Pro neomezený válec jsou tyto diagramy uvedeny v [26].

Hledanou teplotu v příslušném místě průřezu vzorku (místo je dáno poměrem  $r/R$ ) určíme tak, že dle  $T$  a  $r$  pro konkrétní podmínky (tj. pro dané  $R, \alpha, \lambda, \alpha = f(t_p), t_0, t_2$ ) určíme hodnotu  $F_0$  a  $Bi$  a dle těchto z diagramu odečteme hodnotu  $\vartheta$ . Z této pak určíme hledanou teplotu  $t$ .

Použití této metody je vázáno znalostí křivky varu  $\alpha = f(t_p)$ . Tato závislost se získá z měřeného průběhu teploty povrchu při ochlazení vzorku metodou popsанou v následujícím odstavci.



Obr. 26 - Parametrické teplotní kriterium  
 $\frac{\partial}{\partial t} \left( f_1, B_i \right)$  pro povrch neomezeného valce  
 $(r/R = 1,0)$ .



## 5.2 Metoda určení křivky varu na základě naměřeného časového průběhu povrchové teploty vzorku při nestacionárním sdílení tepla při jeho ochlazení

Z předchozích ~~kétpíl~~<sup>kapitol</sup> a odstavců zřetelně plyně důležitost křivek varu při řešení tepelných pochodů ~~pro~~ procesu kelení. Existuje několik způsobů určení křivek varu, avšak ne všechny jsou vhodné k použití mimo rámec laboratorního sledování. Metoda, založená na měření časového průběhu povrchové teploty vzorku, není sice tak přesná, jako některé jiné metody, avšak tuto okolnost plně využívá možnost jejího širšího použití hlavně v podmírkách seriové výroby, kde se výhledově počítá se zavedením řízeného, tj. plně ovládaného procesu kelení.

Přesnost v určení závislosti součinitele přestupu tepla na teplotě povrchu vzorku při jeho ochlazení je jednoznačně závislá na přesnosti určení časového průběhu teploty povrchu vzorku, takže jak bylo dokázáno v odstavci 3.1.1 povrchovou teplotu lze stanovit pomocí termočlánku Ag-17 255 v provedení dle obr. 8c.

Navržená metoda spočívá v použití diagramů  $\vartheta = f(F_0, Bi)$  pro poměr  $r/R = 1,0$ . Tento diagram je ve zvětšeném měřítku proveden dle [26] a přílohy č. 11 na obr. 35 a 36. Obr. 35 představuje oblast malých hodnot Fourierova čísla pro hodnoty parametrického teplotního kriteria  $\vartheta = 0,3$  až  $1,0$ , obr. 36 představuje pak zbyvající část diagramu.

Schéma postupu určení součinitele přestupu tepla je následující :

1) známe:  $R, \alpha, \lambda, t_o, t_i$  a časový průběh teploty povrchu vzorku  $t_p = f(\tau)$ ;

2) pro jednotlivé hodnoty teploty povrchu  $t_p$  (jejich počet volíme podle toho, jak hustě chceme mít prokreslenou výslednou křivku) určíme hodnotu  $F_0 = \frac{\alpha \cdot \tau}{R^2}$  a  $\vartheta = \frac{t_p - t_i}{t_o - t_i}$ ;

- 3) dle  $\vartheta$  a  $\delta$  najdeme v diagramu obr. 35 a 36 příslušnou hodnotu  $Bi$ ;
- 4) z definice Biotova čísla určíme hodnotu součinitele přestupu tepla  $\alpha = Bi \cdot \frac{\lambda}{R}$ , příslušející volené teplotě povrchu  $t_p$ ;

Poznámky:

- 1) Součinitel vedení tepla  $\lambda$  a součinitel teplotové vodivosti  $\alpha$  jsou funkčemi teploty. Zanedbáme-li tuto závislost volbou jejich středních hodnot, výpočet se zjednoduší na úkor dosažené přesnosti;
- 2) výpočet křívky varu při uvažování závislosti  $\lambda$  a  $\alpha$  na teplotě je možno provést dvěma způsoby. Pro určení příslušné hodnoty  $\lambda$  a  $\alpha$  nutno znát závislosti  $\lambda = f(t)$  a  $\alpha = f(t)$  (neboť  $\alpha = \frac{\lambda}{c \cdot \rho \cdot 3600}$ ), avšak tyto závislosti jsou vztaženy na střední objemovou teplotu vzorku. Střední objemovou teplotu vzorku možno určit takto :
  - a) měří-li se kromě průběhu povrchové teploty ještě průběhy teplot delších míst průřezu vzorku, pak střední objemovou teplotu vzorku možno stanovit plnimetrováním z grafického znázornění teplotního pole v čase příslušném dané teplotě povrchu ;
  - b) nebo s použitím diagramů  $\delta = f(F_0; Bi)$  sestrojených pro střední teplotu v průřezu vzorku [26], což v případě neomezeného válce je teplota shodná se střední objemovou. Pro tuto operaci však již nutno znát závislost součinitele přestupu tepla na teplotě povrchu, takže řešení je možné postupným přiblížením.

Uvedenou metodou byly zpracovány závislosti součinitele přestupu tepla na teplotě povrchu vzorku, jež jsou znázorněny na obrázcích:

obr. 37 - pro vzorek V2, olej OL-J4 o teplotě 25 °C (dle měření č. 97, 98, 99 a 100),

- obr. 38 - pro vzorek V2, olej OL-J4 o teplotě 125 °C ( dle měření č. 102, 103, 104 a 105 ),  
obr. 39 - pro vzorek V2, olej OVB-31 o teplotě 50 °C ( dle měření 106, 107, 108 a 109 ),  
obr. 40 - pro vzorek V2, olej OVB-31 o teplotě 100 °C ( dle měření č. 110, 111, 112 a 113 ) ,  
obr. 41 - pro vzorek V2, olej OVB-31 o teplotě 145 °C ( dle měření č. 114, 115, 116 a 117 ),  
obr. 42 - pro vzorek V3, olej OL-J4 o teplotě 25 °C ( dle měření č. 118, 119, 120 a 121 ) ,  
obr. 43 - pro vzorek V3, olej OVB-31 o teplotě 100 °C ( dle měření č. 131, 132, 133 a 134 ).

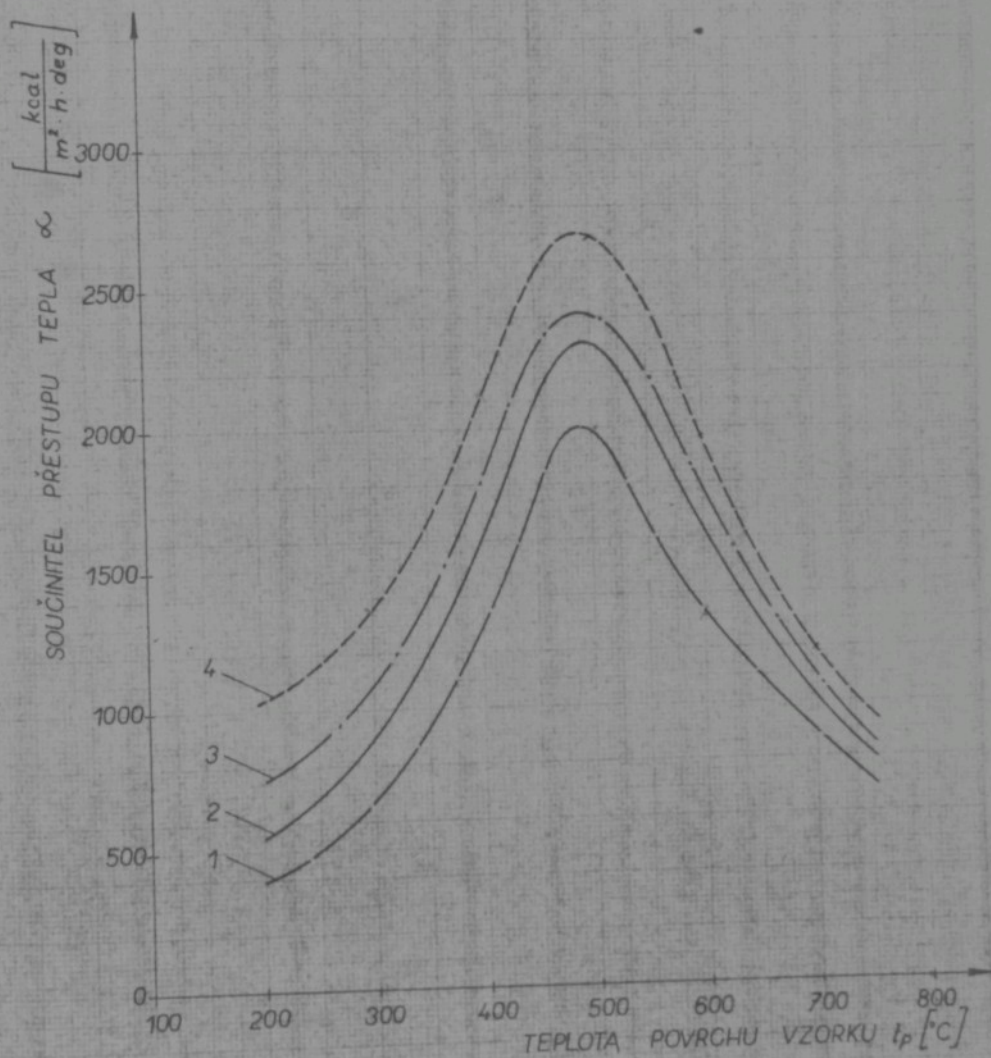
Ve všech případech bylo sledováno ochlazení vzorků z teploty 780 °C při rychlostech proužení kalici lázně od 0 do 1,0 m/s, pro teploty kalici lázně 25 až 145 °C .

Průběhy závislostí součinitele přestupu tepla na teplotě povrchu vzorku potvrzují správnost závěrů formulovaných v odstavcích 4.1 a 4.2, vztázených k povrchové teplotě. Tyto závěry možno doplnit hodnotou teploty, u níž dosahuje součinitel přestupu tepla svého maxima. U oleje OL-J4 je to při teplotě povrchu 470 až 490 °C a u oleje OVB-31 při teplotě povrchu 560 až 580 °C .

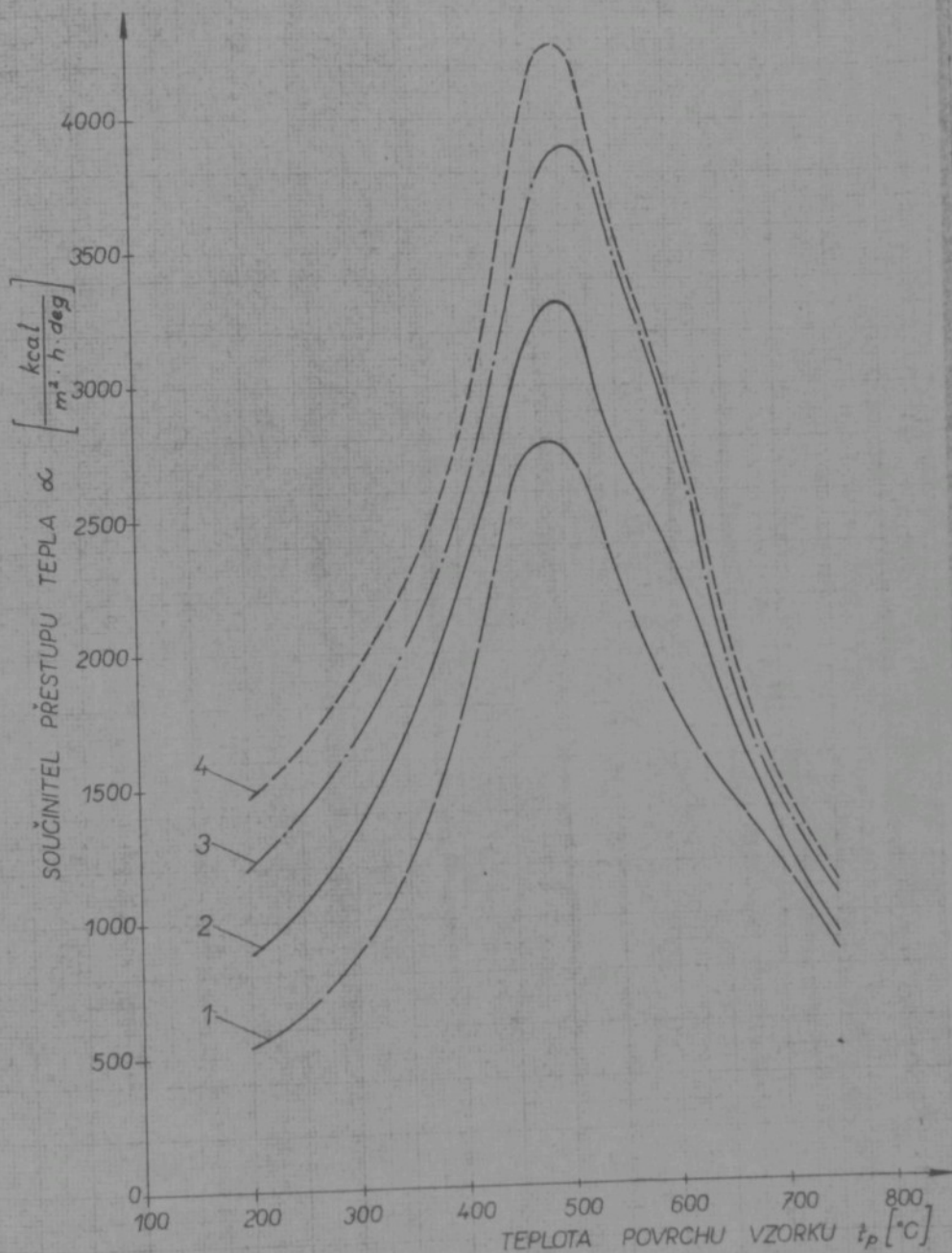
Výpočty závislostí  $\alpha = f(t_p)$  byly provedeny pro konstantní hodnoty součinitele vedení tepla a součinitele teplotové vodivosti.

Přesné stanovení těchto závislostí není ovšem možné vzhledem k tomu, že :

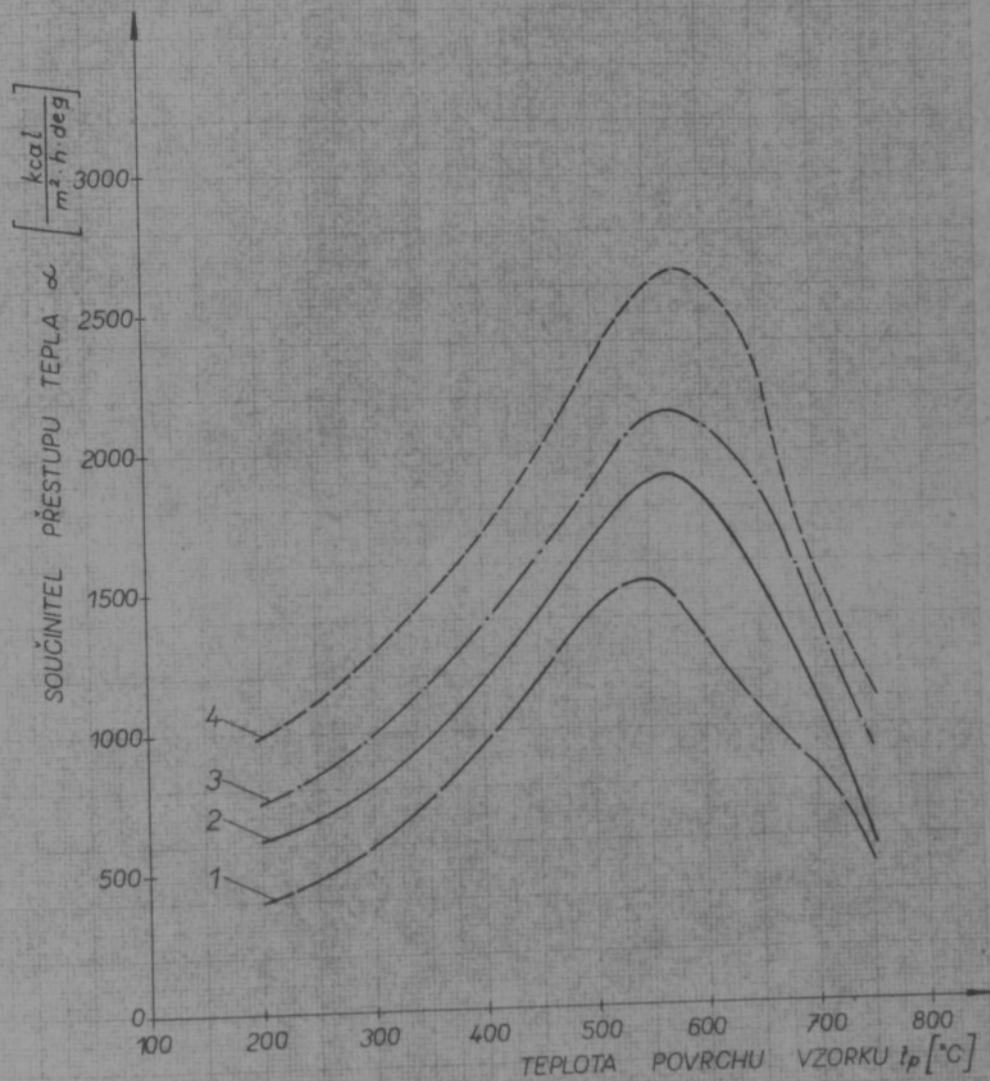
- 1) povrchová teplota vykazuje rozptyl měření, který je poměrně velký v oblasti ne stabilního filmového varu,
- 2) nelze zaručit odchylku v přesnosti určení teploty povrchu danou metodou od skutečné teploty.



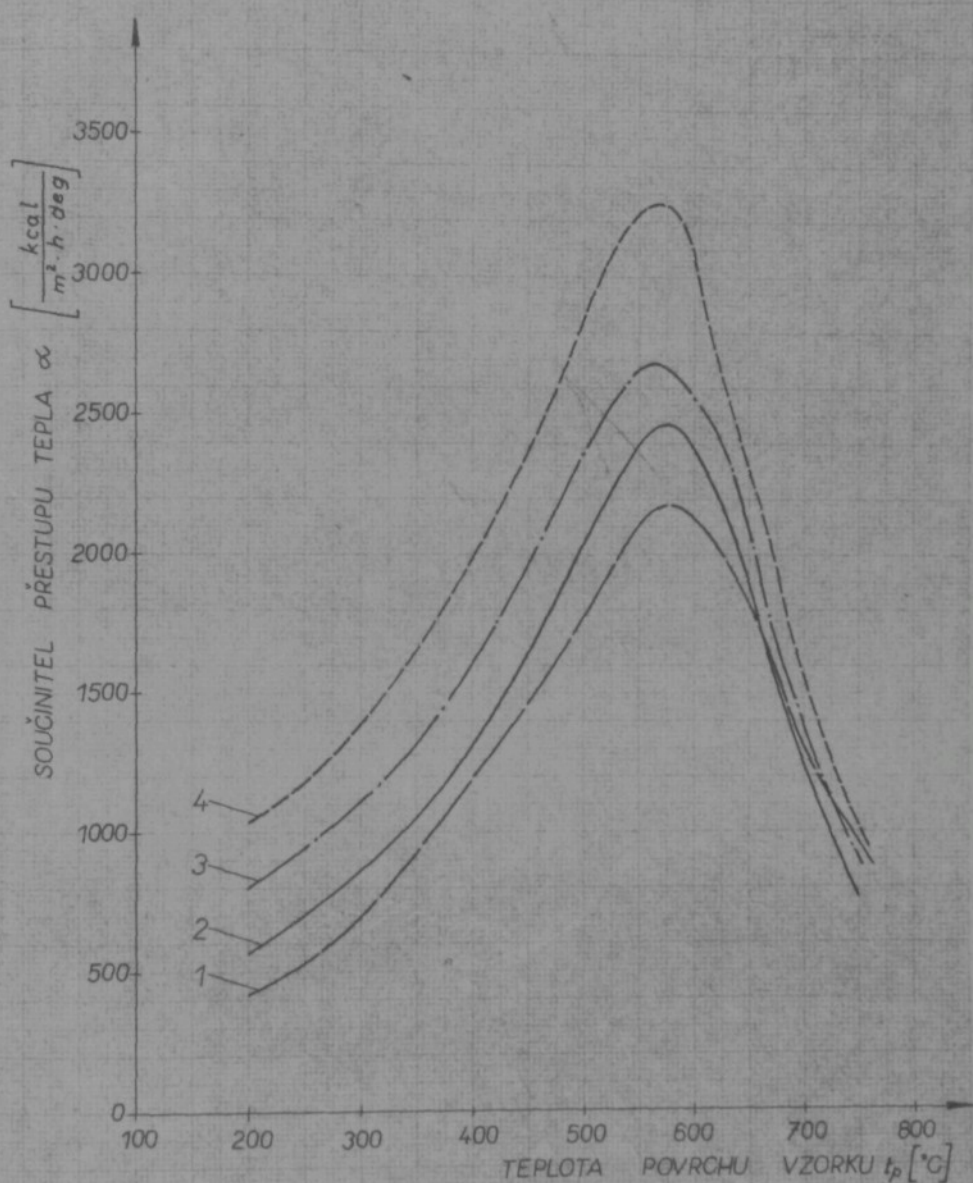
Obr. 37 - Závislost součinitelé přestupu tepla na teplotě povrchu vzorku V2 při jeho ochlazení z teploty 780 °C v oleji OL-J4 o teplotě 25 °C při rychlosti proudění : 1 - klidová kalicí lázén, 2 - 0,2 m/s, 3 - 0,49 m/s, 4 - 1,0 m/s.



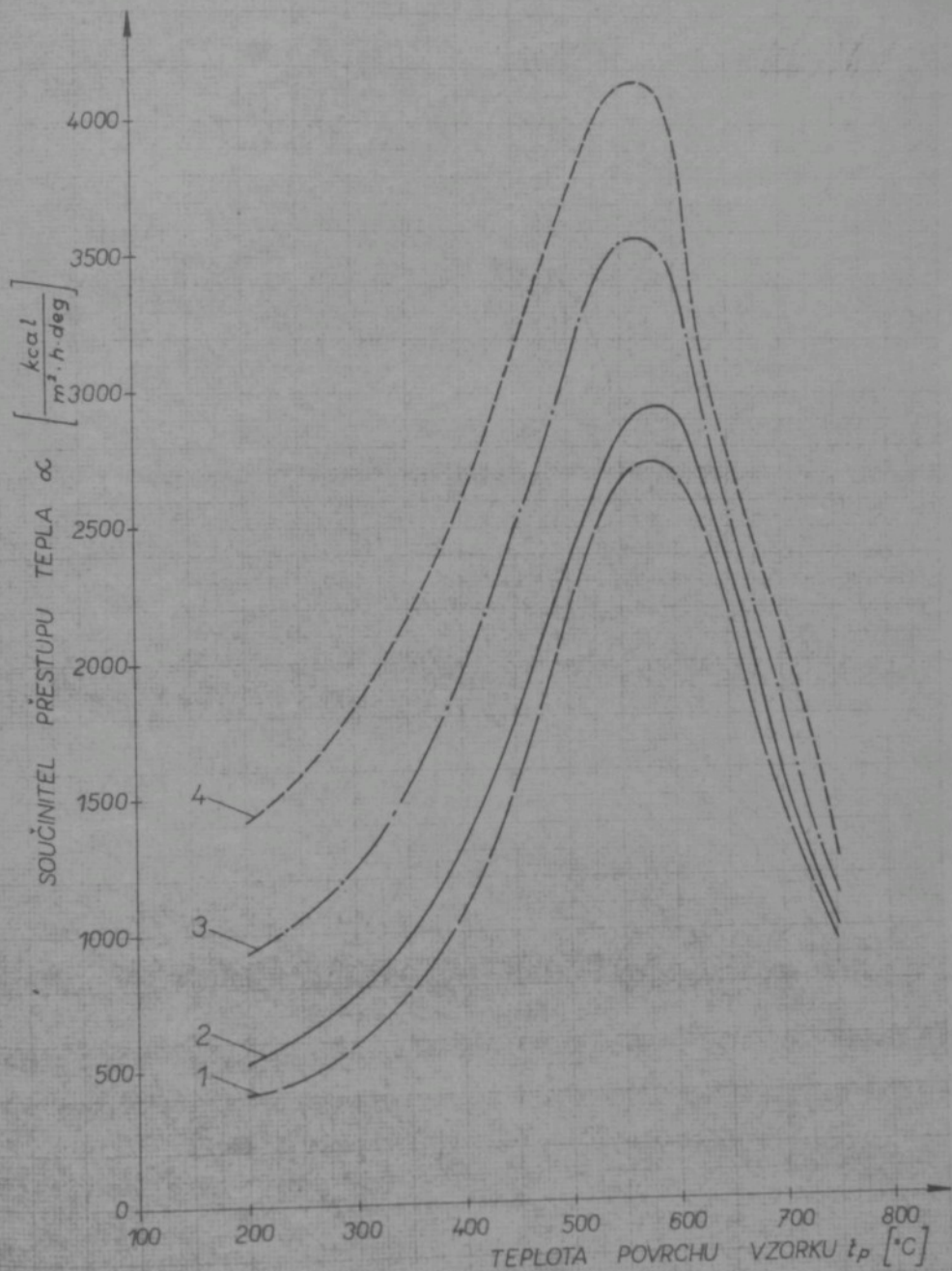
Obr. 38 - Závislost součinitelů přestupu tepla na teplotě povrchu vzorku V2 při jeho ochlazení z teploty 750 °C v oleji OL-J4 o teplotě 125 °C při rychlosti proudění : 1 - klidová kalici lázen, 2 - 0,192 m/s, 3 - 0,47 m/s, 4 - 0,96 m/s.



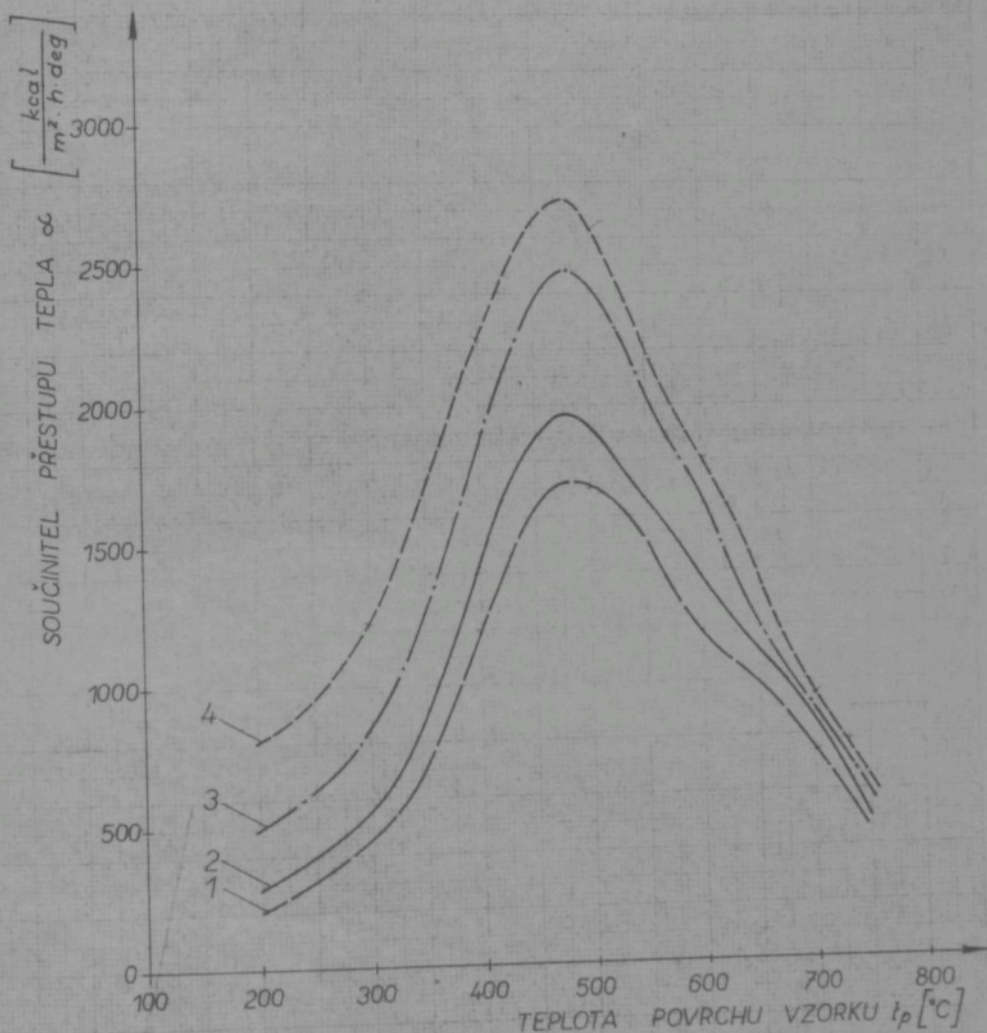
Obr. 39 - Závislost součinitele přestupu tepla na teplotě povrchu vzorku V2 při jeho ochlazení z teploty 780 °C v oleji OVB-31 o teplotě 50 °C při rychlosti proudění: 1 - klidová kalici lázen, 2 - 0,202 m/s, 3 - 0,495 m/s, 4 - 1,07 m/s.



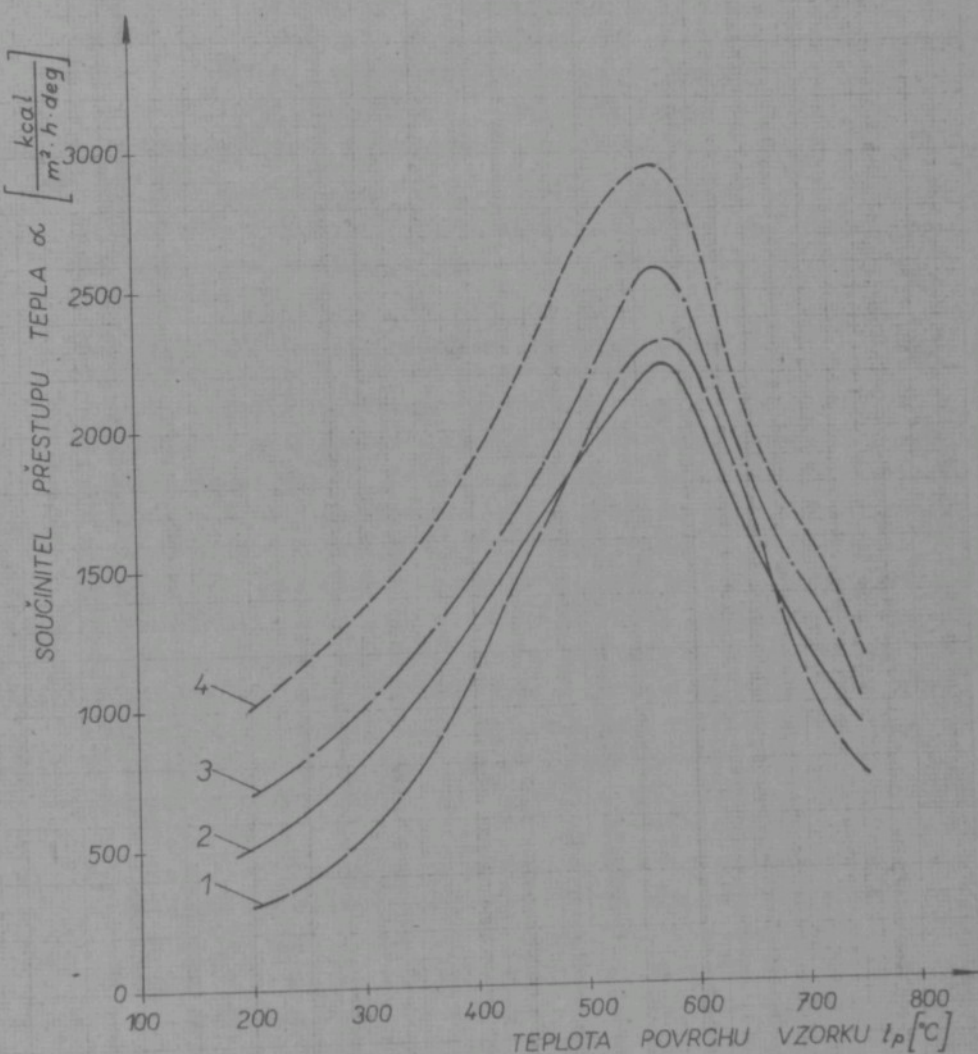
Obr. 40 - Závislost součinitela přestupu tepla na teplotě povrchu vzorku V2 při jeho ochlazení z teploty 780°C v oleji CVB-31 o teplotě 100 °C při rychlosti proudění : 1 - klidová kalicí lázen, 2 - 0,197 m/s, 3 - 0,485 m/s, 4 - 0,99 m/s.



Obr. 41 - Závislost součinitelé přestupu tepla na teplotě povrchu vzorku V2 při jeho ochlazení z teploty 780 °C v oleji OVB-31 o teplotě 145 °C při rychlosti proudění: 1 - klidové kalici 16 žen, 2 - 0,197 m/s, 3 - 0,485 m/s, 4 - 0,99 m/s.



Obr. 42 - Závislost součinitelu přestupu tepla na teplotě povrchu vzorku V3 při jeho ochlazení z teploty  $780^{\circ}C$  v oleji OL-J4 o teplotě  $25^{\circ}C$  při rychlosťi proudu: 1 - klidové kalici lázen, 2 -  $0,21 \text{ m/s.}$ , 3 -  $0,558 \text{ m/s.}$ , 4 -  $1,02 \text{ m/s.}$



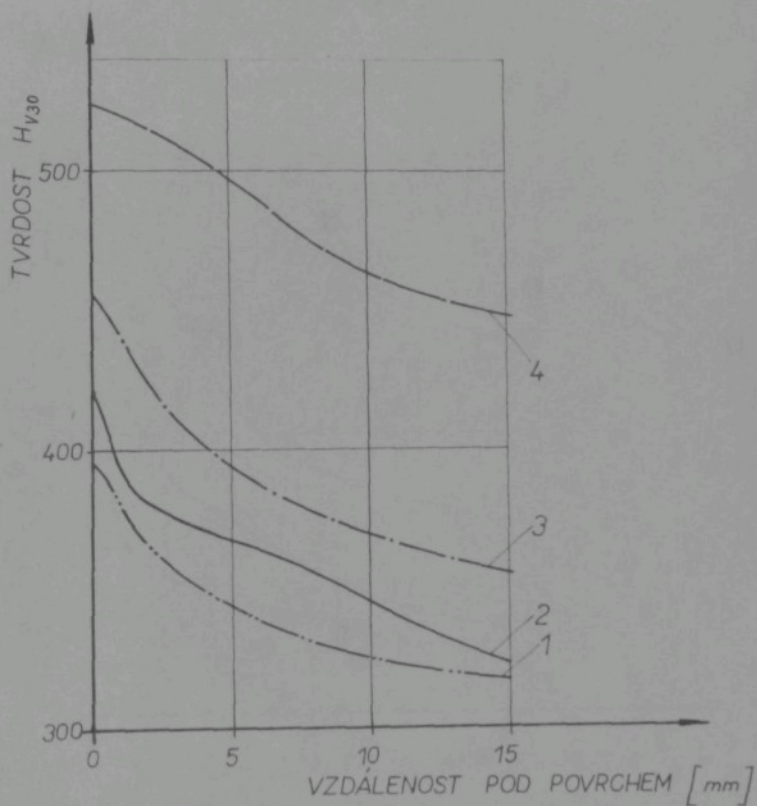
Obr. 43 - Závislost součinitele přestupu tepla na teplotě povrchu vzorku V3 při jeho ochlazení z teploty 780 °C v oleji CVB-31 o teplotě 100 °C při rychlosti proudění: 1 - klidová kalvíci lázen, 2 - 0,205 m/s, 3 - 0,55 m/s, 4 - 1,0 m/s.

Provede-li se porovnání získaných závislostí s velmi kusými údaji v literatuře, možno soudit, že závislosti v celku dobře vyhovují, což znamená, že pro technickou praxi je lze plně doporučit. Jistě by bylo účelné propracování přesnější metody k určení závislosti  $\alpha = f(t_p)$ , avšak tato otázka je velmi náročná a nebyla uvažována v programu této práce.

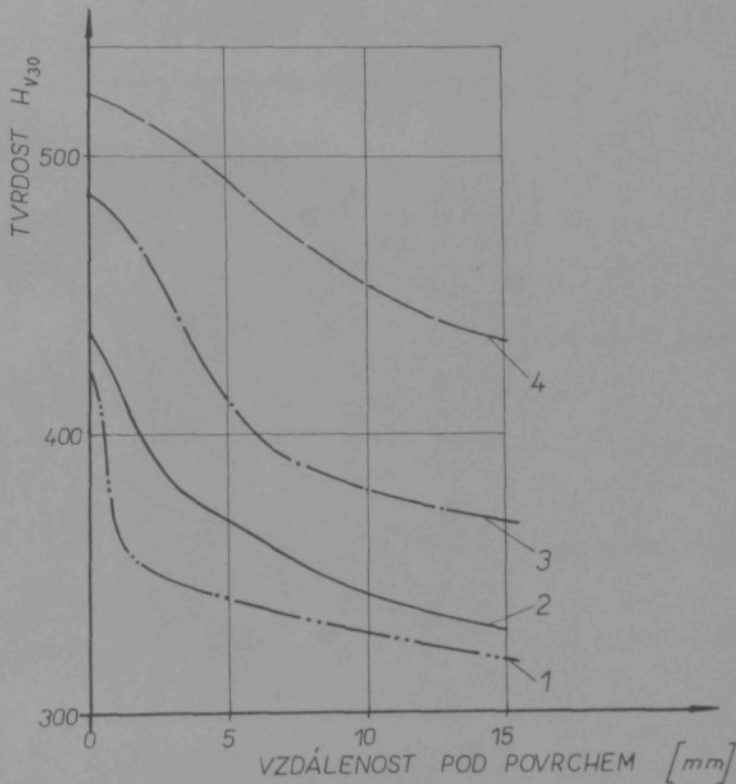
Přes uvedené nedostatky je třeba podotknout, že v dostupné literatuře se nenašází vůbec závislosti  $\alpha = f(t_p)$  zpracované pro různé rychlosti uspořádaného proudění olejové kalici lázně.

### 5.3 Praktické použití zobecnění výsledků měření

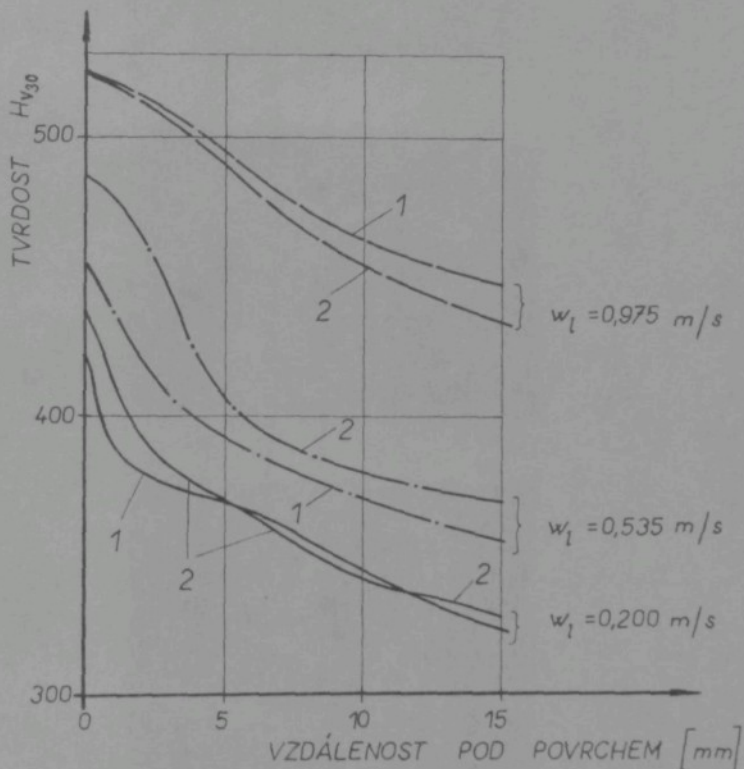
V kapitole 4. odstavcích 4.1 a 4.2 byly formulovány závěry k rychlosti ochlazování vzorků v závislosti na různých parametrech kalici lázně. Vzniká otázka, na kolik se tyto závěry mohou aplikovat na případy praktického kalení. Přitom je třeba upozornit, že úkolem této kapitoly není dát široký přehled o praktickém použití výsledků studia tepelných pochodů při kalení se zřetelem na vlastnosti širokého sortimentu kaleného materiálu. Cílem je ověřit možnost aplikace závěrů kapitoly 4. a navržené metody určení součinitele přestupu tepla v závislosti na teplotě povrchu vzorku. K tomuto účelu byly zakaleny válcové vzorky o Ø 30 mm z materiálu 15 241, jehož laboratorní ověřené chemické složení je následující : C = 0,52 %, Mn = 0,67 %, Si = 0,14 %, Cr = 1,82 %, V = 0,32 %, Ni = 0,21 %, P = 0,026 %, S = 0,021 %. Byly proměřeny tvrdosti po průřezu a ve dvou případech proveden metalografický rozbor. Výsledky těchto zkoušek jsou znázorněny na obrázcích obr. 44 až 48. Na obr. 44 jsou závislosti tvrdosti po průřezu pro vzorky zakalené v oleji OL-J4 o teplotě 25°C při různých jeho rychlostech proudění. Na obr. 45 jsou tytéž závislosti pro vzorky kalené v oleji OL-J4 o teplotě 75 °C a na obr. 46 je provedeno porovnání tvrdosti po průřezu vzorků pro shodné rychlosti proudění lázně, avšak pro různou její teplotu. Na obr. 47 jsou fotografie mikrostruktury v místech : A - asi 3mm



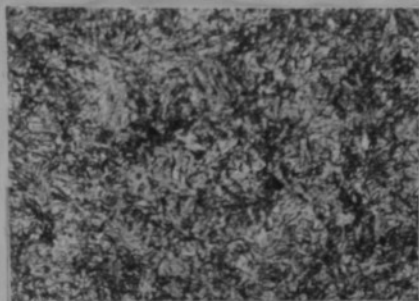
Obr. 44 - Tvrdoost  $H_{V30}$  po průřezu válcových vzorků  $\varnothing 30$  mm z materiálu 15 241 klených do oleje OL-J4 o teplotě 25 °C a rychlostech proudní: 1 - klidová kalici lázení, 2 - 0,21 m/s, 3 - 0,558 m/s, 4 - 1,02 m/s.



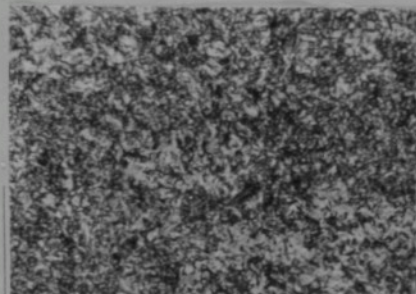
Obr. 45 - Tvrnost  $H_{V30}$  po průřezu válcových vzorků Ø 30 mm z materiálu 15 241 kalených do oleje OL-J4 o teplotě 75 °C a rychlostech proudění : 1 - klidová kalicí lázeň, 2 - 0,2 m/s, 3 - 0,535 m/s, 4 - 0,975 m/s.



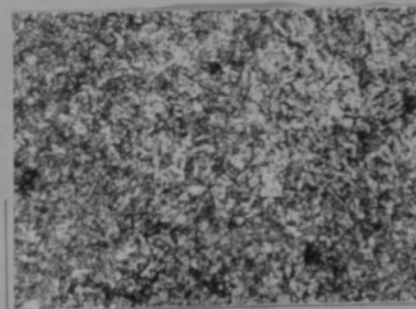
Obr. 46 - Porovnání tvrdosti  $H_{V30}$  po průze válcových vzorků  $\varnothing 30 \text{ mm}$  z materiálu 15 241 kalených do oleje OL-J4 při shodných rychlostech proužení a různých teplotách lázně : 1 -  $25^\circ\text{C}$ , 2 -  $75^\circ\text{C}$ .



Nitral 500x

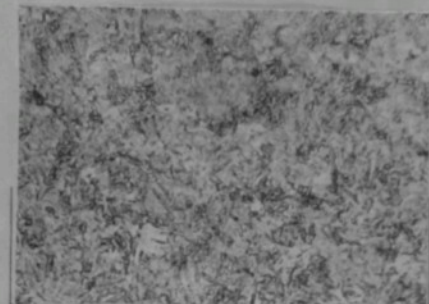


Nitral 500x



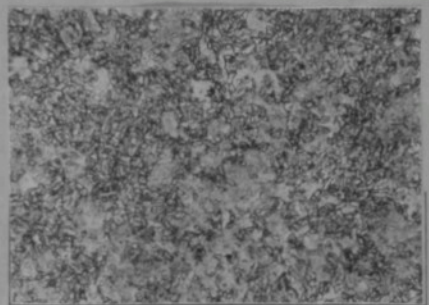
Nitral 500x

Obr. 47 - Fotografie mikrostruktury vzorku  $\varnothing 20$  mm z materiálu 15 241 kaleného v oleji ŠL-J4 o teplotě 25°C a rychlosti proudění 0,558 m/s v místech : A - 3 mm pod povrchem, B - ve vzdálenosti  $R/2$ , R - v ose vzorku.



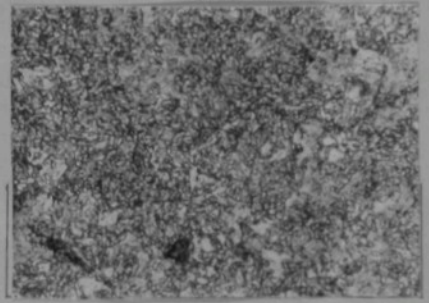
Nital 500x

A



Nital 500x

B



Nital 500x

R

Obr. 48 - Fotografie mikrostruktury vzorku  $\varnothing$  30 mm z materiálu 15 241 kaleného v oleji OL-J4 o teplotě 75 °C a rychlos ti proudění 0,535 m/s v místech : A - 3 mm pod povrchem, B - ve vzdálenosti R/2, R - v ose vzorku.

pod povrchem, B - ve vzdálenosti  $R/2$  pod povrchem a R - v ose vzorku kaleného v oleji OL-J4 o teplotě  $25^{\circ}\text{C}$  a rychlosti proudění  $0,558 \text{ m/s}$  a na obr. 48 jsou fotografie mikrostruktury v těchž místech vzorku kaleného v oleji OL-J4 o teplotě  $75^{\circ}\text{C}$  a rychlosti proudění  $0,535 \text{ m/s}$ .

Z obrázků 44 a 45 je patrné potvrzení závěrů formulovaných v odstavci 4.1, neboť :

- 1) s růstem rychlosti proudění roste tvrdost výsledné struktury po zakalení vzorku a rovněž tak roste prokalitelnost ( křivky tvrdosti po průřezu s rostoucí rychlostí proudění lázně mají k ose úseček menší sklon, což je zvláště výrazné u křivky č. 4 ) ;
- 2) při kalení do klidové lázně je výsledná tvrdost velmi blízká tvrdosti odpovídající kalení do lázně proudící rychlostí  $0,2 \text{ m/s}$ , přičemž jsou zde patrný vlivy subjektivního činitele ( dvě údobi procesu kalení do klidové lázně ) ;
- 3) srovnání křivek 2, 3 a 4 potvrzuje část závěru 6 v odstavci 4.1 ve vztahu k oblasti martensitické přeměny. Je možno předpokládat, že vliv rychlosti proudění lázně kvantitativně bude stejný pro všechny kalené materiály ve vztahu k výsledné struktuře, tj. s růstem rychlosti proudění poroste tvrdost výsledné struktury a naopak, avšak kvantitativně se zřejmě projeví u každého materiálu jinak vzhledem k jejich různým teplotám počátku martensitické přeměny.

- Rovněž tak obr. 46 potvrzuje závěry z odstavce 4.2, neboť: pro daný materiál se vliv teploty lázně z  $25^{\circ}\text{C}$  na  $75^{\circ}\text{C}$  neprojevuje zvlášť výrazně, i když je možno říci, že právě teplota lázně bude příliš ovlivňovat výslednou strukturu různých kalených materiálů v důsledku jejich různé teploty počátku martensitické přeměny.

Dalším potvrzením spravnosti těchto závěrů ( odstavce 4.1 a 4.2 ) je sledování struktury po zakalení. Porovnejme

předpokládanou strukturu, kterou bychom měli obdržet po zákalení daného vzorku v lázni o zcela určitých parametrech, tj. teplotě a rychlosti proudění, se strukturou obdrženou metalografickým rozborem - viz obr. 47 a 48. Ze tímto účelem byly na základě známého průběhu povrchové teploty vypočteny příslušné závislosti  $\alpha = f(t_p)$  ( metodou, zpracovanou v odstavcích 5.1 a 5.2 ), a na základě těchto vypočteny průběhy teplot pro vzorek o  $\varnothing 30$  mm z materiálu 15 241 v místech :

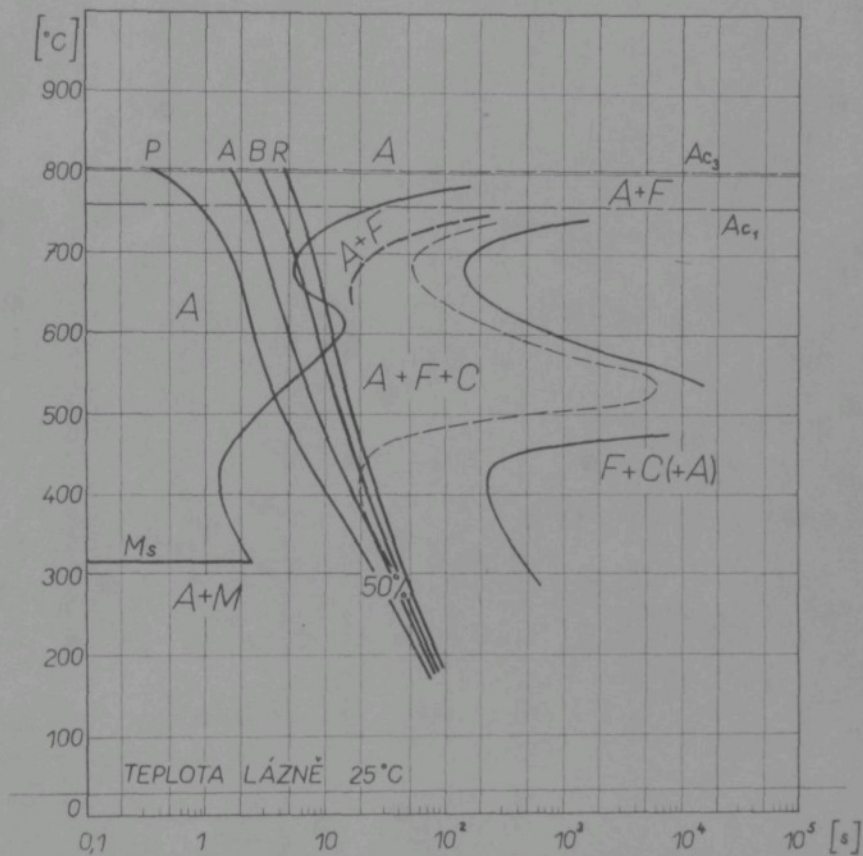
- a) na povrchu ,
- b) 3 mm pod povrchem ,
- c) ve vzdálenosti  $R/2$  pod povrchem a
- d) v ose vzorku.

( Poznámka : při výpočtu teplotních průběhů vzorku bylo uvažováno  $\lambda = \text{konst}$  a nebylo bráno na zřetel překrystalisáční teplo při změně  $A_{cl}$  ).

Takto vypočtené průběhy jsou pak transformovány do diagramu IRA příslušného materiálu přejatého z [12], viz obr. 49 a 50.

Pro ověření správnosti vypočtených průběhů teplot dle obr. 50 byla provedena samostatná zkouška. Z materiálu 15 241 byl zhodnocen zkušební vzorek o  $\varnothing 30$  mm a v místech B a R zbudován termočlánky. Při ochlazení vzorku z kalicí teploty byly průběhy teplot v těchto místech zaregistrovány. Výsledné průběhy teplot jsou pak transformovány do diagramu IRA, viz obr. 51. Na těchto křivkách je zřetelná prodleva při teplotě asi  $670^{\circ}\text{C}$ , která je způsobena vlivem překrystalisace odpovídající změně  $A_{cl}$ , přičemž je zde patrná značná termická hysterese způsobená velkou rychlosí ochlazování. Srovnáním odpovídajících průběhů teplot dle obr. 50 a 51 možno soudit na přesnost výpočtu provedeného popsaným způsobem. Ze srovnání plyne, že přesnost výpočtu je pro praktické účely plně vyhovující.

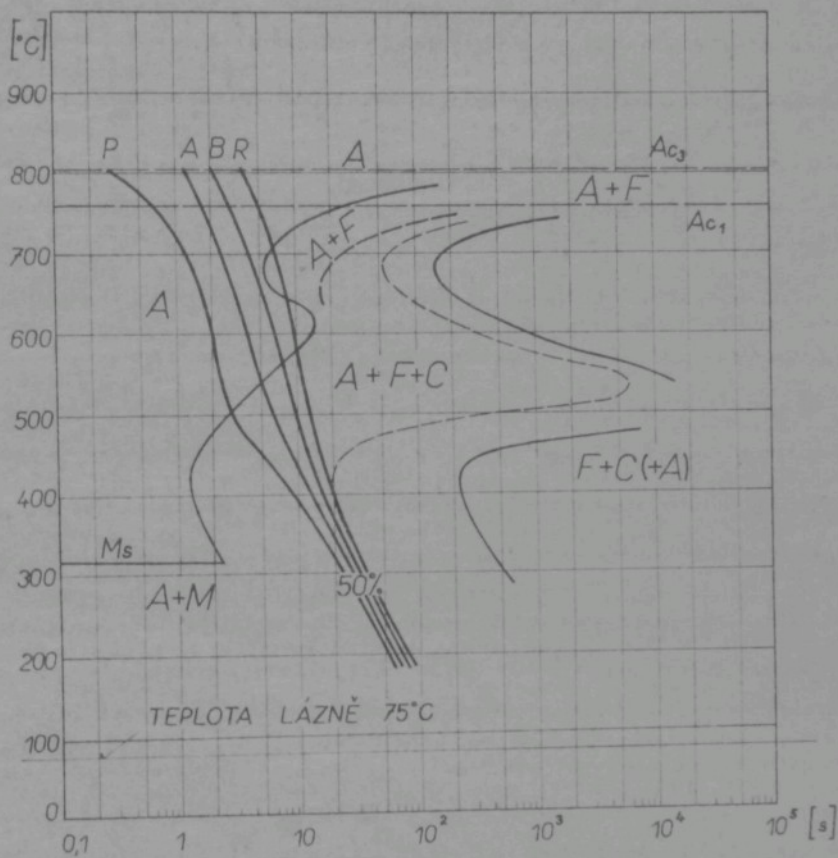
Z obrázků 49 až 51 lze odhadnout, že výsledná struktura zákaleného vzorku v lázni teplotě  $25^{\circ}\text{C}$  bude obsahovat v místě



AUSTENITIZACE	TEPLOTA	870 °C
	DOBA	15 min
VELIKOST ZRNA		9

$Ac_3$	802 ± 8 °C
$Ac_1$	758 ± 5 °C
$M_s$	315 ± 8 °C

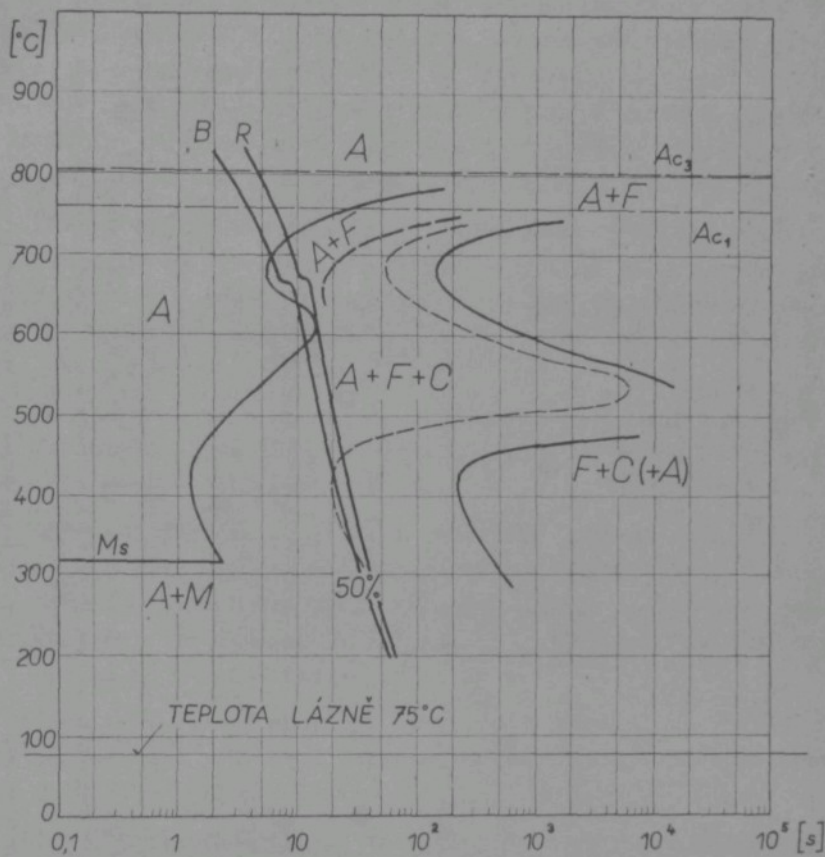
Obr. 49 - Transformované průběhy teplot do diagramu IRA pro vzorek Ø 30 mm z materiálu 15 241 při jeho ochlazení z teploty 870 °C v oleji OL-J4 o teplotě 25 °C a rychlosti proudění 0,558 m/s v místech : P - povrch, A - 3 mm pod povrchem, B - ve vzdálenosti R/2 a R - v ose vzorku.



AUSTENITIZACE	TEPLOTA DOBA	870 °C 15 min
VELIKOST ZRNA		9

Ac <sub>3</sub>	802 ± 8 °C
Ac <sub>1</sub>	758 ± 5 °C
Ms	315 ± 8 °C

Obr. 50 - Transformované průběhy teplot do diagramu IRA pro vzorek Ø 30 mm z materiálu 15 241 při jeho ochlazení z teploty 870 °C v oleji OL-J4 o teplotě 75 °C a rychlosti proudění 0,535 m/s v místech: P - povrch, A - 3 mm pod povrchem, B - ve vzdálenosti R/2 a R - v ose vzorku.



AUSTENITIZACE	TEPLOTA	870°C
	DOBA	15 min
VELIKOST	ZRNA	9

Ac <sub>3</sub>	802 ± 8°C
Ac <sub>f</sub>	758 ± 5°C
Ms	315 ± 8°C

Obr. 51 - Transformované průběhy teplot do diagramu IRA, získané přímým měřením na vzorku Ø 30 mm z materiálu 15 241 při jeho ochlazení v oleji OL-J4 o teplotě 75 °C a rychlosti proudění 0,535 m/s v místech: B - ve vzdálosti R/2, R - v ose vzorku.

B a R malé množství feritu a kolem 45 % martensitu v jádře vzorku a kolem 60 % na jeho povrchu. Rovněž tak výsledná struktura zkaleného vzorku v lágni o teplotě 75 °C bude obsahovat v jádře vzorku ( dle naměřeného průběhu také v místě B ) malé množství feritu a kolem 50 % martensitu v jádře a kolem 60 % na jeho povrchu. ( Tento odhad je proveden pro hodnotu teploty  $M_s$  ).

Pro porovnání těchto odhadů byl proveden metalografický rozbor, který dává procentové složení výsledné struktury v uspokojivé shodě s odhadem provedeným na základě transformovaných průběhů teplot do diagramu IRA, což je zřejmé i z obrázků obr. 47 a obr. 48.

Metalografické vyhodnocení rovněž potvrzuje vcelku malý vliv teploty olejové lázně v rozsahu teplot od 25 do 75 °C na výslednou kvalitu klených vzorků.

Závěrem této části je možno zhodnotit možnost ovládnutí procesu klení. Tím je rozuměno nastavení tekových podmínek ochlazování klených součástí, aby bylo dosaženo předem požadované výsledné struktury. Je zřejmé, že takováto možnost existuje, je však podmínka těmito požadavky :

- 1) proces ochlazování musí být řízen, což znamená, že kalici lázen se musí pohybovat jednoznačně uspořádaným nuceným proudem;
- 2) dále je třeba mít možnost teoretického rozboru tepelných pochodů, aby bylo možno volit vhodnou teplotu lázně a rychlosť jejího proudění ještě před běžnými kalicími zkouškami. Přitom řešení tepelných průběhů sledovaných vzorků je třeba provést pro provozní podmínky klení. Tak např. je třeba mít na zřeteli, že hodnota součinitele přestupu tepla je v oblasti čisté konvekce závislá, mimo jiné, na charakteristickém rozměru, dále, že rychlosť ochlazování je rozdílná pro samostatný vzorek a pro svazek vzorků, neboť je tím ovlivněn charakter proudění spod. Je však třeba zdůraznit, že současný stav znalostí podkladů pro řešení tepelných pochodů zdaleka nedává

možnost uspokojivého řešení.

Jako náměty pro dálší výzkum k prohloubení znalosti podmínek při kalení by bylo možno uvést v ČSSR dosud buď vůbec neřešené, nebo jen částečně řešené otázky jako :

- a) tepelně-fyzikální vlastnosti olejů vhodných pro tepelné zpracování ocelí;
  - b) tepelně-fyzikální vlastnosti ocelí;
  - c) vypracování metody přímého měření teploty povrchu vhodné pro použití při kalení z teploty až  $900^{\circ}\text{C}$  ( případně i vyšší );
  - d) sledování tepelných pochodů jednak u vzorků různých tvarů, jednak při jejich různém prostorovém uspořádání ve svazku, na různých přípravcích; sledovat případně i vhodnější uspořádání celé vsázkys;
  - e) současné provádění i metalografického zhodnocení vlivu vnějších podmínek kalení při uspořádání proudění lázně;
  - f) navrhnout zkušební zařízení, které by umožňovalo dostatečně přesně sledovat ochlazování vzorků při různých podmínkách kalení, případně při různém jejich uspořádání.
- 3) Neméně důležitým požadavkem je i samotné zařízení, které musí umožňovat řízený proces kalení. Naprostot k tomu nestačí pouhá kalicí vana. Jako příklad takového zařízení může sloužit zařízení dle ČS 57, které se v provozu plně osvědčilo. Jeho významem je kalení celé vsázkys v intensifikovaném proudu oleje.

Závěr

Předložená kandidátská práce se zabývá výzkumem tepelných pochodů při kolení do oleje se zvláštním zřetelem v řízeném proudu oleje. Rychlosť ochlazování byla sledována na vzorcích válcového tveru různých průměrů při jejich podélném obtékání nuceným proudem oleje ve svislé kruhové kalici ven. Volba nuceného uspořádání proudení kalici lázně sledovala objasnění podmínek k ovládnutí procesu kolení. Z těchto podmínek je nejdůležitější teplota lázně a rychlosť jejího proudění. Tím je možné splnit požadavky na kv. litu výsledné struktury materiálu po jeho zekolení volbou vhodné rychlosťi ochlazování.

Zkušební vzorky byly zhotoveny z austenitické oceli AKC 17 255. Průběhy teplot byly měřeny na povrchu vzorků, 1 až 3 mm pod povrchem, ve vzdálenosti  $R/2$  a v ose. Pro zkoušky byly vybrány dva druhy olejů pro kolení lázeň: ložiskový olej OL-J4 a válcový olej OVB-31. Tvar zkušebních vzorků a způsob obtékání vzorků olejem byl volen na základě provozních zkušeností z n.p. LIAZ Rýnovice, kde již několik let pracuje v provozu zařízení pro kolení průtočným principem ČS 7. Zařízení pracuje s vysokou produktivitou jako jediné zařízení tohoto druhu v naší republice a bylo vyprojektováno pracovníky ústavu termomechaniky (VŠST Liberec) pod vedením prof. Ing. Dr. Karla Sýkory.

Sledování tepelných pochodů při nuceném podélném proudění kalici lázně nebyly dosud ani ve výzkumných ústavech, ani v praxi věnovány příslušná pozornost.

Rychlosť ochlazování kolených vzorků je podmíněna sdílením tepla na rozhraní povrchu vzorku a kalici lázně. Proto je velmi důležité získat průběh povrchové teploty vzorků při jejich ochlazování. Přímé měření povrchové teploty při kolení, kdy dochází ke značným změnám teploty, je technicky

velmi náročné.

V kandidátské práci je proveden podrobný rozbor známých způsobů přímého měření povrchové teploty a je zdůvodněno použití nejvhodnějšího způsobu. Měřící technice teplot uvnitř vzorků byla rovněž věnována značná pozornost a použitím ministurních termočlánků bylo docíleno toho, že homogenita vzorků byla narušena pokud možná co nejméně.

Na základě experimentálního sledování průběhu teplot při ochlazování vzorků v olejové lázni při různých teplotách a rychlostech proudění lázně byl formulován vliv rychlosti proudění lázně a vliv její teploty na rychlosť ochlazování vzorků.

Výsledky experimentů ukazují, že má-li se ovládnout proces kelení je nutné volit nucený uspořádaný pohyb kalicí lázně vůči kelenému předmětu. Řízením teploty a rychlosti proudění lázně je pak možno řídit samotný proces ochlazování kelených dílů s tím i jejich kvalitu po zakelení. Tyto závěry jsou podrobně zpracovány z hlediska tepelných pochodů a potvrzeny metalografickými zkouškami na vzorcích z materiálu 15 241.

V práci je provedeno také analytické řešení teplotního pole válcového vzorku při jeho ochlazování v oleji. Pro určení nezbytné závislosti součinitele přestupu tepla na teplotě povrchu vzorku [ $\alpha = f(t_p)$ ] je vypracována metoda, založená na využití naměřených průběhů teploty povrchu. Dle této závislosti pak je možno analyticky řešit průběhy teplot v kterémkoliv místě průřezu zkoumáного tělesa. Takto získané průběhy teplot je možno transformovat do diagramů IRA nebo ARA daného materiálu a z těchto předběžně určit výslednou strukturu po zakelení, případně odvodit opravu parametrů kalicí lázně ( teplota a rychlosť proudění ), je-li výsledek neuspokojivý.

V rámci předložené práce byl řešen pro jednoduchost a zvládnutí analytického řešení případ samostatného válce, což v praxi bývá splněno málo kdy. Výsledky zkoušek mohou však

být v mnoha směrech aplikovány na další případy. V prvé řadě je možno aplikovat způsob měření teploty povrchu, metodu určení závislosti součinitele přestupu tepla na teplotě povrchu a tím i analytické řešení teplotního pole kaledých dílů.

Červen 1966

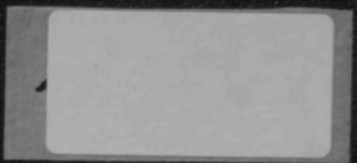
Hynčík

Literatura

- ✓ 1 ✓ CZOKÁN, P. - BERÁN, L. - ALERECHT, G.: Abschrecken  
in strömendem Mineralöl unter Druck. =  
" Stahl und Eisen," 79, 1959, č.2, s.102-  
- 104.
- ✓ 2 ✓ ČIRKIN, V.S.: Teplofizičeskie svojstva materi-  
alov. Moskva, Fizmatgiz 1959. 356 s.
- ✓ 3 ✓ EKKERT, E.R. - DREJK, R.M.: Teorija teplo i masso-  
obmena. Moskva, Gosenergoizdat 1961. 679 s.
- ✓ 4 ✓ EILENDER, W. - AREND, H. - MINTROP, R.: Ueber die  
Abschreckwirkung von Härtewmitteln in  
Abhängigkeit vom Querschnitt. = " Fer-  
tigungstechnik," 8, August 1944, s.208 -  
- 212.
- ✓ 5 ✓ HYNČICA, V.: Návrh zařízení pro kalení do horké-  
ho oleje průtočným principem.  
Zpráva č.62 - 102, VŠST Liberec, Ústav  
termomechaniky, 1962. 23 s.
- ✓ 6 ✓ HYNČICA, V.: Písemná práce k aspirantskému minimu.  
VŠST Liberec, 1965. 52 s.
- ✓ 7 ✓ IVANCOV, G.P.: Nagrev matalla.  
Moskva, Metallurgizdat 1948. 187 s.
- ✓ 8 ✓ JAREŠ, V.: Metalografie ocele.  
Praha, ČSAV 1960. 275 s.
- ✓ 9 ✓ BENZINA, n.p. Praha . Katalog pohonného látek,  
maziv a jiných výrobků zropy. 1961. 94 s.
- ✓ 10 ✓ KRAUS, K.: Zvyšování ochlazovací schopnosti kali-  
cích olejů ultrazvukem. = "Hutník" 8, č.1,  
s. 32 - 33. (Vychází z původní literatury:

- BULAT, T.J.: "Iron Age", č. 9, 1956.
- ✓ 11 ✓ KRAUS, V.: Výzkumná zpráva SVÚMT č. Z - 57 - 560.  
1958. (Také: Doplňky k překladu publikace  
✓ 20 ✓ ).
- ✓ 12 ✓ KRAUS, V.: Atlas diagramů pro zušlechtování kon-  
strukčních ocelí. Praha, SNTL 1964. 171 s.
- ✓ 13 ✓ KONDRAT'JEV, G.M.: Reguljarnyj teplovoj režim.  
Moskva, Gosudarstvennoje izdatelstvo tech-  
niko-teoretičeskoy literatury, 1954. 408 s.
- ✓ 14 ✓ KUTATELADZE, S.S.: Osnovy teorii teploobmena.  
2. vydání. Moskva, Mašgiz 1962. 455 s.
- ✓ 15 ✓ LYKOV, A.V.: Teorija teploprovodnosti. Moskva,  
Gosudarstvennoje izdatelstvo techniko-  
-teoretičeskoy literatury, 1952. 392 s.
- ✓ 16 ✓ MAK ADAMS, V.CH.: Teploperedacha. Moskva, Metal-  
lurgizdat, 1961. 686 s.
- ✓ 17 ✓ MICHEJEV, M.A.: Základy sdílení tepla. Praha,  
SNTL 1953. 382 s.
- ✓ 18 ✓ MICHEJEV, M.A.: Srednij koefficient teplootdači  
pri dvíženiji židkosti v kanalach. =In:  
"Teploperedacha i teplovoje modelirovaniye."  
Sbornik AN SSSR. Moskva, 1959, s. 122-138.
- ✓ 19 ✓ OSIPOVA, V.A.: Eksperimentalnoje issledovanije  
processov teploobmena. Moskva, Izdatel-  
stvo "Energija" 1964. 327 s.
- ✓ 20 ✓ PETRAŠ, L.V.: Kalici prostředí pro tepelné zpra-  
cování kovů. Praha, SNTL 1962. 177 s.
- ✓ 21 ✓ PIŠEK, F.: Nauka o materiálu I.  
Praha, ČSAV 1957. 754 s.

- [22] PROPELLER - AGITATED QUENCHING. - "American Machinist," 99, 1955, July 6, s. 143, 145, 147, July 8, s. 155, 157, 159, August 5, s. 121, 131.
- [23] STOLZ, G. - ... : Thermal considerations in oil quenching. - "Journal of the Iron and Steel Institute," 195, October 1959, č. 2, s. 116 - 123.
- [24] SÍKORA, K.: Základy sdílení tepla. (Skriptum). 2. vydání. Praha, SNTL 1961. 224 s.
- [25] ŠMYKOV, A.A.: Spravočník termista. Moskva, Mašgiz 1961. 392 s.
- [26] TAJC, N.Ju.: Technologija nagreva stali. Moskva, Metallurgizdat 1962. 567 s.





KANDIDÁTSKÁ DISERTAČNÍ PRÁCE

"Podmínky tepelných pochodů při klení  
v případě podélného nuceného obtékání válce olejem"

Část II  
( Přílohy )

Autorské právo je užíváno zástupcem MŠK pro státní  
závěrečné zkoušky č. j. 31 727/62-III/2 ze dne  
13. července 1962. Věstník MŠK XVII, sešit 24 ze dne  
31. 8. 1962 § 19 autorského zákona č. 115/53 Sb.

Vysoká škola strojní a textilní  
Ústřední knihovna  
LIBEREC 1, STUDENTSKÁ 5

W 31/c, 2.

Aspirant : Ing. Václav Hynčica  
Školitel : Prof. Ing. Dr Karel Sýkora  
Pracoviště : Vysoká škola strojní a textilní, Liberec  
Katedra technické mechaniky,  
Ústav termomechaniky

Datum odevzdání práce : červen 1966

SEZNAM PŘÍLOH

Příloha číslo :	Tabulka číslo :	Název a obsah přílohy :
I	I	Tepelně fyzikální vlastnosti ložiskového oleje OL-J4
	II	Tepelně fyzikální vlastnosti válcového oleje OVB-31

Výsledky měření průběhu teplot na vzorcích V1, V2, V3, V4 a V5 při jejich ochlazení z teploty 840° C v oleji OL-J4 a OVB-31 o různých teplotách a rychlostech proudění.

		Vzorek:	Druh oleje:	Teplota lázně: °C
2	III	V1	OL-J4	25
	IV	V1	OL-J4	75
	V	V1	OL-J4	125
	VI	V1	OVB-31	50
	VII	V1	OVB-31	100
	VIII	V1	OVB-31	145
3	IX	V2	OL-J4	25
	X	V2	OL-J4	75
	XI	V2	OL-J4	125
	XII	V2	OVB-31	50
	XIII	V2	OVB-31	100
	XIV	V2	OVB-31	145
4	XV	V3	OL-J4	25
	XVI	V3	OL-J4	75
	XVII	V3	OL-J4	125
	XVIII	V3	OVB-31	50
	XIX	V3	OVB-31	100
	XX	V3	OVB-31	145

<u>Příloha</u>	<u>Tabulka</u>	<u>Název a obsah přílohy :</u>		
<u>číslo:</u>	<u>číslo:</u>	<u>Vzorek :</u>	<u>Druh oleje:</u>	<u>Teplota lázně: °C</u>
5	XXI	V4	OL-J4	50
	XXII	V4	OL-J4	100
	XXIII	V4	OL-J4	150
6	XXIV	V5	OL-J4	50
	XXV	V5	OL-J4	110
	XXVI	V5	OL-J4	165

Výsledky měření průběhu povrchové teploty na vzorcích V1, V2, V3 při jejich ochlazení z teploty 780°C v oleji OL-J4 a OVB-31 o různých teplotách a rychlostech proudění.

		<u>Vzorek :</u>	<u>Druh oleje :</u>	<u>Teplota lázně: °C</u>
7	XXVII	V1	OL-J4	25, 75, 125
	XXVIII	V1	OVB-31	50
8	XXIX	V2	OL-J4	25, 75, 125
	XXX	V2	OVB-31	50, 100, 145
9	XXXI	V3	OL-J4	25, 75, 125
	XXXII	V3	OVB-31	50, 100, 145

Pětimístné tabulky pro určení parametrického teplotního kriteria  $\vartheta$  pro neomezený válec v závislosti na :  $r/R$ ,  $Fo$  a  $Bi$ .

10	XXXIII	$Bi = 0,05$
	XXXIV	$Bi = 0,1$
	XXXV	$Bi = 0,2$
	XXXVI	$Bi = 0,4$
	XXXVII	$Bi = 0,6$
	XXXVIII	$Bi = 0,8$
	XXXIX	$Bi = 1,0$
	XL	$Bi = 2,0$
	XLI	$Bi = 2,4$

Příloha  
číslo : Tabulka  
číslo : Název a obsah přílohy :

10	XLII	Bi = 4,0
	XLIII	Bi = 6,0
	XLIV	Bi = 7,0
	XLV	Bi = 10,0
	XLVI	Bi = 15,0
	XLVII	Bi = 30,0
	XLVIII	Bi = $\infty$

FYSIKÁLNÍ VLASTNOSTI LOŽISKOVÉHO OLEJE OL-J4  
V ZÁVISLOSTI NA TEPLOTĚ

Tsbulka č. I

$t$ $^{\circ}\text{C}$	$\varrho$ $\text{kg/m}^3$	$C_p$ $\frac{\text{kcal}}{\text{kg.deg}}$	$\lambda$ $\frac{\text{kcal}}{\text{mhoddeg}}$	$\nu \cdot 10^6$ $\text{m}^2/\text{s}$	$\eta \cdot 10^4$ $\text{kgs/m}^2$	$a \cdot 10^4$ $\text{m}^2/\text{hod}$	$P_r$	$\beta \cdot 10^4$ $\frac{1}{\text{deg}}$
0	898,8	0,461	0,101	1000	916,2	2,44	14 750	6,38
10	893,1	0,470	0,100	400	364,2	2,38	6 050	6,42
20	887,4	0,478	0,099	190	171,9	2,33	2 940	6,46
30	881,7	0,486	0,098	100	89,9	2,29	1 570	6,50
40	876,0	0,495	0,097	57	50,9	2,24	916	6,56
50	870,3	0,503	0,097	35	31,0	2,21	570	6,60
60	864,6	0,512	0,096	23	20,3	2,17	381	6,64
70	858,9	0,520	0,095	16	14,0	2,13	270	6,68
80	853,2	0,529	0,094	11,7	10,2	2,08	202	6,72
90	847,5	0,537	0,093	8,8	7,6	2,04	155	6,77
100	841,8	0,546	0,092	6,9	5,9	2,00	124	6,81
110	836,1	0,554	0,091	5,5	4,7	1,96	101	6,86
120	830,4	0,563	0,090	4,5	3,8	1,93	84,0	6,90
130	824,9	0,571	0,089	3,8	3,2	1,89	72,4	6,94
140	819,5	0,580	0,089	3,3	2,8	1,87	63,5	6,98
150	814,1	0,588	0,088	3,0	2,5	1,84	58,7	7,02

FYSIKÁLNÍ VLASTNOSTI VÁLCOVÉHO OLEJE OV-B31  
V ZÁVISLOSTI NA TEPLOTĚ.

Tabulka č. II

$t$ $^{\circ}\text{C}$	$\varrho$ $\text{kg}/\text{m}^3$	$C_p$ $\text{kcal}/\text{kg}\cdot\text{deg}$	$\lambda$ $\text{kcal}/\text{m}\cdot\text{h}\cdot\text{deg}$	$\nu \cdot 10^6$ $\text{m}^2/\text{s}$	$\eta \cdot 10^4$ $\text{kg}\cdot\text{s}/\text{m}^3$	$a \cdot 10^4$ $\text{m}^2/\text{hod}$	$P_r$	$\beta \cdot 10^4$ $1/\text{deg}$
0	943,6	0,408	0,129	—				8,330
10	935,8	0,419	0,127	—				8,400
20	928,0	0,429	0,125	(9000)	(8514)	3,14	(103200)	8,48
30	920,2	0,440	0,123	3300	3095	3,04	39100	8,55
40	912,4	0,451	0,122	1400	1302	2,96	17000	8,62
50	904,6	0,461	0,120	700	645	2,88	8750	8,70
60	896,8	0,472	0,118	360	329	2,79	4640	8,77
70	889,0	0,484	0,116	210	190	2,70	2800	8,85
80	881,2	0,495	0,114	125	112	2,61	1725	8,93
90	873,4	0,505	0,112	81	72,1	2,54	1148	9,01
100	865,6	0,516	0,110	55	48,5	2,46	801	9,09
110	857,8	0,527	0,108	37	32,4	2,39	557	9,18
120	850,0	0,537	0,106	28	24,2	2,32	434	9,26
130	842,2	0,548	0,104	21	18,0	2,25	336	9,35
140	834,4	0,559	0,103	16	13,6	2,21	261	9,44
150	826,6	0,569	0,101	13	10,9	2,15	218	9,53
160	818,8	0,580	0,100	10	8,4	2,11	171,0	9,60

TABULKA Č. III

Příloha č. 2

Místo snímání taploty:		ČAS ODPOVÍDAJÍCÍ		OCHLAZENÍ		PŘÍSLUŠNÝCH MÍST	
P-	Povrch	VZORKU	Ø	15 mm v oleji z teploty			
A - 1,7 mm							
pravidelní	pod povrchem						
B - 3,75 mm	pod povrchem						
o/zaře :	R - 7,5 mm vosa						
OLOJ 4	R	840	800	750	700	650	600
$t_0 = 25^\circ C$	P	0,0	0,35	1,05	1,8	2,53	3,25
	A	0,0	1,3	2,1	2,65	3,2	3,8
	B	0,0	1,55	2,6	3,2	3,9	4,5
$\psi_0 = 0 \%$	R	0,0	2,3	3,7	4,5	5,2	6,2
$t_0 = 25^\circ C$	P	0,0	0,25	0,8	1,4	2,0	2,65
	A	0,0	1,05	2,2	3,0	3,8	4,3
	B	0,0	1,2	2,5	3,5	4,3	4,8
$\psi_0 = 0,19\%$	R	0,0	1,9	3,25	4,35	4,6	5,9
$t_0 = 25^\circ C$	P	0,0	0,23	0,88	1,4	2,2	2,85
	A	0,0	1,1	2,2	2,6	3,2	3,9
	B	0,0	1,4	2,5	3,3	3,7	4,2
$\psi_0 = 0,47\%$	R	0,0	2,0	3,1	4,0	4,6	5,2
$t_0 = 25^\circ C$	P	0,0	0,3	0,52	0,96	1,65	2,28
	A	0,0	0,9	1,8	2,4	2,8	3,2
	B	0,0	1,3	2,2	2,7	3,1	3,8
$\psi_0 = 0,98\%$	R	0,0	2,0	2,9	3,2	3,75	4,4

Príloha č. 2

TABUĽKA Č.: IV

Tabuľa σ	Miesto snímáni záplaty:	ČAS ODPOVÍDAJÚCÍ OCHLAZENÍ PŘÍSLUŠNÝCH MÍST											
		VZORKU	0	φ	15 mm v oleji z teploty	POČÁTEČNÍ	840 °C	NA TEPLOTU:					
p- rychlosť	povrch												
A- proudiení	1,7 mm												
B- odaje:	pod povrchom R-7,5 mm v osi vzorku	840	800	750	700	650	600	550	500	450	400	350	300
t <sub>0</sub> = 75 °C	P	0,0	0,29	0,59	1,05	1,6	2,0	2,5	3,2	4,2	6,6	11,7	20,5
	A	0,0	1,15	1,85	2,35	2,8	3,4	4,25	5,4	7,0	9,2	13,0	21,6
	B	0,0	1,65	2,4	2,85	3,3	3,9	4,8	6,1	7,75	10,1	14,65	22,2
w <sub>0</sub> = 0 %	R	0,0	2,65	3,5	3,9	4,25	4,9	6,1	7,5	9,2	12,1	17,0	23,3
t <sub>0</sub> = 75 °C	P	0,0	0,31	0,68	1,12	1,55	1,92	2,4	3,0	4,0	6,2	9,8	14,5
	A	0,0	1,2	1,9	2,3	2,7	3,35	4,1	5,1	6,6	8,4	11,7	15,5
	B	0,0	1,7	2,45	2,9	3,4	3,9	4,8	6,0	7,2	9,2	12,5	16,6
w <sub>0</sub> = 0,19 %	R	0,0	2,5	3,4	3,95	4,5	5,15	5,9	6,95	8,3	10,6	13,9	18,2
t <sub>0</sub> = 75 °C	P	0,0	0,21	0,55	0,98	1,15	1,9	2,3	2,9	3,65	5,3	7,85	10,8
	A	0,0	1,2	1,9	2,35	2,8	3,25	4,0	4,9	4,1	8,3	10,7	13,5
	B	0,0	1,6	2,2	2,7	3,2	3,8	4,5	5,5	6,75	8,75	11,2	14,0
w <sub>0</sub> = 0,45 %	R	0,0	2,3	2,85	3,7	4,1	4,6	5,5	6,7	8,0	9,7	12,2	15,0
t <sub>0</sub> = 75 °C	P	0,0	0,21	0,49	0,77	1,1	1,4	1,75	2,2	2,95	4,25	6,25	8,7
	A	0,0	1,15	1,9	2,35	2,8	3,25	4,0	4,9	6,2	8,0	10,1	12,6
	B	0,0	1,45	2,1	2,55	3,0	3,6	4,5	5,45	6,75	8,4	10,6	13,1
w <sub>0</sub> = 0,9 %	R	0,0	2,25	2,85	3,6	4,0	4,5	5,5	6,5	7,8	9,4	11,6	14,2

## Příloha č. 2

## TABULKA Č.: V

Místo snímání teploty:	ČAS ODPOVÍDAJÍCÍ VZORKU O	PŘÍSLUŠNÝCH MÍST									
		15 mm v oleji z teploty									
Tapota a rychlosť	P - povrch	840	800	750	700	650	600	550	500	450	400
A -	1,7 mm	0,0	0,27	0,65	1,25	1,62	1,9	2,95	2,95	4,0	6,45
B -	pod povrchom	P	0,0	1,37	2,25	2,7	3,05	3,47	4,35	5,4	6,95
	R	A	0,0	1,95	2,7	3,15	3,6	4,1	4,9	5,9	7,25
	R	B	0,0	2,5	3,12	3,85	4,55	5,3	6,2	7,3	8,85
	R	R	0,0	0,2	0,55	0,95	1,32	1,65	2,0	2,5	3,6
	R	P	0,0	0,0	1,43	2,15	2,5	2,9	3,45	4,2	5,4
	R	A	0,0	0,0	2,0	2,4	2,83	3,25	3,7	4,7	5,85
	R	B	0,0	0,0	2,65	3,15	3,53	4,05	4,75	5,7	7,1
	R	R	0,0	0,0	0,16	0,48	0,8	1,1	1,4	1,73	2,2
	R	P	0,0	0,0	1,72	2,2	2,45	2,9	3,45	4,2	5,3
	R	A	0,0	0,0	2,1	2,65	2,9	3,25	3,85	4,7	5,65
	R	B	0,0	0,0	2,58	3,2	3,5	4,0	4,6	5,5	6,6
	R	R	0,0	0,0	0,12	0,42	0,79	1,05	1,2	1,62	2,0
	P	P	0,0	0,0	1,77	2,05	2,45	2,9	3,6	4,6	5,75
	A	A	0,0	0,0	1,3	1,65	2,2	2,65	3,25	4,05	5,1
	B	B	0,0	0,0	2,3	2,8	3,25	3,8	4,3	5,2	6,25
	R	R	0,0	0,0	2,3	2,8	3,25	3,8	4,3	5,2	6,25
	P	P	0,0	0,0	0,94	1,7	2,45	3,05	3,75	4,5	5,3
	A	A	0,0	0,0	1,3	1,65	2,2	2,65	3,25	4,05	5,1
	B	B	0,0	0,0	2,3	2,8	3,25	3,8	4,3	5,2	6,25
	R	R	0,0	0,0	2,3	2,8	3,25	3,8	4,3	5,2	6,25

Příloha č. 2

TABUĽKA Č.: VI

Táplota a rychlosť	Miesto snímáni záplaty: P - povrch A - 1,7 mm pod povrchem B - 3,75 mm pod povrchem R - 7,5 mm v osi vzorku	ČAS ODPOVÍDAJÚCÍ OCHLAZENÍ PŘÍSLUŠNÝCH MÍST VZORKU O $\phi$ 15 mm V OLEJI Z TEPLOTY												
		POČÁTEČNÍ 840 °C	NA TEPLOTU:	300	350	400	450	500	550	600	650	700	750	800
$t_0 = 50^\circ\text{C}$	P	0,0	0,36	0,97	1,7	2,55	3,26	4,28	5,5	7,4	10,6	15,2	23,5	
	A	0,0	2,2	3,15	3,9	4,7	5,5	6,75	8,3	10,2	13,5	18,2	27,4	39,6
	B	0,0	2,9	4,0	4,5	5,2	6,2	7,7	9,2	11,4	14,8	19,6	29,0	43,8
$\eta_0 = 0\%$	R	0,0	3,7	4,9	5,6	6,25	7,2	8,8	10,2	12,2	15,5	20,6	31,0	45,8
$t_0 = 50^\circ\text{C}$	P	0,0	0,25	0,69	1,38	2,2	3,05	4,0	5,22	6,8688,7	11,2	14,0	17,5	
	A	0,0	2,15	3,0	3,65	4,3	4,8	5,8	7,05	8,55	10,3	12,4	14,8	18,0
	B	0,0	2,8	3,6	4,3	4,9	5,7	6,6	8,0	9,55	11,3	13,3	16,4	19,5
$\eta_0 = 0,2\%$	R	0,0	3,15	4,4	5,2	6,0	6,9	7,9	9,0	10,6	12,6	15,1	18,0	22,0
$t_0 = 50^\circ\text{C}$	P	0,0	0,2	0,7	1,5	2,3	2,92	3,6	4,5	5,75	7,2	8,8	10,7	13,5
	A	0,0	1,8	3,0	3,5	4,0	4,6	5,45	6,5	7,5	9,1	10,1	12,7	15,9
	B	0,0	2,6	3,65	4,0	4,8	5,2	6,05	7,1	8,2	9,7	11,5	13,8	17,0
$\eta_0 = 0,475\%$	R	0,0	3,2	4,35	5,0	5,65	6,4	7,3	8,2	9,4	11,0	13,1	16,0	19,2
$t_0 = 50^\circ\text{C}$	P	0,0	0,18	0,68	1,18	1,7	2,2	2,8	3,5	4,4	5,5	6,9	8,6	10,9
	A	0,0	1,9	2,6	3,1	3,5	4,1	4,85	5,7	6,9	8,2	9,7	11,5	13,9
	B	0,0	2,3	3,0	3,6	4,1	4,75	5,95	6,4	7,6	8,9	10,5	12,4	14,0
$\eta_0 = 0,99\%$	R	0,0	3,1	3,9	4,6	5,25	6,0	6,9	7,85	9,05	10,4	12,1	14,2	16,8

Příloha č. 2

TABUĽKA Č.: VII

Táplota a rychlosť proudžení oleja : OTB-31	Miesto snímáni záplaty : P - povrch A - 1,7 mm pod povrchem B - 3,75 mm pod povrchem R 7,5 mm v osi vzorku	ČAS VZORKU	ODPOVÍDAJÍCÍ		OCHLAZENÍ		PRÍSLUŠNÝCH MÍST	
			0	φ	15 mm V OLEJI Z TEPLOTY	POČÁTEČNÍ	840 °C	NA TEPLITU :
$t_o = 100^\circ C$	P	0,0	0,22	0,7	1,2	1,7	2,2	3,0
	A	0,0	2,1	2,7	3,2	3,95	5,0	6,05
	B	0,0	2,4	2,9	3,7	4,45	5,4	6,55
	R	0,0	2,9	3,25	4,8	5,4	6,25	7,45
$\psi_o = 0 \%$	P	0,0	0,25	0,76	1,2	1,6	2,05	2,8
	A	0,0	2,3	2,9	3,4	4,0	5,0	6,1
	B	0,0	2,7	3,2	3,9	4,5	5,45	6,5
	R	0,0	3,4	4,2	4,8	5,4	6,25	7,35
$\psi_o = 0,19\%$	P	0,0	0,18	0,5	0,8	1,1	1,5	2,2
	A	0,0	2,1	2,7	3,05	3,6	4,3	5,3
	B	0,0	2,5	3,2	3,6	4,15	4,9	5,9
	R	0,0	3,2	4,1	4,65	5,2	6,0	7,1
$\psi_o = 0,46\%$	P	0,0	0,2	0,54	0,9	1,18	1,5	2,0
	A	0,0	1,9	2,6	2,95	3,45	4,1	5,0
	B	0,0	2,3	3,0	3,4	3,95	4,7	5,6
	R	0,0	3,1	3,8	4,3	4,9	5,8	6,8
$\psi_o = 0,96\%$	P	0,0	0,2	0,54	0,9	1,18	1,5	2,0
	A	0,0	1,9	2,6	2,95	3,45	4,1	5,0
	B	0,0	2,3	3,0	3,4	3,95	4,7	5,6
	R	0,0	3,1	3,8	4,3	4,9	5,8	6,8

TABULKA Č. 2

TABULKA Č. : VIII

Táplota a rychlosť	Miesto snímáni táploty :	ČAS ODPOVÍDAJÍCÍ PŘÍSLUŠNÝCH MÍST									
		VZORKU	0	Ø	15 mm	V OLEJI	Z TEPLOTY	POČÁTEČNÍ	840 °C	NA TEPLITU :	
A - 1,7 mm proudžení pod povrchom R - 3,75 mm	R - 7,5 mm v ose vzorku	840	800	750	700	650	600	550	500	450	400
t <sub>0</sub> = 145 °C	P	0,0	0,15	0,38	0,74	1,0	1,45	2,15	3,2	4,9	7,55
	A	0,0	2,25	2,8	3,05	3,7	4,5	5,4	6,55	8,3	10,9
ψ <sub>0</sub> = 0 %/S	B	0,0	2,6	3,1	3,55	4,2	5,1	6,0	7,3	9,1	11,7
	R	0,0	3,3	3,9	4,65	5,3	6,2	7,3	8,8	10,8	13,3
t <sub>0</sub> = 145 °C	P	0,0	0,2	0,46	0,75	1,2	1,4	2,0	2,9	4,45	6,6
	A	0,0	2,4	3,0	3,35	3,9	4,6	5,6	6,9	8,45	10,6
ψ <sub>0</sub> = 0,195 %/S	B	0,0	2,75	3,4	3,85	4,5	5,2	6,2	7,5	9,25	11,5
	R	0,0	3,45	4,3	4,9	5,8	6,4	7,45	8,8	10,8	13,2
t <sub>0</sub> = 145 °C	P	0,0	0,12	0,38	0,61	0,85	1,18	1,65	2,4	3,75	5,5
	A	0,0	2,1	2,55	2,9	3,2	3,9	4,8	5,9	7,5	8,4
ψ <sub>0</sub> = 0,46 %/S	B	0,0	2,5	3,0	3,4	3,8	4,5	5,4	6,55	8,2	9,2
	R	0,0	3,2	3,95	4,45	5,05	5,8	6,7	7,85	9,5	11,8
t <sub>0</sub> = 145 °C	P	0,0	0,1	0,32	0,53	0,78	1,0	1,38	2,05	3,15	4,8
	A	0,0	1,6	2,05	2,4	2,75	3,4	4,3	5,2	6,7	8,7
ψ <sub>0</sub> = 0,96 %/S	B	0,0	2,2	2,65	3,1	3,5	4,2	5,15	6,3	7,7	9,6
	R	0,0	3,3	3,85	4,45	5,0	5,8	6,9	8,2	9,75	11,4

Příloha č. 3

TABUĽKA Č. : IX

Toploča a rychlosť prudčení oleje :	Miesto snímáni toploty: P- povrch A-2,3 mm pod povrchem B-4,75 mm pod povrchem R-10,0 mm v osi vzorku	ČAS ODPOVÍDAJÚCÍ OCHLAZENÍ PŘÍSLUŠNÝCH MÍST									
		VZORKU	O	Ø	20 mm	V OLEJI Z TEPLOTY	POČÁTEČNÍ	840 °C	NA TEPLOTU:		
$t_0 = 25^\circ C$	P	0,0	0,53	0,95	1,21	1,6	2,05	2,6	3,6	4,8	8,75
	A	0,0	2,0	3,4	4,3	5,3	6,3	7,8	9,9	13,2	17,2
	B	0,0	2,6	3,95	5,0	6,1	7,1	8,6	10,7	13,8	18,0
$\psi_0 = 0 \%$	R	0,0	3,1	4,7	5,95	7,2	8,3	9,7	11,7	14,6	19,1
	P	0,0	0,6	1,15	1,61	2,21	2,9	3,75	4,9	6,6	9,5
	A	0,0	1,8	3,0	4,0	5,2	6,3	7,7	9,1	11,3	14,2
$\psi_0 = 0,72 \%$	B	0,0	2,5	3,8	5,0	6,2	7,2	8,8	10,5	12,5	15,3
	R	0,0	3,0	4,5	5,7	7,0	8,3	9,9	11,8	14,0	16,7
	P	0,0	0,25	0,75	1,1	1,6	2,3	3,1	4,0	5,5	8,2
$\psi_0 = 0,49 \%$	A	0,0	1,7	2,6	3,7	4,3	5,2	6,5	8,25	10,5	13,1
	B	0,0	2,1	3,3	4,4	5,2	6,2	7,5	9,35	11,5	14,1
	R	0,0	2,8	4,2	5,5	6,5	7,6	9,0	10,9	13,0	15,5
$\psi_0 = 1 \%$	P	0,0	0,33	0,6	0,9	1,42	1,85	2,4	3,6	5,05	7,05
	A	0,0	1,5	2,6	3,25	3,85	4,55	5,5	6,3	8,7	10,6
	B	0,0	1,9	3,0	3,7	4,25	5,0	5,8	7,65	9,4	11,5
R	P	0,0	2,4	3,4	4,3	5,0	5,9	7,0	8,6	10,5	12,8
	R	0,0	2,4	3,4	4,3	5,0	5,9	7,0	8,6	10,5	12,8

TABULKA Č.: X

Příloha č. 3

Tapota σ	Místo snímání tapoty:	ČAS ODPOVÍDAJÍCÍ VZORKU O	OCHLAZENÍ POČÁTEČNÍ	PŘÍSLUŠNÝCH MÍST					
				20 mm v oleji z teploty	840 °C				
P-	povrch	0,0	0,4	0,95	1,31	1,61	1,94	2,41	3,1
A-	2,3 mm	0,0	1,9	2,8	3,35	4,1	5,1	6,4	8,35
proudění pod povrchem		0,0	2,1	3,2	4,0	4,9	5,95	7,2	9,05
B- 4,75 mm pod povrchem		0,0	2,75	4,0	5,0	6,1	7,2	8,5	10,1
R-10,0 mm v osa vzorku		0,0	0,4	0,81	1,1	1,38	1,62	1,98	2,5
t <sub>0</sub> = 75 °C	P	0,0	0,0	1,7	2,5	3,3	4,1	5,2	6,9
	A	0,0	2,05	3,1	3,8	4,8	6,0	7,5	9,55
	B	0,0	2,8	4,15	5,2	6,0	7,1	8,6	10,7
ψ= 0 %	R	0,0	0,26	0,51	0,88	1,18	1,45	1,79	2,35
t <sub>0</sub> = 75 °C	P	0,0	0,0	1,4	2,1	2,7	3,3	4,8	6,1
	A	0,0	1,9	2,9	3,6	4,25	5,7	6,55	9,05
	B	0,0	2,9	4,1	4,9	5,8	7,0	7,35	10,2
ψ= 0,47 %	R	0,0	0,26	0,51	0,88	1,18	1,45	1,79	2,35
t <sub>0</sub> = 75 °C	P	0,0	0,0	1,4	2,1	2,7	3,3	4,8	6,1
	A	0,0	1,9	2,9	3,6	4,25	5,7	6,55	9,05
	B	0,0	2,9	4,1	4,9	5,8	7,0	7,35	10,2
ψ= 0,96 %	R	0,0	0,26	0,51	0,88	1,18	1,45	1,79	2,35

Příloha Č. 3

TABULKA C.; XI

Tablo a rychlost proudění olaje :	Místo snímání povrchu	ČAS VZORKU	ODPOVIDAJÍCÍ POČÁTEČNÍ PODPOVRCHAM	OCHLAZENÍ V OLEJI Z TEPLOTY							
				20 °C	20 °C	20 °C	20 °C	20 °C	20 °C	20 °C	20 °C
OBV-31	R-10,0 mm v osé vzorku	840	800	750	700	650	600	550	500	450	400
$t_0 = 50^\circ C$	P	0,0	0,22	0,6	1,32	2,2	3,0	4,0	5,43	7,9	12,0
	A	0,0	1,4	2,8	3,9	5,25	6,9	9,1	11,9	15,3	19,4
	B	0,0	2,5	3,75	5,05	6,25	8,05	10,2	12,7	16,2	21,0
$\psi = 0\%$	R	0,0	3,7	5,25	6,6	8,0	9,6	11,8	14,5	17,7	23,1
$t_0 = 50^\circ C$	P	0,0	0,42	0,71	1,1	1,55	2,15	3,35	5,43	8,0	11,3
	A	0,0	1,7	3,1	4,2	5,5	6,9	8,5	10,7	13,5	16,3
	B	0,0	2,5	4,2	5,5	7,0	8,5	10,4	12,2	14,7	17,4
$\psi = 0,202\%$	R	0,0	3,5	5,0	6,2	7,5	9,3	11,6	13,5	16,0	19,7
$t_0 = 50^\circ C$	P	0,0	0,12	0,3	0,7	1,21	1,84	2,7	4,12	6,12	8,55
	A	0,0	2,0	3,1	3,85	4,9	6,2	8,0	10,0	12,3	15,0
	B	0,0	2,4	3,6	4,5	5,65	7,05	9,2	10,9	13,0	15,9
$\psi = 0,495\%$	R	0,0	3,4	4,7	5,7	6,95	8,5	10,4	12,4	14,9	17,4
$t_0 = 50^\circ C$	P	0,0	0,1	0,28	0,58	1,0	1,4	2,0	2,9	4,54	6,45
	A	0,0	1,9	2,8	3,6	4,4	5,6	7,1	8,9	10,9	13,3
	B	0,0	2,0	3,4	4,4	5,2	6,6	8,05	9,7	11,7	13,9
$\psi = 1,01\%$	R	0,0	2,7	4,65	5,7	6,75	8,1	9,6	11,2	13,0	15,1

## Příloha č. 3

## TABULKA Č.: XIII

Taplota a rychlosť	Miesto snímáni ťaploty: povrch A - 2,2 mm pod povrchem B - 4,75 mm oleje: OWB-31	čas vzorku	odpovídající čas	PRÍSLUŠNÝCH MÍST																	
				0	φ	20 mm v oleji z teploty	840 °C	800 °C	750 °C	700 °C	650 °C	600 °C	550 °C	500 °C	450 °C	400 °C	350 °C	300 °C	250 °C	200 °C	100 °C
$t_0 = 100^\circ\text{C}$	P	0,0	0,18	0,49	0,86	1,3	1,9	3,0	4,85	8,1	12,5	20,3	32,5								
	A	0,0	1,6	2,2	3,15	4,2	6,0	8,0	10,7	14,2	19,0	30,0	42,7								
	B	0,0	2,5	3,55	4,55	5,8	7,5	9,5	12,3	16,0	22,0	32,7	45,2								
	R	0,0	3,45	5,2	6,6	7,85	9,5	11,7	14,5	18,4	25,0	36,0	48,6								
$\psi_0 = 0\%$	P	0,0	0,16	0,45	1,0	1,53	2,15	3,0	4,5	8,8	10,2	15,5	21,3								
	A	0,0	1,4	2,6	3,5	4,6	6,1	8,2	10,6	13,6	17,0	22,3	29,6	37,8							
	B	0,0	2,3	3,5	4,45	5,6	7,1	9,15	11,5	14,3	17,7	23,5	30,6	39,0							
	R	0,0	3,7	4,8	6,0	7,2	8,65	10,7	13,0	15,6	19,2	25,2	32,4	40,8							
$\psi_0 = 197\%$	P	0,0	0,14	0,35	0,8	1,23	1,98	2,6	3,7	5,7	8,25	12,0	16,8								
	A	0,0	1,2	2,2	3,0	3,9	5,45	7,5	9,7	12,5	16,2	20,9	27,0	34,5							
	B	0,0	1,9	2,1	3,8	5,0	6,6	8,5	10,7	13,3	16,9	22,1	28,2	35,7							
	R	0,0	3,6	4,5	5,5	6,7	8,3	10,1	12,2	14,7	17,7	23,9	30,1	37,5							
$\psi_0 = 485\%$	P	0,0	0,1	0,3	0,52	0,88	1,28	1,9	2,9	4,7	6,55	9,7	13,7								
	A	0,0	1,3	2,0	2,75	3,85	5,2	7,0	9,2	11,9	14,8	18,2	22,9	29,9							
	B	0,0	2,1	2,85	2,9	5,05	6,85	8,15	1,01	13,7	15,5	19,0	24,5	31,2							
	R	0,0	3,4	4,4	5,6	6,85	8,3	9,9	11,7	13,8	16,6	20,4	26,7	33,2							

TABULKA Č. XIV

## Príloha č. 3

Taplota a rychlosť	Miesto snímáni ťaploty: P - povrch A - 2,3 mm pod povrchem B - 4,75 mm povrcham pod povrchem DWB-91	ČAS VZORKU	ODPOVÍDAJÍCÍ POČÁTEČNÍ 840 °C	PŘÍSLUŠNÝCH MÍST					
				0	φ	20 mm v OLEJI Z TEPLOTY:	°C	NA TEPLITU:	
$t_0 = 145^\circ\text{C}$	P	0,0	0,12	0,29	0,6	0,98	1,35	1,95	3,0
	A	0,0	1,25	2,1	2,9	4,05	5,2	7,4	9,6
	B	0,0	2,4	3,4	4,5	5,6	7,0	8,85	1,11
	R	0,0	3,9	5,2	6,3	7,55	8,9	10,7	12,0
$\psi_0 = 0 \%$	P	0,0	0,11	0,26	0,5	0,85	1,28	1,86	2,9
	A	0,0	1,55	2,35	3,1	4,25	5,9	7,85	10,5
	B	0,0	2,55	3,5	4,4	5,65	7,1	8,9	11,2
	R	0,0	3,8	5,1	6,15	7,4	9,1	10,3	12,4
$\psi_0 = 0,197 \%$	P	0,0	0,1	0,24	0,4	0,63	0,99	1,42	2,4
	A	0,0	1,3	2,0	2,8	3,7	4,9	6,4	8,5
	B	0,0	2,25	3,2	4,15	5,1	6,8	8,0	10,1
	R	0,0	3,7	5,0	5,9	6,9	8,2	9,9	12,1
$\psi_0 = 0,485 \%$	P	0,0	0,09	0,13	0,27	0,44	0,62	0,98	1,58
	A	0,0	1,3	1,8	2,6	3,5	4,56	6,2	8,1
	B	0,0	2,1	3,1	3,95	4,8	6,7	7,55	9,45
	R	0,0	3,3	4,8	5,7	6,6	7,8	9,3	11,2
$\psi_0 = 0,99 \%$	P	0,0	0,09	0,13	0,27	0,44	0,62	0,98	1,75
	A	0,0	1,3	1,8	2,6	3,5	4,56	6,2	8,1
	B	0,0	2,1	3,1	3,95	4,8	6,7	7,55	9,45
	R	0,0	3,3	4,8	5,7	6,6	7,8	9,3	11,2

Práloha č. 4

TABULKA Č: XV

Táplota $\alpha$ rychlosť proudenia: $\alpha/q_je:$ 01 - J 4	$t_c = 25^\circ C$	$\psi_\alpha = 0,21 \frac{m}{s}$	$t_c = 25^\circ C$	$\psi_\alpha = 0,558 \frac{m}{s}$	$t_c = 25^\circ C$	$\psi_\alpha = 1,02 \frac{m}{s}$	Miesto snímania/čas odpovídatel:		ČAS ODPOVÍDAJÍCÍ VZORKU O Ø		30 mm v oleji z teploty		POČÁTEČNÍ 840 °C NA TEPLOTU:		PŘÍSLUŠNÝCH MIST						
							na povrch	pod povrchem	na povrch	pod povrchem	na povrch	pod povrchem	na povrch	pod povrchem	na povrch	pod povrchem					
P-2,5 mm	P	P	P	P	P	P	840	800	750	700	650	600	550	500	450	400	350	300	250	200	100
A-2,5 mm	A	A	A	A	A	A	0,0	0,34	0,75	1,3	2,2	3,05	3,95	5,7	10,2	19,0					
B-7,4 mm	B	B	B	B	B	B	0,0	3,48	5,42	7,25	8,8	11,15	13,5	17,0	22,0	28,3	37,9	55,4			
R-15 mm v osi vzorku	R	R	R	R	R	R	0,0	5,7	8,3	10,5	12,4	14,8	17,4	21,0	27,4	34,0	42,6	61,4			
Povrch pod povrchem							0,0	0,26	0,49	0,82	1,25	1,75	2,4	3,6	6,2	11,4	18,8				
Na povrch	A	A	A	A	A	A	0,0	1,3	4,2	5,8	7,5	9,2	11,1	13,2	16,0	21,9	31,8	39,3	54,2	71,9	
Pod povrchem	B	B	B	B	B	B	0,0	3,22	5,73	7,75	9,75	12,7	14,1	17,4	21,5	26,4	36,0	44,7	59,8	77,4	
Na povrch	R	R	R	R	R	R	0,0	5,15	7,8	9,7	12,0	14,4	17,2	21,7	27,3	33,3	41,1	49,9	65,3	83,9	
Pod povrchem	P	P	P	P	P	P	0,0	0,25	0,45	0,68	0,92	1,3	1,85	2,55	4,55	8,0	15,0	23,2			
Na povrch	A	A	A	A	A	A	0,0	1,5	3,2	4,5	5,2	6,5	8,05	9,7	13,8	19,1	25,9	33,5	42,5	54,5	
Pod povrchem	B	B	B	B	B	B	0,0	3,05	5,25	6,58	9,0	9,8	12,0	19,8	19,5	24,7	31,1	38,0	47,0	59,6	
Na povrch	R	R	R	R	R	R	0,0	5,0	7,4	9,15	11,0	12,2	15,9	19,9	25,1	30,4	36,2	42,2	51,9	64,7	
Pod povrchem	P	P	P	P	P	P	0,0	0,24	0,4	0,58	0,83	1,2	1,95	3,05	4,55	7,0	11,5	16,8			
Na povrch	A	A	A	A	A	A	0,0	1,85	3,2	4,4	5,15	4,3	6,0	8,1	11,4	15,4	20,9	26,5	32,1	40,0	
Pod povrchem	B	B	B	B	B	B	0,0	2,58	4,07	4,94	6,58	7,83	10,0	12,45	16	20,5	25,5	30,9	36,0	44,7	
Na povrch	R	R	R	R	R	R	0,0	4,8	6,9	8,2	9,9	11,9	14,1	16,8	21	25,5	30,0	35,3	40,5	49,5	

Příloha č. 4

## TABULKA Č. : XVI

Miesto snímaní tepložit:		ČAS ODPOVÍDAJÚCI OCHLAZENÍ		PRÍSLUŠNÝCH MÍST	
P-	povrch	VZORKU	0	mm v OLEJI	Z TEPLOTY
$t_0 = 125^{\circ}\text{C}$	$\varphi = 0,20\%$	$B$	0,0	0,28	0,45
		$A$	0,0	2,0	2,6
		$R$	0,0	6,5	8,2
$t_0 = 125^{\circ}\text{C}$	$\varphi = 0,53\%$	$P$	0,0	0,2	0,35
		$A$	0,0	2,1	2,9
		$B$	0,0	4,05	5,5
		$R$	0,0	6,0	8,0
$t_0 = 125^{\circ}\text{C}$	$\varphi = 0,97\%$	$P$	0,0	0,15	0,26
		$A$	0,0	2,1	3,0
		$B$	0,0	3,55	5,25
		$R$	0,0	5,8	7,5
$t_0 =$	$\varphi =$	$P$			
		$A$			
		$B$			
		$R$			

Místo snímání taploty:		ČAS ODPOVÍDAJÍCÍ		OCHLAZENÍ		PŘÍSLUŠNÝCH MÍST	
P-	povrch	VZORKU	O	Ø	30 mm	V OLEJI Z TEPLOTY	
POČÁTEČNÍ 840 °C NA TEPLITU:							
$t_0 = 50^\circ C$							
	RWB-91	R	840	800	750	700	650
		P	0,0	0,2	0,5	1,0	1,85
		A	0,0	2,4	3,5	4,5	6,1
		B	0,0	4,4	6,2	7,7	9,45
		R	0,0	6,4	9,1	10,9	12,8
$\psi_o = 0,22\%$							
	R-15	mm v osé vzorku	840	800	750	700	650
		P	0,0	0,2	0,5	1,0	1,85
		A	0,0	2,4	3,5	4,5	6,1
		B	0,0	4,4	6,2	7,7	9,45
		R	0,0	6,4	9,1	10,9	12,8
$\psi_o = 0,56\%$							
	R	P	0,0	0,12	0,3	0,55	1,0
		A	0,0	2,3	3,65	4,6	5,9
		B	0,0	3,65	5,78	7,4	9,18
		R	0,0	6,0	7,9	10,2	12,4
$\psi_o = 1,03\%$							
	P	P	0,0	0,1	0,22	0,4	0,65
		A	0,0	2,2	3,5	4,2	5,0
		B	0,0	3,82	5,4	5,85	8,00
		R	0,0	5,65	7,4	9,4	11,2
$t_0 =$	$^\circ C$	$^\circ C$					
		P					
		A					
		B					
		R					

Příloha č. 4

TABLE C. : XIX

Příloha č. 4

TABULKA Č. : xx

Příloha č. 5

TABULKA Č. : XXX

<i>Taplota a</i>	<i>Místo snímání taploty:</i>
<i>rychlosť</i>	<i>P- povrch</i>
<i>proudění</i>	<i>A- mm pod povrchem</i>
<i>odaje :</i>	<i>B- 12,5 mm pod povrchem</i>
<i>OL-J4</i>	<i>R-25 mm v osaz výrobce</i>

ČAS ODPOVÍDAJÍCÍ	OCHLAZENÍ	PŘÍSLUŠNÝCH MÍST
VZORKU O	$\phi\ 50\ mm$	V OLEJI Z TEPLITOY
POČÁTEČNÍ	840 °C	NA TEPLITOU:
	250	200
	150	100
	50	0

0,0	0,25	0,54	0,91	1,22	1,62	2,2	3,15	5,2	10,0	20,0	34,0
0,0	4,3	8,0	11,5	15,4	19,5	25,0	36,5	37,5	45,5	56,5	69,0
0,0	9,0	14,0	19,0	23,4	27,8	33,0	39,5	46,5	55,0	67,0	79,0
0,0	0,2	0,44	0,69	0,91	1,25	1,74	2,5	4,1	8,0	16,5	28,5

$t = 50$	$^{\circ}C$	$P$
		$A$
		$B$
$\theta = 0, 316$	$m$	$R$
$\theta = 50$	$^{\circ}C$	$P$

0,0	4,0	7,4	10,7	14,5	19,0	24,0	29,0	36,0	44,5	54,0	67,0	82,0	102
0,0	8,5	13,1	17,8	22,0	26,8	32,0	37,5	45,0	53,0	63,0	75,0	90,0	110
0,0	0,18	0,4	0,66	0,89	1,18	1,6	2,2	3,3	6,0	12,4	22,0		

$\mu_0 = 0,478 \frac{m}{s}$	$\alpha = 50$	$\theta = 90^\circ$
		$A$
		$B$
		$R$
		$P$

0,0	3,8	6,8	9,8	13,5	17,6	22,5	28,0	35,0	43,0	52,0	64,0	77,0	95,0
0,0	8,0	12,0	16,9	21,0	25,5	30,8	36,0	43,0	51,0	60,0	71,0	84,0	102

A  
B  
R

Physiologie c. 5

## TABULKA Č. : XXII



Příloha č. 6

TABULKA Č. : XIV

Příloha č. 6

TABULKA C. : **XXV**

TABULKA Č. : XXVI

TABULKA Č. : XXVI

TABULKÁ C. : VII

TABULKĀ C. : XVII

## Z TEPLOTY POČÁTEČNÍ 780 °C NA TEPLOTU:

TABULKA C. XXVIII

Příloha č. 7

Temperatura diéze $t_0$ [°C]	Rýchlosť prudení oleja $\omega_0$ [%]	ČAS ODPOVÍDAJÍCÍ		OCHLAZENÍ		POVRCHU	
		VZORKU	O	20 mm	V	OLEJI	OL J4
25	0,0	780	750	700	650	600	550
25	0,2	0,0	0,12	0,56	1,00	1,70	2,00
25	0,49	0,0	0,10	0,540	0,791	1,131	1,291
25	1,0	0,0	0,09	0,480	0,691	1,061	1,331
75	0,0	0,0	0,14	0,470	0,91,0	1,061	1,352
75	0,192	0,0	0,14	0,470	0,91,0	1,752	2,99,2
75	0,47	0,0	0,14	0,470	0,91,0	1,752	2,99,2
75	0,96	0,0	0,14	0,50	0,951	1,351	1,601
125	0,0	0,0	0,097	0,450	0,680	0,851	1,161
125	0,192	0,0	0,06	0,350	0,510	0,650	0,801
125	0,47	0,0	0,05	0,240	0,500	0,650	0,770
125	0,96	0,0	0,05	0,240	0,500	0,650	0,770

$t_0$ [°C]	$w_c$ [ $m_s$ ]	POVRCHU															
		ČAS ODPOVÍDAJÍCÍ VZORKU O Ø 20 mm V OLEJI OVĚ 31	OCHLAZENÍ	Z TEPLOTY POČÁTEČNÍ 780 °C NA TEPLOTU :	780	750	700	650	600	550	500	450	400	350	300	250	200
50	0,0	0,0	0,2	0,78	1,4	1,8	2,6	4,0	7,5	12,2	16,5	32,0	47,0	72,0			
50	0,202	0,0	0,16	0,45	0,78	1,1	2,0	3,2	5,8	8,2	11,5	15,5	22,5	25,0			
50	0,495	0,0	0,1	0,28	0,5	0,82	1,5	2,75	4,7	7,2	10,2	14,0	19,5	27,0			
50	1,01	0,0	0,07	0,19	0,28	0,52	1,05	1,70	2,8	5,8	8,1	11,2	15,5	22,5			
100	0,0	0,0	0,07	0,40	0,65	0,95	1,70	3,8	6,6	11,0	20,0	33,0	52,0	82,0			
100	0,197	0,0	0,14	0,38	0,60	0,84	1,30	2,30	6,00	10,0	16,0	23,0	37,0	60,0			
100	0,485	0,0	0,1	0,30	0,52	0,68	1,18	2,00	4,40	7,20	11,2	18,5	27,5	42,0			
100	0,99	0,0	0,1	0,23	0,35	0,50	0,85	1,45	3,5	6,2	9,7	14,0	22,5	33,0			
145	0,0	0,0	0,14	0,34	0,52	0,68	1,5	3,5	6,7	12,0	20,0	35,0	64,0	115			
145	0,197	0,0	0,09	0,28	0,42	0,65	1,35	2,8	6,3	11,0	19,0	32,0	50,0	90,0			
145	0,485	0,0	0,09	0,21	0,25	0,47	0,85	1,6	4,0	6,5	12,0	18,0	29,0	65,0			
145	0,99	0,0	0,07	0,14	0,26	0,35	0,65	1,1	2,6	4,5	7,0	11,0	18,0	40,0			

Temperatura oleje $t_o$ [°C]	Rychlosť proučenia oleja $w_o$ [%]	ČAS ODPOVÍDAJÍCÍ VZORKU O Ø 30 mm V OLEJI OL J4 Z TEPLOTY POČÁTEČNÍ 780 °C NA TEPLOTU :												
		780	750	700	650	600	550	500	450	400	350	300	250	200
25	0,0	0,0	0,15	0,75	1,55	2,2	2,7	3,3	5,4	11,0	27,5	60,5	160	355
25	0,21	0,0	0,13	0,63	1,28	1,90	2,25	2,9	4,4	10,7	24,0	52,0	110	215
25	0,558	0,0	0,1	0,60	0,93	1,25	1,55	1,9	2,8	6,0	14,5	30,0	62,0	122
25	1,02	0,0	0,1	0,55	0,70	1,00	1,20	1,65	2,40	4,40	9,00	18,0	37,0	71,0
75	0,0	0,0	0,20	0,60	1,04	1,23	1,55	2,05	4,3	9,2	20,5			
75	0,20													
75	0,535													
75	0,975													
125	0,0	0,0	0,14	0,65	1,05	1,42	1,65	1,85	2,65	5,25	17,4	53,0	180	430
125	0,2	0,0	0,11	0,62	0,91	1,15	1,30	1,60	2,20	5,20	15,8	38,5	120	305
125	0,535	0,0	0,09	0,54	0,77	1,0	1,10	1,35	1,95	4,25	11,5	28,5	81,0	225
125	0,975	0,0	0,09	0,38	0,63	0,78	0,95	1,18	1,68	3,4	8,4	19,2	33,5	100

TABULKA Č. XXXII

TABULKA C. XXXII

9

Teplota o(žje t <sub>o</sub> [°C]	Rychlosť proudučnej olaje w <sub>o</sub> [ $m'/s$ ]	ČAS ODPOVÍDAJÍCÍ		OCHLAZENÍ		POVRCHU	
		VZORKU	O Ø 30 mm	V OLEJI	OBV 31		
Z TEPLOTY POČÁTEČNÍ 780 °C NA TEPLITU:							
		780	750	700	650	600	550
50	0,0	0,0	0,14	0,61	1,05	1,74	3,52
50	0,222	0,0	0,19	0,47	0,71	1,04	2,02
50	0,56	0,00	0,09	0,28	0,47	0,70	1,05
50	1,03	0,0	0,07	0,21	0,38	0,56	1,00
110	0,0	0,0	0,14	0,38	0,57	0,90	1,75
110	0,205	0,0	0,19	0,52	0,71	1,04	1,98
110	0,55	0,0	0,14	0,30	0,48	0,70	1,46
110	1,00	0,0	0,10	0,24	0,39	0,52	1,0
145	0,0	0,0	0,1	0,29	0,47	0,76	1,60
145	0,205	0,0	0,14	0,33	0,52	0,73	1,22
145	0,55	0,0	0,10	0,24	0,38	0,57	1,13
145	1,00	0,0	0,09	0,19	0,31	0,47	0,95

VÁLEC;  $\frac{\alpha}{\lambda} \cdot R = Bi = 0,05$

TABULKA Č:KKKIII

$\frac{\alpha \cdot r}{R^2}$	PARAMETRICKÉ TEPLOTNÍ KRITÉRIUM PŘI $\frac{F}{R} =$						
	0,0	0,5	0,6	0,7	0,8	0,9	1,0
0,08	0,99941	0,99680	0,99520	0,99301	0,98987	0,98640	0,98189
0,10	0,99866	0,99522	0,99333	0,99089	0,98753	0,98393	0,97940
0,20	0,99172	0,98624	0,98374	0,98076	0,97699	0,97317	0,96859
0,30	0,98264	0,97673	0,97411	0,97103	0,96721	0,96335	0,95880
0,40	0,97313	0,96717	0,96455	0,96147	0,95765	0,95383	0,94932
0,50	0,96360	0,95767	0,95507	0,95201	0,94823	0,94444	0,93997
0,60	0,95415	0,94826	0,94568	0,94265	0,93891	0,93516	0,93073
0,80	0,93548	0,92972	0,92719	0,92422	0,92055	0,91687	0,91253
1,00	0,91719	0,91153	0,90905	0,90614	0,90254	0,89893	0,89468
1,20	0,89925	0,89371	0,89127	0,88842	0,88489	0,88135	0,87718
1,60	0,86442	0,85909	0,85675	0,85400	0,85061	0,84721	0,84320
2,00	0,83093	0,82581	0,82357	0,82093	0,81767	0,81440	0,81054
2,8	0,76781	0,76308	0,76100	0,75856	0,75555	0,75253	0,74897
3,0	0,75280	0,74815	0,74612	0,74373	0,74077	0,73781	0,73432
4,0	0,68200	0,67780	0,67595	0,67379	0,67111	0,66843	0,66527
5,0	0,61787	0,61406	0,61239	0,61042	0,60800	0,60557	0,60270
5,6	0,58232	0,57873	0,57715	0,57530	0,57302	0,57073	0,56802
6,0	0,55976	0,55631	0,55480	0,55302	0,55097	0,54862	0,54603
7,0	0,50712	0,50400	0,50262	0,50101	0,49902	0,49703	0,49468
8,0	0,45943	0,45660	0,45536	0,45390	0,45210	0,45029	0,44816
10,0	0,37708	0,37476	0,37374	0,37254	0,37106	0,36958	0,36783
12,0	0,30950	0,30759	0,30675	0,30577	0,30456	0,30334	0,30190
14,0	0,25402	0,25246	0,25177	0,25096	0,24997	0,24897	0,24779
16,0	0,20849	0,20721	0,20664	0,20598	0,20516	0,20434	0,20336
18,0	0,17112	0,17007	0,16961	0,16906	0,16839	0,16772	0,16692
20,0	0,14045	0,13959	0,13921	0,13876	0,13821	0,13766	0,13701
25,0	0,08572	-	-	-	-	-	0,08362
30,0	0,05231	-	-	-	-	-	0,05103
40,0	0,01949	-	-	-	-	-	0,00706
50,0	0,00726	-	-	-	-	-	0,00264
60,0	0,00270	-	-	-	-	-	

VÁLEC;  $\frac{\alpha}{\lambda} \cdot R = Bi = 0,1$ 

TABULKA Č:XXXIV

$a \cdot r$ $R^2$	PARAMETRICKÉ TEPLITNÍ KRITÉRIUM PŘI $\frac{r}{R} =$						
	0,0	0,5	0,6	0,7	0,8	0,9	1,0
0,1	0,99722	0,98946	0,98671	0,98313	0,97515	0,96920	0,95930
0,2	0,98356	0,97191	0,96796	0,96336	0,95467	0,94832	0,93847
0,3	0,96584	0,95344	0,94932	0,94455	0,93585	0,92951	0,91982
0,4	0,94747	0,93513	0,93099	0,92625	0,91768	0,91144	0,90192
0,5	0,92923	0,91709	0,91300	0,90834	0,89993	0,89380	0,88447
0,6	0,91129	0,89936	0,89536	0,89079	0,88254	0,87653	0,86738
0,8	0,87641	0,86494	0,86109	0,85670	0,84876	0,84298	0,83418
1,0	0,84287	0,83184	0,82814	0,82391	0,81628	0,81072	0,80225
1,5	0,76453	0,75452	0,75116	0,74733	0,74040	0,73520	0,72769
2,0	0,69346	0,68439	0,68134	0,67786	0,67159	0,66686	0,66005
3,0	0,57054	0,56307	0,56057	0,55770	0,55254	0,54865	0,54304
4,0	0,46940	0,46326	0,46120	0,45884	0,45459	0,45140	0,44678
5,0	0,38620	0,38134	0,37945	0,37751	0,37401	0,37138	0,36759
6,0	0,31774	0,31430	0,31219	0,31059	0,30771	0,30555	0,30243
8,0	0,21508	0,21226	0,21132	0,21024	0,20829	0,20678	0,20471
10,0	0,14559	0,14325	0,14304	0,14231	0,14099	0,13997	0,13857
12,0	0,09855	0,09726	0,09683	0,09633	0,09544	0,09496	0,09380
14,0	0,06671	0,06583	0,06554	0,06521	0,06460	0,06428	0,06349
16,0	0,04515	0,04456	0,04437	0,04414	0,04373	0,04351	0,04298
18,0	0,03056	0,03016	0,03003	0,02988	0,02960	0,02945	0,02909
20,0	0,02069	0,02042	0,02033	0,02022	0,02004	0,01994	0,01969
25,0	0,00780	-	-	-	-	-	0,00742
30,0	0,00294	-	-	-	-	-	0,00280
35,0	0,00111	-	-	-	-	-	0,00106

VÁLEC;  $\frac{\alpha}{\lambda} \cdot R = Bi = 0,2$ 

TABULKA č: XXXV

$a \cdot r$ $R^2$	PARAMETRICKÉ TEPLOTNÍ KRITÉRIUM PŘI $\frac{r}{R} =$						
	0,0	0,5	0,6	0,7	0,8	0,9	1,0
0,1	0,99381	0,98051	0,97330	0,96374	0,95199	0,93750	0,92333
0,2	0,96731	0,94674	0,93743	0,92624	0,91326	0,89836	0,88446
0,3	0,93358	0,91200	0,90252	0,89191	0,87844	0,86390	0,85047
0,4	0,89923	0,87807	0,86884	0,85795	0,84548	0,83144	0,81849
0,5	0,86577	0,84521	0,83639	0,82589	0,81386	0,80034	0,78787
0,6	0,83346	0,81375	0,80516	0,79504	0,78347	0,77044	0,75844
0,7	0,80234	0,78336	0,77509	0,76535	0,75421	0,74167	0,73011
0,8	0,77238	0,75410	0,74614	0,73677	0,72604	0,71397	0,70285
0,9	0,74353	0,72594	0,71827	0,70925	0,69892	0,68731	0,67660
1,0	0,71576	0,69883	0,69142	0,68276	0,67282	0,66164	0,65133
1,5	0,59167	0,57771	0,57158	0,56443	0,55621	0,54697	0,53844
2,0	0,48916	0,47758	0,47252	0,46661	0,45981	0,45217	0,44512
3,0	0,33429	0,32638	0,32292	0,31888	0,31423	0,30901	0,30419
4,0	0,22845	0,22304	0,22068	0,21792	0,21474	0,21117	0,20788
5,0	0,15612	0,15243	0,15081	0,14892	0,14675	0,14431	0,14207
6,0	0,10669	0,10417	0,10306	0,10177	0,10029	0,09862	0,09708
7,0	0,07291	0,07119	0,07043	0,06955	0,06854	0,06739	0,06635
8,0	0,04983	0,04865	0,04813	0,04753	0,04684	0,04606	0,04534
9,0	0,03405	0,03325	0,03289	0,03248	0,03201	0,03148	0,03099
10,0	0,02327	0,02272	0,02248	0,02220	0,02187	0,02151	0,02118
11,0	0,01590	0,01553	0,01536	0,01517	0,01495	0,01470	0,01447
12,0	0,01087	0,01061	0,01050	0,01037	0,01022	0,01005	0,00989
14,0	0,00508	-	-	-	-	-	0,00462
16,0	0,00237	-	-	-	-	-	0,00216
18,0	0,00111	-	-	-	-	-	0,00101

VÁLEC;  $\frac{\alpha}{\lambda} \cdot R = Bi = 0,4$

TABULKA Č. XXXVI

$\frac{\alpha \cdot r}{R^2}$	PARAMETRICKÉ TEPLITNÍ KRITÉRIUM PŘI $\frac{r}{R} =$						
	0,0	0,5	0,6	0,7	0,8	0,9	1,0
0,05	-	0,99114	0,98380	0,97135	0,95516	0,92842	0,89654
0,10	0,99032	0,96454	0,95073	0,93278	0,91051	0,88324	0,85163
0,20	0,94009	0,90201	0,88492	0,86456	0,84093	0,81412	0,78428
0,30	0,87856	0,84005	0,82325	0,80354	0,78099	0,75573	0,72788
0,40	0,81810	0,78163	0,76582	0,74731	0,72621	0,70264	0,67673
0,50	0,76120	0,72712	0,71237	0,69511	0,67546	0,65353	0,62942
0,60	0,70811	0,67639	0,66265	0,64660	0,62831	0,60790	0,58547
0,70	0,65869	0,62918	0,61640	0,60147	0,58446	0,56548	0,54461
0,80	0,61272	0,58527	0,57338	0,55949	0,54367	0,52601	0,50543
0,90	0,56996	0,54442	0,53336	0,52044	0,50572	0,48817	0,47124
1,00	0,53018	0,50642	0,49614	0,48412	0,47042	0,45514	0,43835
1,20	0,45875	0,43819	0,42831	0,41890	0,40705	0,39383	0,37929
1,40	0,39695	0,37916	0,37146	0,36247	0,35221	0,34077	0,32820
1,60	0,34347	0,32808	0,32142	0,31363	0,30476	0,29487	0,28398
1,80	0,29720	0,28389	0,27812	0,27138	0,26371	0,25514	0,24573
2,00	0,25705	0,24564	0,24065	0,23482	0,22818	0,22077	0,21262
3,00	0,12474	-	-	-	-	-	0,10314
4,00	0,06050	-	-	-	-	-	0,05003
5,00	0,02935	-	-	-	-	-	0,02426
6,00	0,01424	-	-	-	-	-	0,01177
7,00	0,00691	-	-	-	-	-	0,00571
8,05	0,00335	-	-	-	-	-	0,00277
9,00	0,00162	-	-	-	-	-	0,00134

VÁLEC;  $\frac{\alpha}{\lambda} \cdot R = Bi = 0,6$

TABULKA Č:XXXVII

$\frac{\alpha \cdot r}{R^2}$	PARAMETRICKÉ TEPLITNÍ KRITÉRIUM PŘI $\frac{r}{R} =$						
	0,0	0,5	0,6	0,7	0,8	0,9	1,0
0,05	0,99935	0,98691	0,97603	0,95849	0,93264	0,89687	0,85088
0,10	0,98566	0,94888	0,92908	0,90362	0,87202	0,83389	0,78955
0,20	0,91429	0,86146	0,83791	0,80991	0,77770	0,74150	0,70109
0,30	0,82959	0,77782	0,75540	0,72915	0,69936	0,66616	0,62986
0,40	0,74897	0,70145	0,68099	0,65711	0,63011	0,60009	0,56738
0,50	0,67540	0,63240	0,61390	0,59233	0,56796	0,54089	0,51139
0,60	0,60892	0,57011	0,55342	0,53397	0,51199	0,48758	0,46098
0,70	0,54895	0,51394	0,49890	0,48136	0,46155	0,43954	0,41557
0,80	0,49486	0,46331	0,44975	0,43394	0,41608	0,39624	0,37463
0,90	0,44611	0,41767	0,40544	0,39119	0,37509	0,35721	0,33772
1,00	0,40216	0,37652	0,36550	0,35265	0,33814	0,32201	0,30445
1,20	0,32682	0,30599	0,29703	0,28659	0,27480	0,26169	0,24742
1,40	0,26560	0,24867	0,24139	0,23290	0,22332	0,21267	0,20107
1,60	0,21584	0,20208	0,19617	0,18927	0,18149	0,17283	0,16340
1,80	0,17541	0,16423	0,15942	0,15382	0,14749	0,14045	0,13279
2,00	0,14255	0,13346	0,12956	0,12500	0,11986	0,11414	0,10792
2,50	0,08487	-	-	-	-	-	0,06425
3,00	0,05053	-	-	-	-	-	0,03825
4,00	0,01791	-	-	-	-	-	0,01356
5,00	0,00635	-	-	-	-	-	0,00480
6,00	0,00225	-	-	-	-	-	0,00170

VÁLEC;  $\frac{\alpha}{\lambda} \cdot R = Bi = 0,8$

TABULKA Č. XXXVIII

$\frac{\alpha \cdot r}{R^2}$	PARAMETRICKÉ TEPLITNÍ KRITÉRIUM PŘI $\frac{r}{R} =$						
	0,0	0,5	0,6	0,7	0,8	0,9	1,0
0,02	-	0,99904	0,99649	0,99127	0,97118	0,93551	0,87713
0,04	-	0,99048	0,97971	0,96129	0,93128	0,88732	0,82836
0,05	0,99933	0,98314	0,96877	0,94648	0,91323	0,86756	0,80902
0,06	0,99784	0,97558	0,95673	0,93190	0,89633	0,84960	0,79167
0,08	0,99167	0,95525	0,93320	0,90378	0,86538	0,81770	0,76114
0,10	0,98119	0,93432	0,90917	0,87725	0,83742	0,78973	0,73451
0,15	0,94123	0,87989	0,85127	0,81685	0,77633	0,73001	0,67828
0,20	0,89142	0,82595	0,79678	0,76270	0,72341	0,67934	0,63090
0,30	0,78755	0,72522	0,69829	0,66721	0,63194	0,59289	0,55043
0,40	0,69145	0,63585	0,61194	0,58451	0,55343	0,51912	0,48191
0,50	0,60624	0,55731	0,53631	0,51221	0,48494	0,45486	0,42225
0,60	0,53136	0,48645	0,47002	0,44890	0,42499	0,39862	0,37004
0,70	0,46569	0,42808	0,41193	0,39342	0,37246	0,34935	0,32430
0,80	0,40814	0,37517	0,36102	0,34479	0,32643	0,30617	0,28422
0,90	0,35769	0,32880	0,31640	0,30218	0,28608	0,26833	0,24909
1,00	0,31348	0,28816	0,27729	0,26483	0,25072	0,23517	0,21831
1,20	0,24078	0,22133	0,21298	0,20341	0,19258	0,18063	0,16768
1,40	0,18494	0,17000	0,16359	0,15624	0,14792	0,13874	0,12879
1,50	0,16208	0,14899	0,14338	0,13693	0,12963	0,12159	0,11287
1,60	0,14205	0,13058	0,12565	0,12001	0,11309	0,10656	0,09892
1,80	0,10911	0,10029	0,09651	0,09217	0,08719	0,08185	0,07598
2,00	0,08381	0,07703	0,07413	0,07080	0,06703	0,06287	0,05836
3,00	0,02240	-	-	-	-	-	0,01560
4,00	0,00599	-	-	-	-	-	0,00417
5,00	0,00160	-	-	-	-	-	0,00111

VÁLEČ;  $\frac{\alpha}{\lambda} \cdot R = Bi = 1$

TABULKA Č: XXXIX

$\frac{\alpha \cdot \tau}{R^2}$	PARAMETRICKÉ TEPLITNÍ KRITÉRIUM PŘI $\frac{r}{R} =$						
	0,0	0,5	0,6	0,7	0,8	0,9	1,0
0,04	-	0,99013	0,97748	0,97638	0,91801	0,86467	0,79388
0,05	-	0,98114	0,96416	0,93687	0,89640	0,84126	0,77338
0,06	0,99937	0,97070	0,95209	0,91929	0,87630	0,82022	0,75133
0,08	0,99179	0,94737	0,92134	0,88353	0,83982	0,78312	0,71637
0,10	0,97904	0,92337	0,89278	0,85423	0,80716	0,75080	0,68635
0,20	0,87208	0,79536	0,76197	0,72227	0,67709	0,62659	0,57162
0,30	0,75176	0,68071	0,65064	0,61545	0,57598	0,53242	0,48553
0,40	0,64340	0,58167	0,55568	0,52539	0,48151	0,45423	0,41491
0,50	0,54977	0,49686	0,47461	0,44868	0,41971	0,38786	0,35366
0,60	0,46963	0,42438	0,40537	0,38321	0,35846	0,33125	0,30204
0,70	0,40111	0,36246	0,34623	0,32731	0,30616	0,28292	0,25797
0,80	0,34259	0,30958	0,29572	0,27955	0,26150	0,24164	0,22034
0,90	0,29261	0,26442	0,25257	0,23877	0,22855	0,20639	0,18819
1,00	0,24992	0,22584	0,21424	0,20393	0,19032	0,17628	0,16073
1,20	0,18231	0,16475	0,15737	0,14877	0,13916	0,12860	0,11726
1,40	0,13300	0,12018	0,11480	0,10853	0,10152	0,09381	0,08554
1,60	0,09702	0,08767	0,08375	0,07917	0,07406	0,06843	0,06237
1,80	0,07078	0,06396	0,06109	0,05910	0,05402	0,04992	0,04550
2,00	0,05163	0,04666	0,04457	0,04213	0,03941	0,03642	0,03319
3,00	0,01067	-	-	-	-	-	0,00686
4,00	0,00220	-	-	-	-	-	0,00142

$$\text{VÁLEC; } \frac{\alpha}{\lambda} \cdot R = Bi = 2$$

TABULKA Č:XL

$\frac{\alpha \cdot r}{R^2}$	PARAMETRICKÉ TEPLITNÍ KRITÉRIUM PŘI $\frac{r}{R} =$						
	0,0	0,5	0,6	0,7	0,8	0,9	1,0
0,04	0,99616	0,97812	0,95515	0,91569	0,85210	0,76204	0,64513
0,05	0,99748	0,96246	0,93229	0,88603	0,81709	0,72597	0,61304
0,06	0,99419	0,94464	0,90894	0,85695	0,78545	0,69450	0,58536
0,08	0,98101	0,90584	0,86198	0,80403	0,73165	0,64121	0,53906
0,10	0,95921	0,86560	0,81725	0,75655	0,68264	0,59691	0,50099
0,15	0,88075	0,76738	0,71627	0,65592	0,58664	0,50980	0,42687
0,20	0,78992	0,67738	0,62902	0,57321	0,51064	0,44152	0,37016
0,30	0,61929	0,52557	0,48753	0,44183	0,39255	0,33956	0,28383
0,40	0,48072	0,40711	0,37651	0,34178	0,30350	0,26244	0,21921
0,50	0,37240	0,31525	0,29150	0,26336	0,23493	0,20312	0,16974
0,60	0,28838	0,24409	0,22570	0,20485	0,18230	0,15762	0,13142
0,70	0,22329	0,18900	0,17436	0,15861	0,14083	0,12176	0,10176
0,80	0,17289	0,14634	0,13531	0,12281	0,10904	0,09428	0,07879
0,90	0,13387	0,11331	0,10472	0,09509	0,08442	0,07300	0,06101
1,00	0,10365	0,08773	0,08112	0,07363	0,06537	0,05652	0,04724
1,50	0,02884	0,02441	0,02255	0,02049	0,01823	0,01372	0,01315
2,00	0,00803	0,00679	0,00628	0,00570	0,00506	0,00438	0,00366
2,20	0,00481	-	-	-	-	-	0,00219
2,40	0,00289	-	-	-	-	-	0,00191
2,60	0,00173	-	-	-	-	-	0,00079

VÁLEC;  $\frac{\alpha}{\lambda} \cdot R = Bi = 2,4$ 

TABULKA Č: XLI

$\frac{\alpha \cdot r}{R^2}$	PARAMETRICKÉ TEPLITNÍ KRITÉRIUM PŘI $\frac{r}{R} =$						
	0,0	0,5	0,6	0,7	0,8	0,9	1,0
0,02	-	0,99677	0,99072	0,97074	0,92295	0,83355	0,69204
0,04	0,99940	0,97474	0,94821	0,90230	0,82989	0,72883	0,59799
0,05	0,99760	0,95681	0,92230	0,86866	0,79108	0,68950	0,56409
0,06	0,99374	0,93660	0,89579	0,83677	0,75634	0,65557	0,53518
0,08	0,97591	0,89300	0,84370	0,77859	0,69623	0,59889	0,48746
0,10	0,95358	0,84830	0,79449	0,72704	0,64550	0,55248	0,44884
0,15	0,86579	0,74100	0,69529	0,61971	0,54472	0,46299	0,37512
0,20	0,76618	0,64459	0,59282	0,53327	0,46667	0,39543	0,32000
0,30	0,58385	0,48584	0,44521	0,39914	0,34828	0,29453	0,23816
0,40	0,44036	0,36566	0,33484	0,29998	0,26160	0,22115	0,17879
0,50	0,33147	0,27512	0,25189	0,22563	0,19676	0,16632	0,13445
0,60	0,24941	0,20699	0,18951	0,16975	0,14802	0,12511	0,10115
0,70	0,18764	0,15572	0,14256	0,12771	0,11136	0,09413	0,07610
0,80	0,14117	0,11716	0,10727	0,09608	0,08378	0,07082	0,05725
0,90	0,10621	0,08814	0,08070	0,07229	0,06303	0,05328	0,04307
1,00	0,07991	0,06631	0,06071	0,05439	0,04742	0,04008	0,03241
1,20	0,04523	0,03754	0,03437	0,03078	0,02684	0,02269	0,01834
1,40	0,02560	0,02125	0,01945	0,01742	0,01519	0,01284	0,01038
1,50	0,01926	0,01598	0,01463	0,01311	0,01143	0,00966	0,00781
1,60	0,01449	0,01203	0,01101	0,00986	0,00860	0,00727	0,00588
1,80	0,00820	0,00680	0,00623	0,00558	0,00487	0,00411	0,00332
2,00	0,00464	0,00385	0,00353	0,00316	0,00276	0,00233	0,00188
2,20	0,00263	-	-	-	-	-	0,00107
2,40	0,00149	-	-	-	-	-	0,00060

VÁLEC;  $\frac{\alpha}{\lambda} \cdot R = Bi = 4$

TABULKA Č: XLII

$\alpha \cdot r$	PARAMETRICKÉ TEPLITNÍ KRITÉRIUM PŘI $\frac{r}{R} =$						
$R^2$	0,0	0,5	0,6	0,7	0,8	0,9	1,0
0,02	0,99931	0,99266	0,98504	0,95586	0,88710	0,75858	0,56290
0,04	0,99786	0,96237	0,92472	0,87053	0,76224	0,62607	0,45661
0,05	0,99532	0,93744	0,88942	0,81611	0,71299	0,57968	0,42098
0,06	0,98970	0,90998	0,85430	0,77522	0,66896	0,54095	0,39164
0,08	0,96823	0,85385	0,78760	0,70336	0,59923	0,47986	0,34523
0,10	0,93439	0,79640	0,72701	0,64204	0,54232	0,43031	0,30937
0,15	0,82047	0,66635	0,59923	0,52163	0,43513	0,34202	0,24503
0,20	0,69869	0,55632	0,49709	0,43006	0,35686	0,27943	0,19988
0,30	0,49164	0,38697	0,34445	0,30063	0,24560	0,19188	0,13713
0,40	0,34242	0,26898	0,23927	0,20612	0,17041	0,13307	0,09509
0,50	0,23806	0,18695	0,16627	0,14322	0,11840	0,09275	0,06606
0,60	0,16547	0,12993	0,11556	0,09953	0,08228	0,06425	0,04591
0,70	0,11500	0,09030	0,08031	0,06918	0,05718	0,04465	0,03190
0,80	0,07992	0,06275	0,05582	0,04808	0,03974	0,03103	0,02217
0,90	0,05555	0,04361	0,03879	0,03341	0,02762	0,02157	0,01541
1,00	0,03860	0,03031	0,02696	0,02322	0,01920	0,01499	0,01071
1,20	0,01865	0,01464	0,01302	0,01122	0,00927	0,00724	0,00517
1,40	0,00900	0,00707	0,00629	0,00542	0,00448	0,00350	0,00250
1,50	0,00626	0,00491	0,00437	0,00377	0,00311	0,00243	0,00174
1,60	0,00435	-	-	-	-	-	0,00121
1,80	0,00210	-	-	-	-	-	0,00058

VÁLEC;  $\frac{\alpha}{\lambda} \cdot R = Bi = 6$

TABULKA Č: XLIII

$\frac{\alpha \cdot \varphi}{R^2}$	PARAMETRICKÉ TEPLITNÍ KRITÉRIUM PŘI $\frac{r}{R} =$						
	0,0	0,5	0,6	0,7	0,8	0,9	1,0
0,02	-	0,99563	0,97961	0,94155	0,85177	0,68957	0,45024
0,04	0,99886	0,95236	0,90426	0,82415	0,70338	0,53841	0,34566
0,05	0,99533	0,92124	0,86149	0,77195	0,64826	0,49100	0,31283
0,06	0,98805	0,88792	0,81994	0,72512	0,60172	0,45226	0,28659
0,08	0,96084	0,82027	0,74336	0,64526	0,52677	0,39172	0,24654
0,10	0,91835	0,75542	0,67591	0,57958	0,46824	0,34563	0,21673
0,15	0,78602	0,61289	0,53792	0,45493	0,36257	0,26496	0,16543
0,20	0,65034	0,49689	0,43421	0,36409	0,28861	0,21007	0,13093
0,30	0,43206	0,32655	0,28432	0,23759	0,18821	0,13637	0,08492
0,40	0,28441	0,21460	0,18675	0,15597	0,12322	0,08945	0,05568
0,50	0,18696	0,14103	0,12271	0,10248	0,08095	0,05876	0,03659
0,60	0,12286	0,09268	0,08064	0,06735	0,05320	0,03862	0,02405
0,70	0,08073	0,06091	0,05300	0,04426	0,03496	0,02538	0,01580
0,80	0,05306	0,04003	0,03491	0,02908	0,02297	0,01668	0,01036
0,90	0,03487	0,02630	0,02289	0,01911	0,01510	0,01096	0,00681
1,00	0,02291	0,01729	0,01504	0,01256	0,00992	0,00720	0,00447
1,20	0,00900	0,00747	0,00649	0,00543	0,00428	0,00311	0,00193
1,40	0,00427	0,00322	0,00280	0,00234	0,00185	0,00134	0,00084
1,50	0,00281	0,00212	0,00184	0,00154	0,00121	0,00088	0,00055
1,60	0,00185	-	-	-	-	-	0,00036

VÁLEC;  $\frac{\alpha}{\lambda} \cdot R = Bi = 7$

TABULKA Č: XLIV

$\frac{\alpha \cdot \tau}{R^2}$	PARAMETRICKÉ TEPLITNÍ KRITÉRIUM PŘI $\frac{r}{R} =$						
	0,0	0,5	0,6	0,7	0,8	0,9	1,0
0,02	0,99959	0,99324	0,97615	0,93826	0,83862	0,66188	0,40756
0,04	0,99747	0,94603	0,89518	0,81035	0,68124	0,51031	0,30659
0,05	0,99372	0,91373	0,83974	0,75520	0,62446	0,46815	0,27570
0,06	0,98581	0,87840	0,80602	0,70636	0,57698	0,42246	0,25120
0,08	0,95655	0,80906	0,72660	0,62423	0,50140	0,36249	0,21442
0,10	0,91125	0,74063	0,65733	0,55758	0,44308	0,31780	0,18736
0,15	0,73284	0,59423	0,51868	0,43284	0,33921	0,24084	0,14135
0,20	0,63320	0,47709	0,41371	0,34310	0,26744	0,18913	0,11082
0,25	0,51239	0,38315	0,33033	0,27419	0,21329	0,15070	0,08819
0,30	0,41272	0,30772	0,26560	0,21982	0,17085	0,12057	0,07058
0,35	0,33186	0,24717	0,21342	0,17644	0,13720	0,09640	0,05662
0,40	0,26670	0,19853	0,17145	0,14167	0,11008	0,07765	0,04545
0,45	0,11423	0,15947	0,13773	0,11318	0,08840	0,06215	0,03650
0,50	0,17209	0,12809	0,11063	0,09139	0,07100	0,05009	0,02932
0,60	0,11103	0,08214	0,07137	0,05896	0,04581	0,03232	0,01891
0,70	0,07163	0,05332	0,04605	0,03804	0,02955	0,02085	0,01220
0,80	0,04622	0,03440	0,02971	0,02454	0,01907	0,01345	0,00787
0,90	0,02982	0,02219	0,01917	0,01583	0,01230	0,00868	0,00508
1,00	0,01924	0,01432	0,01237	0,01022	0,00794	0,00510	0,00328
1,20	0,00801	-	-	-	-	-	0,00136
1,40	0,00332	-	-	-	-	-	0,00057
1,50	0,00215	-	-	-	-	-	0,00037

VÁLEC;  $\frac{\alpha}{\lambda} \cdot R = Bi = 10$

TABULKA Č: XLV

$\frac{\alpha \cdot r}{R^2}$	PARAMETRICKÉ TEPLITNÍ KRITÉRIUM PŘI $\frac{r}{R} =$						
	0,0	0,5	0,6	0,7	0,8	0,9	1,0
0,02	-	0,99176	0,97753	0,91991	0,80419	0,60102	0,31398
0,04	0,99758	0,93678	0,88088	0,77742	0,63307	0,44568	0,22635
0,05	0,99280	0,89879	0,83028	0,71805	0,57391	0,39830	0,20094
0,06	0,98335	0,85918	0,78199	0,66643	0,52551	0,36100	0,18125
0,08	0,94931	0,78149	0,69637	0,58195	0,45027	0,30530	0,15239
0,10	0,89935	0,70956	0,62362	0,51380	0,39354	0,26471	0,13165
0,15	0,74686	0,55776	0,48176	0,39044	0,29492	0,19641	0,09723
0,20	0,59981	0,43926	0,37704	0,30364	0,22828	0,15049	0,07485
0,30	0,37361	0,27301	0,23362	0,18765	0,14068	0,09318	0,04601
0,40	0,23430	0,16977	0,14522	0,11660	0,08740	0,05787	0,02858
0,50	0,14574	0,10559	0,09031	0,07251	0,05434	0,03598	0,01777
0,60	0,09064	0,06567	0,05617	0,04510	0,03380	0,02238	0,01105
0,70	0,05637	0,04084	0,03493	0,02805	0,02102	0,01392	0,00687
0,80	0,03506	0,02540	0,02173	0,01744	0,01307	0,00866	0,00427
0,90	0,02180	0,01580	0,01351	0,01085	0,00813	0,00539	0,00266
1,00	0,01356	0,00982	0,00840	0,00675	0,00506	0,00335	0,00165
1,20	0,00524	0,00380	0,00325	0,00261	0,00196	0,00130	0,00064
1,40	0,00203	0,00147	0,00126	0,00101	0,00076	0,00050	0,00025
1,50	0,00126	0,00092	0,00078	0,00063	0,00047	0,00031	0,00015

VÁLEC;  $\frac{\alpha}{\lambda} \cdot R = Bi = 15$

TABULKA Č: XLVI

$\frac{\alpha \cdot r}{R^2}$	PARAMETRICKÉ TEPLOTNÍ KRITÉRIUM PŘI $\frac{r}{R} =$						
	0,0	0,5	0,6	0,7	0,8	0,9	1,0
0,02	-	0,99043	0,98119	0,90815	0,76901	0,53639	0,22266
0,04	0,99810	0,92769	0,85927	0,74714	0,58703	0,38429	0,15520
0,05	0,99202	0,88494	0,80285	0,68398	0,52708	0,33969	0,13628
0,06	0,98104	0,84133	0,75125	0,63009	0,47892	0,30549	0,12200
0,08	0,94255	0,75779	0,66183	0,54325	0,40559	0,25528	0,10136
0,10	0,88723	0,68210	0,58744	0,47597	0,35137	0,21938	0,08684
0,15	0,72387	0,52651	0,44557	0,35520	0,25893	0,16006	0,06311
0,20	0,57119	0,40740	0,34310	0,25995	0,19730	0,12162	0,04790
0,25	0,44581	0,31623	0,26560	0,20080	0,15223	0,09372	0,03688
0,30	0,34668	0,24545	0,20596	0,15562	0,11792	0,07256	0,02852
0,35	0,26927	0,19052	0,15982	0,12069	0,09146	0,05627	0,02214
0,40	0,20906	0,14788	0,12403	0,09808	0,07097	0,04365	0,01718
0,45	0,16224	0,11479	0,09628	0,07613	0,05509	0,03389	0,01334
0,50	0,12654	0,08910	0,07473	0,05909	0,04276	0,02631	0,01035
0,55	0,09777	0,06916	0,05801	0,04587	0,03319	0,02042	0,00803
0,60	0,07589	0,05368	0,04502	0,03560	0,02576	0,01585	0,00623
0,70	0,04571	-	-	-	-	-	0,00376
0,80	0,02754	-	-	-	-	-	0,00226
0,90	0,01659	-	-	-	-	-	0,00136
1,00	0,01000	-	-	-	-	-	0,00082
1,20	0,00363	-	-	-	-	-	0,00030
1,40	0,00132	-	-	-	-	-	0,00011

VÁLEC;  $\frac{\alpha}{\lambda} R = Bi = 30$

TABULKA Č: XLVII

$\frac{\alpha \cdot r}{R^2}$	PARAMETRICKÉ TEPLITNÍ KRITÉRIUM PŘI $\frac{r}{R} =$						
	0,0	0,5	0,6	0,7	0,8	0,9	1,0
0,02	-	-	-	-	-	-	-
0,04	0,99839	0,91186	0,83102	0,70461	0,52909	0,31430	0,07575
0,05	0,99134	0,86397	0,77077	0,63922	0,47062	0,27539	0,06625
0,06	0,97798	0,82559	0,71642	0,58468	0,42457	0,24589	0,05915
0,08	0,93394	0,72980	0,62416	0,49867	0,35575	0,20329	0,04904
0,10	0,87109	0,64907	0,54908	0,43305	0,30571	0,17331	0,04193
0,15	0,69563	0,49139	0,40889	0,31470	0,22158	0,12442	0,03023
0,20	0,54186	0,37398	0,30956	0,23959	0,16628	0,09310	0,02265
0,25	0,41263	0,28513	0,23562	0,18615	0,12621	0,07059	0,01719
0,30	0,31547	0,21751	0,17964	0,13863	0,09614	0,05376	0,01308
0,35	0,24074	0,16596	0,13703	0,10574	0,07333	0,04099	0,00998
0,40	0,18369	0,12663	0,10456	0,08067	0,05594	0,03127	0,00762
0,45	0,14017	0,09662	0,07975	0,06156	0,04268	0,02386	0,00581
0,50	0,10695	0,07373	0,06088	0,04697	0,03257	0,01821	0,00443
0,60	0,06227	0,04292	0,03545	0,02735	0,01896	0,01060	0,00258
0,70	0,03626	0,02499	0,02064	0,01592	0,01104	0,00617	0,00150
0,80	0,02111	0,01455	0,01202	0,00927	0,00643	0,00359	0,00088
0,90	0,01229	0,00847	0,00700	0,00540	0,00357	0,00209	0,00051
1,00	0,00716	-	-	-	-	-	0,00030
1,20	0,00243	-	-	-	-	-	0,00010

VÁLEC;  $\frac{\alpha}{\lambda} \cdot R = Bi = \infty$

TABULKA Č: XLVIII

$\frac{a \cdot \tau}{R^2}$	PARAMETRICKÉ TEPLITNÍ KRITÉRIUM PŘI $\frac{r}{R} =$						
	0,0	0,5	0,6	0,7	0,8	0,9	1,0
0,02	-	0,98429	0,94081	0,83942	0,63713	0,34802	0
0,04	0,99628	0,88906	0,79433	0,65141	0,46025	0,23473	0
0,05	0,98434	0,83555	0,73000	0,58562	0,40630	0,20449	0
0,06	0,97054	0,78396	0,67357	0,53191	0,36437	0,18181	0
0,08	0,91776	0,69061	0,58016	0,44887	0,30249	0,14938	0
0,10	0,84836	0,61025	0,50576	0,38661	0,25805	0,12669	0
0,15	0,66183	0,45262	0,32229	0,27866	0,18402	0,08974	0
0,20	0,50150	0,33797	0,27467	0,20633	0,13582	0,06611	0
0,30	0,28271	0,18934	0,15362	0,11523	0,07576	0,03684	0
0,40	0,15850	0,10618	0,08613	0,06460	0,04246	0,02065	0
0,50	0,08889	0,05955	0,04831	0,03623	0,02382	0,01158	0
0,60	0,04985	0,03340	0,02709	0,02032	0,01336	0,00649	0
0,70	0,02796	0,01874	0,01519	0,01140	0,00749	0,00364	0
0,80	0,01568	0,01051	0,00852	0,00639	0,00420	0,00205	0
0,90	0,00880	0,00589	0,00478	0,00358	0,00236	0,00115	0
1,00	0,00494	0,00331	0,00268	0,00201	0,00132	0,00064	0
1,20	0,00155	0,00104	0,00084	0,00063	0,00042	0,00020	0

Cáruv 1966.  
Lýgiačová

